

อิทธิพลของความเข้มฝนต่อการตอบสนองทางชลศาสตร์ของลักษณะดินตื้น



วิทยานิพนธ์นี้เป็นส่วนหนึ่งของการศึกษาตามหลักสูตรปริญญาวิศวกรรมศาสตรมหาบัณฑิต  
สาขาวิชาชีวกรรมโยธา  
มหาวิทยาลัยเทคโนโลยีสุรนารี  
ปีการศึกษา 2557

**INFLUENCES OF RAINFALL INTENSITY ON  
HYDRAULIC RESPONSE IN  
SHALLOW SLOPE**



**A Thesis Submitted in Partial Fulfillment of the Requirements for the  
Degree of Master of Engineering in Civil Engineering  
Suranaree University of Technology**

**Academic Year 2014**

## อิทธิพลของความเข้มฝนต่อการตอบสนองทางชลศาสตร์ของลาดดินตื้น

มหาวิทยาลัยเทคโนโลยีสุรนารี อนุมัติให้นับวิทยานิพนธ์ฉบับนี้เป็นส่วนหนึ่งของการศึกษา  
ตามหลักสูตรปริญญามหาบัณฑิต

### คณะกรรมการสอบวิทยานิพนธ์

(ศ. ดร.สุขสันติ์ หอพิมูลสุข)

ประธานกรรมการ

(ศ. ดร.อวิรุทธิ์ ชินกุลกิจนิวัฒน์)

กรรมการ (อาจารย์ที่ปรึกษาวิทยานิพนธ์)

(ผศ. ดร.พรพจน์ ตันเสิง)

กรรมการ

(ศ. ดร.ชุภกิจ ลิมปีจำนงค์)

รองอธิการบดีฝ่ายวิชาการและนวัตกรรม

(ศ. ร.อ. ดร.กนต์ธาร ชำนิประสาสน์)

คณบดีสำนักวิชาวิศวกรรมศาสตร์

ชลธิชา จีบตะคุ : อิทธิพลของความเข้มฝนต่อการตอบสนองทางชลศาสตร์ของลาดดินดีน  
(INFLUENCES OF RAINFALL INTENSITY ON HYDRAULIC RESPONSE IN SHALLOW SLOPE) อาจารย์ที่ปรึกษา : รองศาสตราจารย์ ดร.อวิรุทธิ์ ชินกุลกิจนิวัฒน์,  
69 หน้า.

งานวิจัยนี้มีวัตถุประสงค์เพื่อศึกษาอิทธิพลของความเข้มฝนที่มีผลต่อการตอบสนองทางชลศาสตร์ต่อลาดดินดีน โดยส่วนใหญ่เหตุการณ์ดินถล่มในระดับดินมักจะเกิดขึ้นหลังจากมีฝนตกหนักติดต่อกันเป็นเวลานานหรือช่วงเวลาที่เกิดพายุฝน จะเห็นว่าการตอบสนองของลาดดินต่อปริมาณน้ำฝนเกิดขึ้นอย่างรวดเร็วตั้งแต่นี้จึงได้มุ่งเน้นไปที่การศึกษาอิทธิพลของความเข้มฝนต่อลาดดินดีน โดยทั่วไปกระบวนการสำภัญที่ควบคุมกลไกการการวิบัติของลาดดินดีนคือการซึมลงสู่ลาดดินของน้ำฝน เพื่อให้เข้าใจต่อกระบวนการการซึมลงสู่ลาดดินของน้ำฝน จึงได้สร้างแบบจำลองลาดดินในห้องปฏิบัติการเพื่อศึกษาผลกระทบความเข้มฝนที่สูงขึ้น ผลการทดสอบพบว่าการตอบสนองทางชลศาสตร์ต่อปริมาณความเข้มฝนเกิดขึ้นสองช่วง ช่วงแรกคือการซึมของน้ำฝนลงสู่ลาดดินซึ่งในช่วงนี้ดินยังคงไม่อิ่มตัวด้วยน้ำแต่จะอยู่ในสภาพอิ่มตัวด้วยน้ำในช่วงที่สองเนื่องจากการเพิ่มน้ำ ของระดับน้ำใต้ดิน โดยผลกระทบจากความเข้มฝนที่เพิ่มขึ้นจากการวิจัยสรุปได้ว่า อัตราการเพิ่มน้ำของความชื้นในลาดดินส่วนใหญ่ขึ้นอยู่กับอัตราการเพิ่มน้ำของความเข้มฝนที่เพิ่มขึ้นและความสามารถในการซึมของดินอิ่มตัวด้วยน้ำ รวมทั้งอัตราเร็วในการเพิ่มน้ำของความชื้นกึ่งขึ้นอยู่กับความเข้มฝนที่เพิ่มขึ้นเช่นกัน

CHOLTICHA JEEBTAKU : INFLUENCES OF RAINFALL INTENSITY  
ON HYDRAULIC RESPONSE IN SHALLOW SLOPE.

THESIS ADVISOR : ASSOC. PROF. AVIRUT CHINKULKIJNIWAT,  
Ph.D., 69 PP.

RAINFALL INFILTRATION/LABORATORY MODEL/SUBSURFACE FLOW/  
UNSATURATED SOIL/INITIAL WATER CONTENT

The purpose of this research is to investigate influences of rainfall intensity on hydraulic response and stability of shallow slope. Typically, the shallow landslides in Thailand are mostly taken place during rain storm, which indicate a rapid infiltration of rainfall into soil slope. The study focuses on influences of rainfall intensity on shallow slope. Generally, a key process controlling failure mechanisms is an infiltration of rain water into the soil slope. In order to understand the key process, a series of large scale laboratory model tests was carefully conducted to study effect of rainfall intensity. The results showed that a change of water content is divided into two stages. The first stage involves the movement downward of the wetting front. In this stage, the soil remains in unsaturated state. The second stage, the water content rises to almost saturated state due to a rise of water table. The effect of rainfall intensity is presented in this research. The rate of rising of water content mainly depends on a ratio between rainfall intensity and saturated permeability of soil. The higher this ratio is the faster the rate of rising of water content.

School of Civil Engineering

Student's Signature \_\_\_\_\_

Academic Year 2014

Advisor's Signature \_\_\_\_\_

# สารบัญ

หน้า

บทคัดย่อ (ภาษาไทย)	๑
บทคัดย่อ (ภาษาอังกฤษ)	๒
กิตติกรรมประกาศ	๓
สารบัญ	๔
สารบัญตาราง	๘
สารบัญรูป	๙
คำอธิบายสัญลักษณ์และคำย่อ	๑๐
บทที่	
1 บทนำ	1
1.1 ความสำคัญและที่มาของปัจุหาน	1
1.2 วัตถุประสงค์ของงานวิจัย	3
1.3 ขอบเขตของงานวิจัย	3
1.4 ประโยชน์ที่คาดว่าจะได้รับ	4
2 ปริกรศน์วรรณกรรมและงานวิจัยที่เกี่ยวข้อง	5
2.1 บทนำ	5
2.2 งานวิจัยที่เกี่ยวข้อง	6
2.2.1 เสถียรภาพดินภายในไทรกระบวนการทางอุทกวิทยา	6
2.2.2 การตอบสนองต่อกระบวนการทางอุทกวิทยาของลาดดิน	10
2.2.3 ปัจจัยที่ส่งผลกระทบต่อพฤติกรรมการซึมนำในลาดดิน	11
2.2.4 ปัจจัยกระตุ้นภายนอกต่อการวินิจฉัยในลาดดินธรรมชาติ	12
2.2.5 แบบจำลองภัยภุมของลาดดิน	14
3 วิธีการดำเนินงานวิจัย	21
3.1 บทนำ	21
3.2 การสร้างแบบจำลองลาดดินและการสร้างแบบจำลองนำฝน	21

## สารบัญ (ต่อ)

หน้า

3.2.1 รายละเอียดของแบบจำลอง\data\bin	21
3.2.2 รายละเอียดของแบบจำลอง\name\fun	24
3.3 การติดตั้งอุปกรณ์ตรวจวัดความชื้น (Sensor) และการสอบเทียบ	28
3.3.1 ตัววัดความชื้น (Sensor)	28
3.3.2 การสอบเทียบตัววัดความชื้น	29
3.4 มาตรฐานการทดสอบคุณสมบัติพื้นฐานของคินตัวอย่าง	30
3.5 ขั้นตอนการทดสอบ	33
3.5.1 เตรียมคิน	33
3.5.2 เงื่อนไขการทดสอบ	33
<b>4 วิเคราะห์ผลการวิจัย</b>	<b>34</b>
4.1 บทนำ	34
4.2 การตอบสนองของความชื้นในคิน	34
4.3 การเพิ่มขึ้นของระดับน้ำใต้คิน	43
4.4 การระบายน้ำภายใน\data\bin	49
<b>5 สรุปผลการวิจัย</b>	<b>53</b>
รายการอ้างอิง	55
ภาคผนวก	59
ภาคผนวก ก. บทความที่ได้รับการตีพิมพ์เผยแพร่ในระหว่างการศึกษา	60
ประวัติผู้เขียน	70

## สารบัญตาราง

ตารางที่

หน้า

3.1 แสดงการทดสอบคุณสมบัติของดิน	32
3.2 แสดงคุณสมบัติของแต่ละการทดลอง	33



# สารบัญรูป

รูปที่	หน้า
1.1 การวิเคราะห์แบบคาดเดินอนันต์	1
2.1 การวิเคราะห์แบบคาดเดินอนันต์	9
2.2 การเปลี่ยนแปลงแรงดันน้ำกับชั้นดินภายใต้การเปลี่ยนแปลงอัตรา降雨-ออก บริเวณผิวดิน	11
2.3 แบบจำลองการซึม	13
2.4 ความสัมพันธ์ระหว่างการซึมและการไหลผิวดิน	13
2.5 แสดงแบบจำลองคาดเดินและแบบจำลองนำฝ่น	14
2.6 แสดงการวิบัติของคาดเดินHuang et al,(2009)	15
2.7 แสดงช่วงเวลาการวิบัติของคาดเดินHuang et al,(2009)	16
2.8 แสดงแบบจำลองคาดเดินLee (2011)	17
2.9 กราฟแสดงค่าแรงดันน้ำตามความลึกของดิน Lee (2011)	18
2.10 กราฟแสดงความสัมพันธ์ระหว่างค่า Suction ระยะเวลาของนำฝ่น ที่ 1 ชั่วโมง และ 24 ชั่วโมง ของดินแต่ละชนิด Lee (2011)	19
3.1 แผนการดำเนินงานวิจัย	22
3.2 แสดงรายละเอียดของกล้องทดสอบคาดเดิน	23
3.3 แสดงความสัมพันธ์ระหว่างปริมาณความเข้มฝนกับความดัน	25
3.4 แสดงแผนผังของแบบจำลองการทดสอบ	27
3.5 แสดงภาพถ่ายของแบบจำลองคาดเดิน	27
3.6 หัววัด (Sensor)	28
3.7 เครื่องบันทึกข้อมูล (data logger) รุ่น EM50	29
3.8 ความสัมพันธ์ระหว่างความชื้นที่ได้จากการคำนวณกับความชื้นที่ได้จาก ตัววัดความชื้น (Sensor)	30
3.9 แสดงการจำแนกขนาดและการกระจายของเม็ดดิน	31
3.10 ความสัมพันธ์ระหว่างแรงดึงดูดเมทริกกับความชื้นดิน (SWCC)	31

## สารบัญ (ต่อ)

รูปที่		หน้า
3.11	แสดงความสามารถในการซึมผ่านของดินที่ใช้ในการศึกษา.....	32
4.1	แสดงความสัมพันธ์ระหว่างการเปลี่ยนแปลงปริมาตรความชื้นกับเวลา.....	36
4.2	แสดงความสัมพันธ์ระหว่างความลึกของลาดดินกับปริมาตรความชื้น.....	39
4.3	แสดงความสัมพันธ์ระหว่างความเร็วในการเคลื่อนตัวของแพ่นความชื้นที่ผิวน้ำของ ลาดดินกับปริมาณความเข้มของน้ำฝน.....	42
4.4	แสดงความสัมพันธ์ระหว่างปริมาตรความชื้นภายในหลังจากการเคลื่อนตัวของ แพ่นความชื้นที่ผิวน้ำของลาดดินกับปริมาณความเข้มฝน.....	42
4.5	แสดงความสัมพันธ์ระหว่างระดับน้ำได้ดินและเวลาที่ตำแหน่งตรวจวัด.....	44
4.6	แสดงความสัมพันธ์ระหว่างระดับน้ำได้ดินที่ปริมาณความเข้มฝนต่างๆและเวลา.....	47
4.7	แสดงการเปรียบเทียบระหว่างปริมาณน้ำฝนที่ปล่อยลงสู่ลาดดินและปริมาณน้ำสะสมที่ถูก ระบายนอกจากลาดดินที่เปลี่ยนแปลงตามเวลา.....	50

## คำอธิบายสัญลักษณ์และคำย่อ

$\tau_f$	= กำลังรับแรงเฉือนของดิน (Shear Strength of the soil)
$\tau_m$	= หน่วยแรงเฉือนที่เกิดตลอดระนาบการวิบัติสมมุติ (Shearing stress along the assumed failure surface)
$c'$	= หน่วยแรงขีดเกาะประสิทธิผลของดิน (Effective Cohesion Intercept)
$\sigma'_n$	= หน่วยแรงตึงจากประสิทธิผล (Effective Normal Stress)
$\phi'$	= มุมเสียดทานภายในประสิทธิผลของดิน (Friction Angle)
$\sigma$	= หน่วยแรงรวม (Total Stress)
$u_a$	= แรงดันอากาศในช่องว่างเม็ดดิน (Air Pressure)
$u_w$	= แรงดันน้ำในช่องว่างเม็ดดิน (Water Pressure)
$f$	= ความสามารถในการซึมของดิน
$f_0$	= ความสามารถในการซึมเริ่มต้นของดิน
$f_c$	= ความสามารถในการซึมสุดท้ายของดิน
$i$	= ความชื้มฝน
$K_s$	= ค่าการนำทางชลศาสตร์ในสภาพอิ่มตัวด้วยน้ำ
$c_u$	= ค่าสัมประสิทธิ์ของความสมดเสมอ
$I_i$	= ปริมาณความชื้มฝนที่วัดได้ของแต่ละกระป๋อง
$I_m$	= ปริมาณความชื้มฝนเฉลี่ยที่วัดได้ของทุกกระป๋อง
$n$	= จำนวนกระป๋องทั้งหมด
$\theta'$	= ความชื้นโดยปริมาตร
$w$	= ปริมาณความชื้นของน้ำในมวลดิน (%)
$\gamma_d$	= หน่วยน้ำหนักของดินแห้ง
$\gamma_w$	= หน่วยน้ำหนักของน้ำ (เท่ากับ 1 กรัมต่อลูกบาศก์เซนติเมตร)
$\theta_{wi}$	= ความชื้นที่สภาวะเริ่มต้น
$\theta_{wb}$	= ความชื้นหลังจากการเคลื่อนตัวของแผ่นความชื้น (wetting front)
$\theta_{wa}$	= ความชื้นที่สภาวะอิ่มตัว

## บทที่ 1

### บทนำ

#### 1.1 ความสำคัญและที่มาของปัญหา

ปัญหาการวินิจฉัยของลาดดินตื้น (Shallow slope failures) เป็นภัยพิบัติทางธรรมชาติที่พบได้บ่อยในทางตอนเหนือและตอนใต้ของประเทศไทย การวินิจฉัยเหล่านี้ทำให้เกิดการสูญเสียทั้งชีวิตและทรัพย์สินของประชาชนที่อาศัยอยู่ใกล้เคียงกับพื้นที่เสี่ยงภัย ดังตัวอย่างในรูปที่ 1.1 เป็นการวินิจฉัยของลาดดินแบบตื้นที่เกิดในจังหวัดอุตรดิตถ์ เมื่อปี พ.ศ. 2549 ในเหตุการณ์นั้นเป็นเหตุให้มีผู้เสียชีวิต 75 ราย และบ้านเรือนกว่า 445 หลังคาเรือน ได้รับความเสียหาย โดยทั่วไปแล้ว ปริมาณน้ำฝนในฤดูฝนและในช่วงการเกิดพายุคือปัจจัยหลักที่ไปกระตุ้นการวินิจฉัยของลาดดินในประเทศไทยพระตำแหน่งที่ตั้งอยู่ในบริเวณใกล้เคียงกับเส้นศูนย์สูตร



รูปที่ 1.1 ดินโคลนคลื่นในพื้นที่จังหวัดอุตรดิตถ์ เมื่อวันที่ 29 พฤษภาคม 2549 (ที่มา: กรมทรัพยากร ธรณี กระทรวงทรัพยากรธรรมชาติและสิ่งแวดล้อม มิถุนายน 2554)

ปัจจุบันรัฐบาลไทยได้เล็งเห็นความสำคัญของปัญหางบประมาณชาติ ได้มีการจัดตั้งหน่วยงานเพื่อเฝ้าระวังและเตือนภัยเมืองต้น (An early warning system) ของภัยพิบัติที่รวมทั้ง

ปัญหาน้ำหลากรและการวิบัติของลาดคิน ชี้อ่วง ห้องปฏิบัติการเฝ้าระวังและเตือนภัยน้ำหลากร-ดิน ถล่ม สำนักวิจัย พัฒนาและอุทกวิทยา กรมทรัพยากรน้ำ การเตือนภัยจะนำข้อมูลน้ำฝนสะสมจาก สถานีวัดที่ใกล้เคียงกับพื้นที่เสี่ยงภัยมาเปรียบเทียบกับเกณฑ์น้ำฝนสะสมวิกฤติของแต่ละพื้นที่ คือ ในพื้นที่ภาคเหนือและภาคใต้มีการตั้งเกณฑ์น้ำฝนสะสมวิกฤติ 12 ชั่วโมงเท่ากับ 150 และ 180 มิลลิเมตร ตามลำดับ ระดับของการเตือนภัยจะถูกประเมินเป็น 3 ระดับ คือ 1) ระดับสีเขียว เป็น พื้นที่ที่มีค่าน้ำฝนสะสมจากสถานีวัดอยู่ระหว่าง 55 และ 65 เปอร์เซ็นต์ ของน้ำฝนสะสมวิกฤติ ถือ ว่าเป็นพื้นที่ปลอดภัยต่อการเกิดคินโคลนถล่ม 2) ระดับสีเหลือง เป็นพื้นที่ที่มีค่าน้ำฝนสะสมอยู่ ระหว่าง 65 และ 80 เปอร์เซ็นต์ ของน้ำฝนสะสมวิกฤติ เป็นพื้นที่มีการเตือนภัย 3) ระดับสีแดง เป็น พื้นที่ที่มีค่าน้ำฝนสะสมมากกว่า 80 เปอร์เซ็นต์ ของน้ำฝนสะสมวิกฤติ เป็นพื้นที่ที่ต้องมีการอพยพ เพราะเสี่ยงต่อการเกิดคินโคลนถล่มและน้ำหลากร

เกณฑ์น้ำฝนวิกฤติที่ใช้ในการเตือนภัยเบื้องต้นนี้ เป็นปริมาณน้ำฝนที่ได้จากการรวบรวม เหตุการณ์ภัยพิบัติที่เกิดขึ้นในอดีตรวมถึงการวิเคราะห์เชิงสถิติ ซึ่งถือว่าเป็นการเตือนภัยที่สามารถ ช่วยบรรเทาความเสี่ยงต่อชีวิตและทรัพย์สินในพื้นที่เสี่ยงภัยได้เป็นอย่างดี และเนื่องจากการใช้ เกณฑ์น้ำฝนวิกฤติในการประเมินความเสี่ยงของภัยพิบัติเป็นวิธีที่ง่ายและรวดเร็วในการคำนวณ หลักการนี้จึงได้ถูกนำไปใช้อย่างแพร่หลายในหลายพื้นที่ทั่วโลกเพื่อเป็นส่วนหนึ่งของระบบการ เตือนภัยเบื้องต้น เช่น ระบบที่ถูกดำเนินการโดย the Geotechnical Engineering Office of Hong Kong (Brand et al., 1984); the early warning system of San Francisco Bay area, California, USA (Keefer et al., 1987; Wilson et al., 1993); the landslide warning system adopted by the civil protection agency of Campania, Italy (Versaceet al., 2003; Sirangelo and Braca, 2004; Sirangelo et al., 2007) อย่างไรก็ตาม การเตือนภัยเบื้องต้นดังกล่าวมานั้น เป็นการใช้เกณฑ์น้ำฝนวิกฤติที่ตั้งอยู่ บนข้อมูลของเหตุการณ์ในอดีตเป็นตัวแทนสำหรับการประเมินความภัยพิบัติในพื้นที่เสี่ยงภัยที่ กว้างขวาง ดังนั้น หลายปัจจัยที่สามารถผลกระทบต่อการเกิดการวิบัติของลาดคินจึงถูกละเลยในการ ประเมินความเสี่ยง เช่น การกระจายความชื้นของลาดคิน(Slope angle) ความชื้นและแรงดึงน้ำ เริ่มต้นในลาดคิน (Antecedent moisture content and metric suction) การแปรเปลี่ยนของความชื้น ฝนเชิงเวลาและเชิงพื้นที่ (Temporal and spatial variations of rain intensity) รวมไปถึงการกระจาย ของพืชคลุมดินและคุณสมบัติดิน(vegetation covers and variation of soil property) ในพื้นที่เสี่ยงภัย ซึ่งปัจจัยเหล่านี้อาจจะส่งผลทั้งทางด้านเวลาและรูปแบบในการเกิดการวิบัติของลาดคินรวมไปถึง เกณฑ์น้ำฝนวิกฤติที่ใช้ในการเตือนภัย

งานวิจัยนี้ จึงเป็นการศึกษาเบื้องต้นเพื่อให้เข้าใจผลกระทบของปัจจัยภูมิที่มีอิทธิพลต่อการวินิจฉัยของลาดดิน โดยมุ่งเน้นไปที่การวินิจฉัยในลาดดินตื้นซึ่งเป็นการวินิจฉัยที่พบบ่อยที่สุดในลาดดินธรรมชาติและการเปลี่ยนแปลงปริมาณน้ำฝนในเชิงความเข้มจะสูญนำมาระบบที่มีอิทธิพลต่อการวินิจฉัยในประเทศไทย การศึกษานี้จะตั้งอยู่บนกลไกทางกายภาพที่เกิดขึ้นจริงในลาดดิน ประกอบด้วย กระบวนการซึมของน้ำฝน (Rainfall infiltration) การเพิ่มของระดับน้ำใต้ดิน (Rising of water table) และกลไกการไหลออก (runoff generation) ของลาดดินตื้น เพื่อให้เข้าใจอิทธิพลของความเข้มฝนต่อเสถียรภาพของลาดดินตื้น ผลการศึกษาที่ได้รับจะสูญนำมาระบบที่มีอิทธิพลต่อการวินิจฉัยในลาดดินตื้น ที่สอดคล้องกับการวินิจฉัยในลาดดินตื้น

## 1.2 วัตถุประสงค์ของงานวิจัย

เพื่อศึกษาอิทธิพลของความเข้มฝนต่อกลไกทางกายภาพที่เกิดขึ้นจริงในลาดดินธรรมชาติ ประกอบด้วย การซึมของน้ำฝน การเพิ่มของระดับน้ำใต้ดิน รวมทั้งกลไกการไหลออกในลาดดินตื้น

## 1.3 ขอบเขตของงานวิจัย

เนื่องจากปัญหาการวินิจฉัยของลาดดินเป็นปัญหาที่มีขนาดกว้าง การติดตั้งเครื่องมือวัดในสนามรวมถึงการควบคุมปัจจัยที่ไม่เกี่ยวต่อการศึกษาเป็นเรื่องที่ยาก งานวิจัยนี้จึงนำมาระบบที่มีอิทธิพลต่อการวินิจฉัยในลาดดินตื้น ที่มีขนาดกว้าง 200 ม.ม. ยาว 1500 ม.ม. และสูง 600 ม.ม. และแบบจำลองน้ำฝนเทียม (Simulated rainfall simulator) โดยใช้ความเข้มฝน (*i*) ในการศึกษาเท่ากับ 45, 70, 100, 130 และ 160 มิลลิเมตรต่อชั่วโมง ติดตั้งเครื่องมือวัดความชื้น(moisture sensors)ที่ไฟล์กึ่งกลางของลาดดินจำนวน 5 จุด ติดตั้งเครื่องมือวัดระดับน้ำ (Piezometers) จำนวน 3 จุด คือ ที่กึ่งกลางลาดดิน รวมทั้งบริเวณโกลเด็คิ่งกับทางด้านต้นและท้ายของลาดดิน การวัดการไหลออกจะทำการวัดปริมาณน้ำที่ไหลออกด้านท้ายของลาดดินโดยใช้ระบบทองตัว 2000 มิลลิตร สุดท้ายผลการตอบสนองทางด้านชลศาสตร์เหล่านี้จะสูญนำมาระบบที่เสถียรภาพของลาดดินอนันต์(Infinite slope stability)

#### 1.4 ประโยชน์ที่คาดว่าจะได้รับ

งานวิจัยนี้จะเป็นองค์ความรู้เพื่อให้เข้าใจอิทธิพลของความเข้มฝนต่อการตอบสนองทางชลศาสตร์รวมทั้งเสถียรภาพของลักษณะดินตื้น องค์ความรู้ที่ได้รับจะสามารถนำไปปรับใช้ในการดำเนินกิจกรรมต้นเพื่อให้การทำการวิบัติของลักษณะดินมีความแม่นยำมากขึ้นในอนาคต



## บทที่ 2

### ปริศนาวรรณกรรมและงานวิจัยที่เกี่ยวข้อง

#### 2.1 บทนำ

ปัจจุบันปัญหาดินโคลนถล่มในประเทศไทยจะยังคงมีความรุนแรงและเกิดบ่อยครั้ง ส่งผลกระทบต่อชีวิตและทรัพย์สินของชุมชนที่อาศัยในบริเวณพื้นที่เสี่ยง เนื่องจากภัยธรรมชาติที่เปลี่ยนแปลงไป โดยเฉพาะเมื่อฝนตกเป็นปริมาณมากและต่อเนื่องยาวนาน และมักเกิดขึ้นจากมวลดินและหินเคลื่อนที่อย่างรวดเร็วจากอิทธิพลของแรงโน้มถ่วงของโลก ระหว่างการเกิดพายุฝนตกหนักไม่นาน หรือหลังจากเกิดฝนหนัก จากการรวบรวมข้อมูลรายงานสรุปเหตุการณ์ธรณีพิบัติกัยกรรมทรัพยากรธนี กระทรวงทรัพยากรธรรมชาติและสิ่งแวดล้อม ตั้งแต่ปี พ.ศ. 2549 ถึง พ.ศ. 2553 พบว่า การเกิดดินโคลนถล่มในพื้นที่ประเทศไทย จะมีรูปแบบการวินาศีได้หลายรูปแบบ แต่โดยส่วนมากแล้วจะเป็นวินบัดที่เกิดขึ้นในระดับตื้น (Shallow Landslides) ซึ่งสามารถจำแนกรูปแบบการวินบัดเป็นการลื่น ไถลลงมาตามระนาบการเคลื่อนที่ (Translational Slides) ภายหลังการวินบัดรูปแบบนี้มักจะเกิดการไหลร่วมด้วยเนื่องจากปริมาณน้ำฝนที่มีจำนวนมากและมีความเร็วการไหลสูงตามไหลเขา จึงทำให้เหตุการณ์ดินโคลนถล่มทวีความรุนแรงขึ้นไปอีกขั้น

การลื่น ไถลลงมาตามระนาบการเคลื่อนที่ (Translational Slides) เป็นการวินบัดที่ระนาบการวินบัดที่มีความลาดของผิวดินและเกิดการวินบัดในระดับตื้นถึงแม่ชั้นดินจะมีความหนามากหรือน้อยก็ตาม โดยปกติแล้วจะเกิดขึ้นในพื้นที่มีความลาดชันสูง (Steep Slope) และมีปริมาณฝนตกหนัก สำหรับการวิเคราะห์เสถียรภาพของลักษณะด้วยวิธี Limit Equilibrium ที่สอดคล้องกับการวินบัดรูปแบบนี้จะนิยมใช้วิธีคาดคะนองนั้น (Infinite Slope)

การวิเคราะห์นี้ออกเหนือจากการใช้พารามิเตอร์ที่เกี่ยวข้องกับกำลังของดินแล้ว ในชั้นดินไม่มีอิ่มตัวด้วยน้ำจะมีความซับซ้อนในการวิเคราะห์ขึ้นมาอีกขั้น เนื่องจากการรวมผลผลกระทบที่ตอบสนองต่อปัจจัยกระตุ้นทางอุทกวิทยา (ความเข้มฝน และอัตราการระเหย) เข้าด้วยกัน กล่าวคือ ใน การเปลี่ยนแปลงแรงดึงด้วย และความชื้นในลักษณะ ซึ่งจะเปลี่ยนแปลงตามกระบวนการทางอุทกวิทยา อีกทั้งขึ้นอยู่กับเวลาที่ตอบสนองด้วย เช่นเดียวกับการวิเคราะห์เสถียรภาพของลักษณะไม่ อิ่มตัวด้วยน้ำวิธีอื่นๆ ก็ต้องคำนึงถึงปัจจัยเหล่านี้ด้วยเช่นกัน ดังนั้นงานวิจัยนี้จึงมีแนวคิดที่จะศึกษา

ปัจจัยทางอุทกวิทยาที่ตอบสนองต่อลาดคินให้ชัดเจน เพื่อนำผลลัพธ์ที่ได้ไปใช้ในการวิเคราะห์ เสถีรภาพของลาดคินให้แม่นยำ

## 2.2 งานวิจัยที่เกี่ยวข้อง

การเกิดดินโคลนคล่มและดินไหล (Flow landslides) ส่วนมากแล้วจะเกิดขึ้นบริเวณพื้นที่ภูเขาที่มีความลาดชันสูง และมีปริมาณน้ำฝนที่ตกในพื้นที่ดังกล่าวเป็นปัจจัยกระตุ้นหลัก ซึ่งจะมีการซึมผ่าน (Infiltration) ลงสู่ดินทำให้เกิดการสูญเสียกำลังรับแรงเฉือนในดิน ดังนั้นสิ่งจำเป็นจะต้องพิจารณาเมื่อทำการศึกษาปัญหาการเกิดดินโคลนคล่มคือ กระบวนการทางอุทกวิทยา และการเปลี่ยนแปลงคุณสมบัติทางด้านกอกศาสตร์ของดินระหว่างกระบวนการทางอุทกวิทยา

### 2.2.1 เสถีรภาพดินภายใต้กระบวนการทางอุทกวิทยา

การศึกษาและวิจัยเกี่ยวกับการวิเคราะห์เสถีรภาพของลาดคิน ได้มีการศึกษาเป็นระยะเวลายาวนาน และมีวิธีการวิเคราะห์หลายวิธี เช่น Slope Stability Charts โดย Janbu (1968) และ Dugan et al (1987), Ordinary Method of Slices โดย Fellenius (1927), Bishop's Modified Method โดย Bishop (1955), Force Equilibrium Methods โดย Lowe และ Karafiat (1955) และ Corps of Engineers (1982), Janbu's Generalized Procedure of Slices โดย Janbu (1968) และ Morgenstern and Price's Method โดย Morgenstern and Price (1965) เป็นต้น วิธีการวิเคราะห์เหล่านี้เป็นการวิเคราะห์เสถีรภาพของลาดคินที่เรียกว่า Limit Equilibrium Method การวิเคราะห์ด้วยวิธีนี้ จะกำหนดระนาบการวินาศ (Failure Surface) สมมติแตกต่างกันออกไป และการวิเคราะห์ทุกวิธีจะมีการประเมินเสถีรภาพของลาดคินเป็นค่าอัตราส่วนความปลอดภัย (Factor of safety, FOS) ดังต่อไปนี้

$$FOS = \frac{\tau_f}{\tau_m} \quad (1)$$

เมื่อ  $\tau_m$  หน่วยแรงเฉือนที่เกิดตลอดระนาบการวินาศสมมุติ (Shearing stress along the assumed failure surface)

$\tau_f$  กำลังรับแรงเฉือนของดิน (Shear Strength of the soil)

เมื่ออัตราส่วนความปลอดภัยมีค่าต่ำกว่า 1 ( $FOS < 1.0$ ) จะเกิดการวินาศของลาดคินที่ระนาบสมมุติขึ้น ในขณะที่อัตราส่วนความปลอดภัยมากกว่า 1 ( $FOS > 1.0$ ) จะไม่เกิดการวินาศขึ้นที่ระนาบสมมุติ

สำหรับการวิเคราะห์เสถียรภาพของลักษณะดินที่สอดคล้องกับเหตุการณ์การเกิดฝนตกนั้น สามารถประยุกต์ใช้วิธี Limit Equilibrium ใน การวิเคราะห์ได้ เช่นเดียวกัน แต่อย่างไรก็แล้ว จะต้องมีความสอดคล้องกับรูปแบบการวิบัติที่เกิดขึ้นจริง จากการรวบรวมข้อมูลจากรายงานสรุปเหตุการณ์ชาร์ฟพิบัติกัย กรมทรัพยากรธรรมชาติและทรัพยากรธรรมชาติและสิ่งแวดล้อม ตั้งแต่ปี พ.ศ. 2549 ถึง พ.ศ. 2553 พบว่า การเกิดดินโคลนถล่มในพื้นที่ประเทศไทย จะมีรูปแบบการวิบัติได้หลายรูปแบบ แต่โดยส่วนมากแล้วจะเป็นวิบัติที่เกิดขึ้นในระดับตื้น (Shallow Landslides) ซึ่งสามารถจำแนกรูปแบบการวิบัติเป็นการลื่น ไอลองมาตามระนาบการเคลื่อนที่ (Translational Slides) ภายหลังการวิบัติรูปแบบนี้มักจะเกิดการไหลร่วมด้วยเนื่องจากปริมาณน้ำฝนที่มีจำนวนมาก และมีความเร็วการไหลสูงตามไหลเข้า จึงทำให้เหตุการณ์ดินโคลนถล่มทวีความรุนแรงขึ้นไปอีกขึ้น

Sorbiño and Nicora ได้รวบรวมงานวิจัยและศึกษาการเกิดเหตุการณ์ดิน โคลนถล่ม ที่มีการวิบัติแบบการไหลหรือที่เรียกว่าดินไหล (Flow landslides) ทำการศึกษากับลักษณะดินเม็ดหยาบ (Coarse-grained soils) เนื่องเป็นลักษณะที่มีการตอบสนองต่อน้ำฝนอย่างรวดเร็วและมีความรุนแรงมากกว่าลักษณะดินเม็ดละเอียด (Fine-grained soils) ได้มีการอธิบายให้เห็นว่า การเกิดดินโคลนถล่มจะประกอบด้วย 2 สถานะคือ สถานะวิบัติ (Failure Stage) และสถานะหลังการวิบัติ (Post-Failure) สำหรับสถานะวิบัติจะเกิดภายใต้การตอบสนองต่อบริษัทของน้ำฝนของลักษณะดิน ทำให้เกิดการเพิ่มขึ้นของแรงดันน้ำ (Pore pressure) ในมวลดิน ส่งผลกระแทกให้เกิดการลดลงของหน่วยแรงประสิทชิพล ในมวลดินจนกระทั่งสถานะของหน่วยแรงเข้าสู่สถานะวิบัติ และภายหลังสถานะวิบัติหากน้ำไม่สามารถระบายนอกจากลักษณะดินหรืออยู่สภาวะแบบไม่ระบายน้ำ (Undrained conditions) จะมีการพัฒนาจากสถานะวิบัติไปสู่การเกิดการวิบัติแบบการไหลหรือดินไหล ซึ่งการวิบัติรูปแบบนี้ได้มีงานวิจัยหลายงานที่ให้ความสนใจศึกษาเกี่ยวกับการวิบัติแบบการไหลของลักษณะดินทั้งในแบบจำลองทางกายภาพ (Physical Model) และแบบจำลองเชิงตัวเลข (Numerical Model) เพราะเป็นสถานะที่เกิดร่วมกับการหลากร่องน้ำฝน ทำให้เกิดความเสียหายอย่างรุนแรง เช่น Huang et al,(2008) และ Cascini et al,(2008) เป็นต้น

อย่างไรก็ตาม ถึงแม้มีการศึกษาที่เกี่ยวของกับดินไหลเป็นจำนวนมาก แต่สถานะดังกล่าว ได้เกิดขึ้นหลังสถานะวิบัติ ดังนั้น จึงควรให้ความสนใจตั้งแต่สถานะวิบัติเพื่อการพัฒนาระบบทีอ่อนกับดิน โคลนถล่ม และภายใต้สภาวะการวิบัติในชั้นดินตื้นที่เกิดขึ้นส่วนมากในประเทศไทย สามารถพิจารณาให้เป็นการวิบัติแบบการลื่น ไอลองมาตามระนาบการเคลื่อนที่ (Translational Slides) สอดคล้องกับการจำแนกโดย

การลีน์ไอลลงมาตามระนาบการเคลื่อนที่ (Translational Slides) เป็นการวิบติที่ ระนาบการวิบติดนานกับความลาดของผิวดินและเกิดการวิบติในระดับตื้นถึงแม่ชั้นดินจะมีความ หนามากหรือน้อยก็ตาม โดยปกติแล้วจะเกิดขึ้นในพื้นที่มีความลาดชันสูง (Steep Slope) และมี ปริมาณฝนตกหนัก สำหรับการวิเคราะห์เสถียรภาพของลาดดินด้วยวิธี Limit Equilibrium ที่ สอดคล้องกับการวิบติรูปแบบนี้จะนิยมใช้วิธีลาดดินอนันต์ (Infinite Slope) โดย Skempton and DeLory (1957) ตัวอย่างเช่น Cho(2009), Ma et al,(2011), Santosoet al,(2011), Xiee al,(2004), Eichenberger et al,(2013) และ Lu and Godt (2008) เป็นต้น วิธีวิเคราะห์นี้จะมีการประเมิน เสถียรภาพของลาดดินตามสมการ (1) ดังนี้

$$FOS = \frac{\tau_f}{\tau_m} = \frac{c' + \sigma'_n \tan \phi'}{\tau_m} \quad (2)$$

เมื่อ  $c'$  หน่วยแรงขีดเกาะประสีทชิผลของดิน (Effective Cohesion Intercept)

$\sigma'_n$  หน่วยแรงตั้งฉากประสีทชิผล (Effective Normal Stress)

$\phi'$  มุมเสียดทานภายในประสีทชิผลของดิน (Friction Angle)

สมการ (2) ใช้ประเมินค่าอัตราส่วนความปลอดภัยด้วยวิธีลาดดินอนันต์โดย พิจารณาบนระนาบการวิบติของمور์-คูลอมบ์ (Mohr-Coulomb Failure Plane) ซึ่งหมายความว่า การวิเคราะห์ในลาดดินที่อิ่มตัวด้วยน้ำ แต่หากมีการประยุกต์ใช้กับลาดดินที่ตอบสนองต่อฟุ่น ดังรูปที่ 2.1 การเปลี่ยนแปลงเสถียรภาพของลาดดินจะสอดคล้องกับการซึมของน้ำฟุ่นลงสู่ชั้นดินไม่อิ่มตัว ด้วยน้ำ ดังนั้น กำลังรับแรงเฉือนของดิน ( $\tau_f$ ) จึงต้องพิจารณาเป็นกำลังรับแรงเฉือนในสภาวะไม่อิ่มตัวด้วยน้ำ และสามารถพิจารณาตาม Bishop (1959) ได้เสนอให้มีการใช้หน่วยแรงประสีทชิผล (Bishop's Effective Stress,  $\sigma'$ ) สำหรับดินไม่อิ่มตัวด้วยน้ำ ดังนี้

$$\sigma' = (\sigma - u_a) + \chi(u_a - u_w) \quad (3)$$

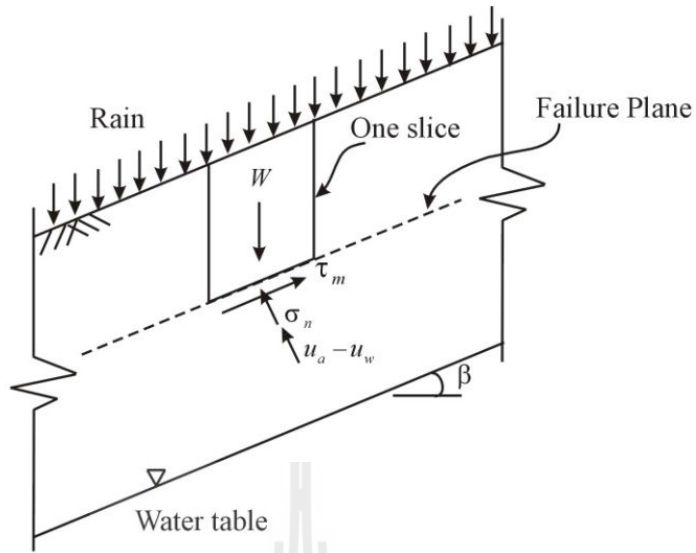
เมื่อ  $\sigma$  หน่วยแรงรวม (Total Stress)

$u_a$  แรงดันอากาศในช่องว่างเม็ดดิน (Air Pressure)

$u_w$  แรงดันน้ำในช่องว่างเม็ดดิน (Water Pressure)

$\chi$  ค่าคงตัวของ Bishop จะสัมพันธ์กับระดับความอิ่มตัวด้วยน้ำ (Degree of Saturation) หรือ

ความชื้น (Moisture Content) ในมวลดิน



รูปที่ 2.1 การวิเคราะห์แบบลากดินอนันต์

ดังนั้นอัตราส่วนความปลอดภัยในลากดินไม่อิ่มตัวด้วยน้ำ จะเป็นดังนี้

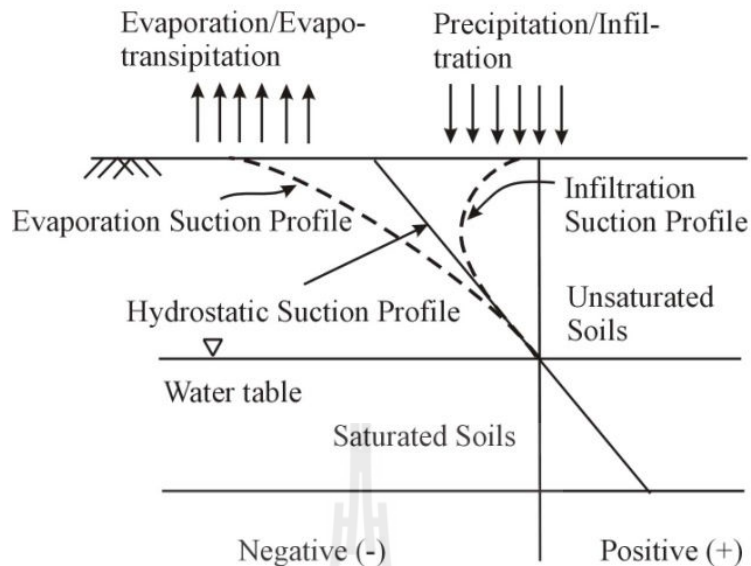
$$FOS = \frac{c' + (\sigma_n - u_a) \tan \phi' + \chi(u_a - u_w) \tan \phi'}{\tau_m} \quad (4)$$

การวิเคราะห์เสถียรภาพของลากดินไม่อิ่มตัวด้วยน้ำแบบลากดินอนันต์ตามสมการ (4) นอกจากนี้จากการใช้พารามิเตอร์ที่เกี่ยวข้องกับกำลังของดินแล้ว จะเห็นได้ว่าในชั้นดินไม่อิ่มตัวด้วยน้ำจะมีความซับซ้อนในการวิเคราะห์ขึ้นมาอีกขั้น เนื่องจากการรวมผลกระทบที่ตอบสนองต่อปัจจัยกระตุนทางอุทกวิทยา (ความเข้มฝน และอัตราการระเหย) เข้าด้วย ก่อให้เกิด ในเทอมของ  $\chi(u_a - u_w)$  ซึ่งเป็นเทอมที่สอดคล้องกับการเปลี่ยนแปลงแรงดึงด้วย และความชื้นในลากดิน จะเปลี่ยนแปลงตามกระบวนการทางอุทกวิทยา อีกทั้งยังขึ้นอยู่กับเวลาที่ตอบสนองด้วย เช่นเดียวกัน กับการวิเคราะห์เสถียรภาพของลากดินไม่อิ่มตัวด้วยน้ำอีกด้วย ดังนั้นจึงจำเป็นอย่างยิ่งที่ต้องศึกษาถึงกระบวนการทางอุทกวิทยาที่ตอบสนองต่อลากดิน เพื่อให้มีความชัดเจนในการทำงานเหตุการณ์ ดินโคลนถล่มได้อย่างแม่น และนำไปสู่ระบบการเตือนภัยดินโคลนถล่มที่ช่วยลดการสูญเสียชีวิต และทรัพย์สินได้มากยิ่งขึ้น

### 2.2.2 การตอบสนองต่อกระบวนการทางอุทกวิทยาของลักษณะดิน

กระบวนการทางอุทกวิทยาที่สำคัญต่อเสถียรภาพของลักษณะดิน ได้แก่ การเกิดฝนตก การซึมของน้ำฝน การระเหย เมื่อฝนตกน้ำฝนจะซึมลงสู่ชั้นดินถือเป็นกระบวนการที่มีความซับซ้อนและสำคัญต่อการเกิดดินโคลนถล่ม เนื่องจากน้ำฝนที่ซึมลงสู่ชั้นดินจะทำให้ความชื้นในดินสูงขึ้น ผลที่ตามมาคือมวลดินสูญเสียหน่วยแรงที่เรียกว่า แรงดึงน้ำ (Suction) ซึ่งเป็นหน่วยแรงที่เกิดจากปรากฏการณ์คัพลารี (Capillary) และทำให้เกิดแรงยึดเหนี่ยวระหว่างเม็ดดินจากแรงดึงผิวของน้ำ

Fredlund (2000) แสดงเปลี่ยนแปลงแรงดึงน้ำตามความลึกของชั้นดินที่สัมพันธ์กับการเปลี่ยนแปลงอัตราการออก (Water flux) บริเวณผิวดินที่เกิดจากการเปลี่ยนแปลงสภาพทางอุทกวิทยา ดังรูปที่ 2.2 เมื่อชั้นดินถูกแบ่งออกเป็นสองโซนคือ ชั้นดินไม่อิ่มตัวด้วยน้ำ (Unsaturated zone) จะอยู่เหนือจากระดับน้ำใต้ดิน และชั้นดินอิ่มตัวด้วยน้ำ (Saturated zone) ที่ต่ำกว่าระดับน้ำใต้ดิน เมื่อออยู่ในสภาวะสมดุล (Equilibrium) และ ไม่มีการเปลี่ยนแปลงอัตราการออกบริเวณผิวดินแรงดันน้ำตลอดชั้นดินจะเป็นแรงดันน้ำสถิตย์ (Hydrostatic pressure) ซึ่งเป็นสภาวะเริ่มต้น (Initial condition) ของแรงดันน้ำในชั้นดิน ภายใต้สภาวะนี้ในโซนอิ่มตัวด้วยน้ำ แรงดันน้ำจะมีค่าเป็นบวก ในขณะที่โซนไม่อิ่มตัวจะมีค่าเป็นลบ หลังจากนั้นเมื่อมีการไหลจากน้ำฝนซึมสู่ชั้นดิน ในโซนดินไม่อิ่มตัวด้วยน้ำจะเกิดการเพิ่มขึ้นของแรงดันน้ำ เนื่องจากมีการเพิ่มขึ้นของความชื้นในชั้นดิน ในทางกลับกันหากอัตราการออกบริเวณผิวดินเท่ากับอัตราการระเหยจะทำให้ชั้นดินในโซนไม่อิ่มตัวด้วยน้ำมีแรงดึงน้ำเพิ่มขึ้น จากการเปลี่ยนแปลงดันน้ำจากสภาวะเริ่มต้นซึ่งเป็นสภาวะสมดุล ทำให้เกิดการเปลี่ยนแปลงเสถียรภาพของลักษณะดิน ตามไปด้วย โดยเฉพาะในช่วงที่เกิดฝน เพราะทำให้แรงดันน้ำเพิ่มขึ้นในโซนไม่อิ่มตัวด้วยน้ำ และ เป็นการเปลี่ยนแปลงภายใต้ระยะเวลาอันสั้น ดังนั้นจึงเรียกได้ว่าเป็นการเปลี่ยนแปลงแรงดันน้ำ ภายใต้สภาวะการซึมแบบไม่คงที่ขึ้นกับเวลา (Transient seepage) สอดคล้องกับเหตุการณ์ดินโคลนถล่มที่จะเกิดขึ้นในช่วงระหว่างพายุฝน หรือหลังจากพายุฝน ไม่นานการวิเคราะห์การซึมแบบไม่คงที่ขึ้นกับเวลา ทำให้ทราบถึงการเปลี่ยนแปลงปริมาณความชื้นในดิน และแรงดันน้ำที่สัมพันธ์กับทั้งการเปลี่ยนแปลงเวลาและความหนาชั้นดินด้วย ซึ่งสามารถนำไปรวมวิเคราะห์กับการวิเคราะห์เสถียรภาพของลักษณะดินวิธีต่าง ๆ และจะทำให้ทราบการเปลี่ยนแปลงอัตราส่วนความปลดภัยกับเวลาและชั้นดินด้วยเช่นเดียวกัน ตัวอย่างการวิเคราะห์เสถียรภาพของลักษณะดินที่สอดคล้องกับการไหลแบบไม่คงที่ โดย Ma et al.(2011), Santoso et al.(2011), และ Xie et al.(2014)



รูปที่ 2.2 การเปลี่ยนแปลงแรงดันน้ำกับชั้นดินภายใต้การเปลี่ยนแปลง  
อัตรานำเข้า-ออกบริเวณผิวดิน Fredlund(2000)

### 2.2.3 ปัจจัยที่ส่งผลกระทบต่อพฤติกรรมการซึมนำในภาคดิน

ถึงแม้ว่าการวิเคราะห์การซึมแบบไม่คงที่ขึ้นกับเวลาจะทำให้ทราบถึงการเปลี่ยนแปลงเสถียรภาพของดินกับเวลาและความลึกของดินได้ แต่เนื่องจากกระบวนการทางอุตสาหกรรมมีความซับซ้อนจึงไม่สามารถวิเคราะห์ได้อย่างง่ายดาย จากการศึกษางานวิจัย Cho (2009), Ma et al,(2011), Ng and Shi (1998), Ng et al,(2001), Zhan and Ng,(2004), Shama and Nakaraki,(2010), Kim (2004), Kim et al,(2012), Rahardjoet al,(2011), Rahardjoet al,(2010), Kassim et al,(2012), Horton (1933) และ Green and Ampt (1911) ซึ่งเป็นการวิเคราะห์การซึมของดินทั้งวิธีการคำนวณเชิงวิเคราะห์ (Analytical Method) และวิธีการคำนวณเชิงตัวเลข ทำให้สามารถสรุปปัจจัยที่มีผลกระทบต่อการซึมของน้ำในภาคดินได้

ปัจจัยที่ส่งผลกระทบต่อพฤติกรรมการซึมนำในภาคดินสามารถแบ่งได้เป็น 4 ปัจจัยหลักคือ 1) ปัจจัยทางค้านรูปร่างของภาคดิน (Geometry) 2) ปัจจัยที่เกิดจากคุณสมบัติของดินภายในภาคดิน (Internal Factors) 3) ปัจจัยภายนอก (External Factors) และ 4) ปัจจัยที่เกี่ยวข้องกับสภาพเริ่มต้นและสภาพขอบเขต (Initial and Boundary Conditions)

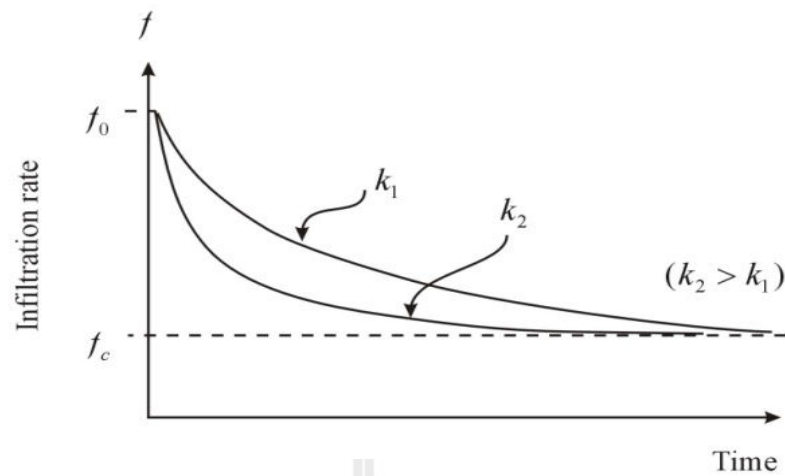
จากการศึกษาปัจจัยหลักที่มีผลกระทบต่อการซึมทั้ง 4 ปัจจัย พบว่า ปัจจัยที่มีความสำคัญมากที่สุดคือปัจจัยภายนอกที่เกี่ยวข้องกับกระบวนการทางอุตสาหกรรมคือ ความ

เข้มของฝนในพื้นที่ (Rainfall intensity) ช่วงเวลาในการเกิดพายุ (Rainfall Duration) อัตราการระเหย (Evaporation rate) เป็นต้น เพราะถ้าปราศจากปัจจัยนี้ ปัญหาที่มีความรุนแรงอย่างดินโคลนถล่มและน้ำหลากร่องไม่มีทางเกิดขึ้นได้ อีกทั้งงานวิจัยก่อนหน้าที่ได้การศึกษาซึ่งไม่มีงานวิจัยใดที่ศึกษาเกี่ยวกับปัจจัยนี้อย่างแน่ชัด เป็นเพียงการนำเอาปัจจัยมาแสดงให้เห็นถึงผลกระทบ ผ่านผลที่ได้จากการในแบบจำลองเชิงตัวเลขและวิธีคำนวณเชิงวิเคราะห์เท่านั้น

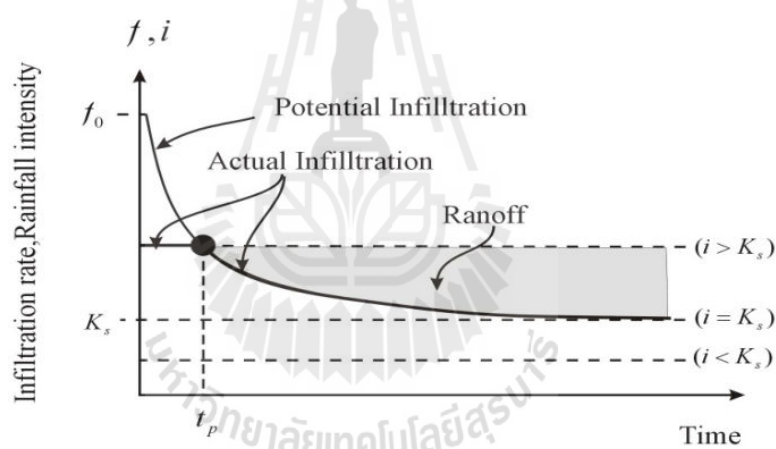
#### 2.2.4 ปัจจัยกระตุ้นภัยนอกต่อการวินาศัยในลาดดินธรรมชาติ

ปัจจัยกระตุ้นภัยนอกได้แก่ ความเข้มของฝนในพื้นที่ ช่วงเวลาในการเกิดฝน (Rainfall Duration) อัตราการระเหย (Evaporation rate) รูปแบบฝน (Rainfall pattern) เป็นต้น ในทางอุทกวิทยาเหตุการณ์ที่เกิดฝนตกลงสู่พื้นดิน สามารถแยกย่อยได้หลายระบบตามหลักการสมดุลน้ำ (Water Balance) ภายในปริมาตรควบคุม (Control Volume) ได้แก่ การไหลออกที่ผิวดิน (Surface Runoff) การไหลออกใต้ผิวดิน (Subsurface Runoff) และการระเหย ซึ่งกระบวนการย่อยเหล่านี้ถือเป็นกระบวนการที่ซับซ้อนเป็นอย่างมาก การที่จะศึกษาปัจจัยกระตุ้นภัยนอกจึงควรจะดำเนินถึงปัจจัยย่อยเหล่านี้ด้วยเช่นกัน

Horton (1933) เสนอแบบจำลองอย่างง่ายในการอธิบายความสามารถในการซึมน้ำของดินกับเวลาดังรูปที่ 2.3 โดยความสามารถในการซึม ( $f$ ) ของดินจะลดตามระยะเวลาที่เกิดฝนจากความสามารถในการซึมเริ่มต้น ( $f_0$ ) จนกระทั่งคงที่ เมื่อความสามารถในการซึมมีค่าใกล้เคียงกับความสามารถในการซึมสุดท้ายของดิน ( $f_s$ ) สามารถประมาณให้มีค่าเท่ากับค่าการนำทางชลศาสตร์ในสภาวะอั่มตัวด้วยน้ำ (Hydraulic Conductivity,  $K_s$ ) โดย Green and Ampt (1911) และ Philip (1957) จากแบบจำลองการซึมข้างต้น สามารถใช้แยกฝนที่ตกลงสู่พื้นดินออกเป็น การซึม และการไหลบนผิวดิน ดังรูปที่ 2.4 สมมุติให้ความเข้มฝน ( $i$ ) มีค่าคงที่ เมื่อฝนตกที่เวลาต่ำกว่า  $t_p$  ความสามารถในการซึมของดินจะมีค่าเท่ากับความเข้มฝน ในขณะที่เมื่อเวลาในการตกของฝนมีค่ามากกว่า  $t_p$  ความเข้มฝนจะสูงกว่าความสามารถในการซึมของดิน จึงทำให้เกิดการไหลบนผิวดินขึ้น ซึ่งจุดที่เวลาฝนตกมีค่าเท่ากับ  $t_p$  จะเรียกว่าเวลาที่เกิดน้ำขัง (Pounding time) ในขณะเดียวกัน หากความเข้มมีค่าต่ำกว่าความสามารถในการซึมสุดท้ายของดิน จะไม่มีการไหลบนผิวดินขึ้น



รูปที่ 2.3 แบบจำลองการซึม Philip (1957)



รูปที่ 2.4 ความสัมพันธ์ระหว่างการซึมและการไหลผิวดิน

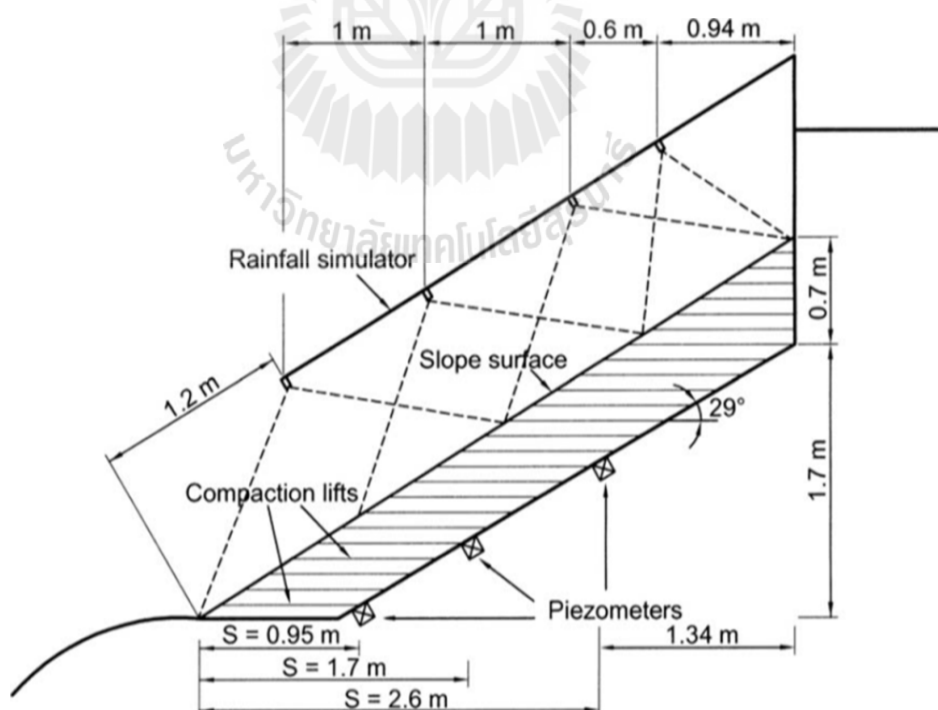
จากหลักการแยกความสามารถในการซึมและการไหลบนผิวดิน งานวิจัยนี้ใช้ในการกำหนดความเข้มฝนเบื้องต้นในการศึกษาผลกระทบจากการตอบสนองลักษณะต่อปริมาณน้ำฝน โดยจะมีการเปลี่ยนความเข้มฝนคือ ความเข้มฝนต่ำกว่าการนำทางชลศาสตร์ ( $i < K_s$ ) ความเข้มฝนเท่ากับการนำทางชลศาสตร์ ( $i = K_s$ ) และความเข้มสูงกว่าการนำทางชลศาสตร์ ( $i > K_s$ ) การศึกษานี้จะทำให้ทราบอิทธิพลของความเข้มฝน ในช่วงเวลาการเกิดฝน ทั้งการซึมและการไหลตามผิวดินตามต่อลาดคืน อีกทั้งเพื่อให้งานวิจัยนี้มีความสมบูรณ์ จึงได้นำเอาอิทธิพลของความชันของลักษณะ

ดินมาศึกษาเพิ่มเติม เนื่องจากปัญหาดินโคลนคลุ่มเป็นปัญหาเชิงพื้นที่จึงมีการกระจายความชันของลาดดินตามลักษณะภูมิประเทศ

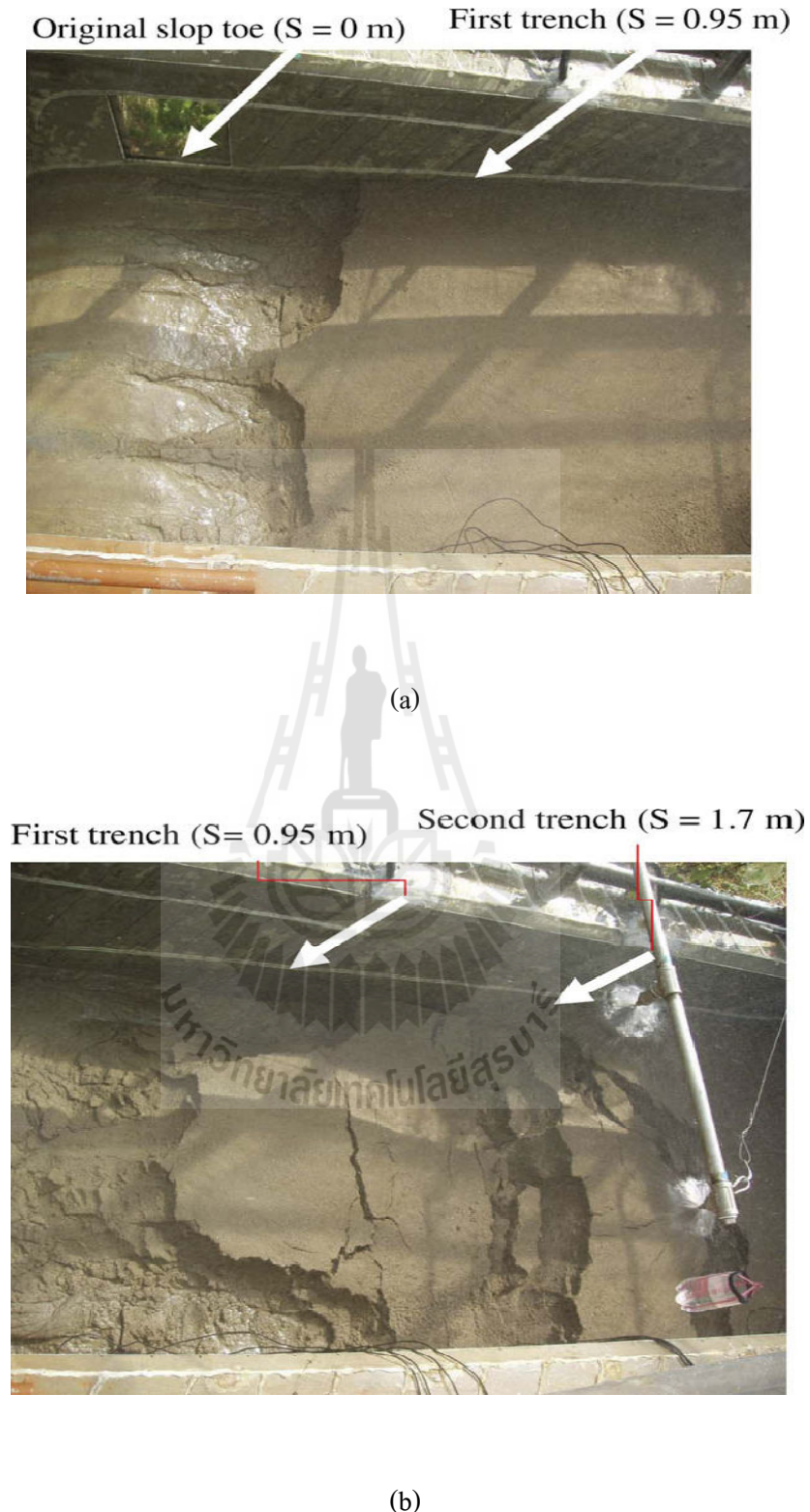
### 2.2.5 แบบจำลองภัยภุมของลาดดิน

การวิเคราะห์เสถียรภาพของลาดดินนั้นจำเป็นต้องมีการศึกษาพฤติกรรมการวิบัติที่เกิดขึ้นจริง เนื่องจากปัจจัยที่เป็นตัวกระตุ้นให้เกิดการวิบัติของลาดดิน เช่น ความเข้มน้ำฝน ระยะเวลา降雨 ความชันของพื้นที่ คุณสมบัติของดินที่แตกต่างกัน ล้วนเป็นปัจจัยที่ควบคุมไม่ได้ ดังนั้นจึงต้องมีการจำลองการวิบัติของลาดดินที่คาดว่ามีโอกาสที่จะเกิดขึ้น เพื่อให้เข้าใจพฤติกรรม และสามารถนำไปใช้แนวทางป้องกันการเกิดการวิบัติได้

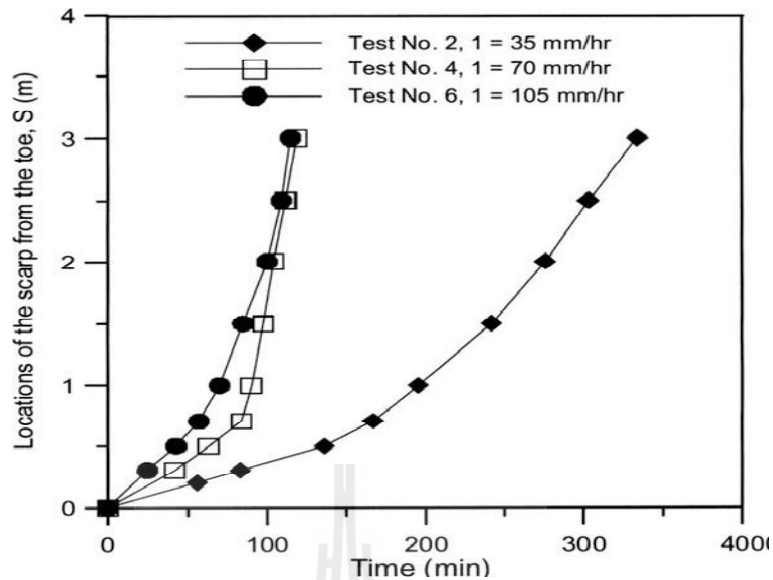
Huang et al, (2008,2009 and 2011) ศึกษาการวิบัติของลาดดินแบบ ไอล โดยจำลองลาดดินดังแสดงในรูปที่ 2.5 ที่อยู่ในสภาพรับน้ำฝนและเปลี่ยนค่าความเข้มน้ำฝนในการทดลอง พนบว่าการวิบัติของลาดดินเกิดขึ้นในสองช่วงคือเกิดขึ้นในตอนปลายของลาดดิน และเกิดขึ้นที่ตอนกลางของลาดดินในเวลาต่อมา ดังแสดงในรูปที่ 2.6 และได้ศึกษาผลของการเปลี่ยนแปลงกับเวลาที่เกิดการวิบัติของลาดดินในตำแหน่ง โดยค่าความเข้มฝนสูงจะเกิดการวิบัติเร็วกว่าค่าความเข้มฝนต่ำ ดังรูปที่ 2.7



รูปที่ 2.5 แสดงแบบจำลองลาดดินและแบบจำลองน้ำฝน Huang et al,(2009)



รูปที่ 2.6 แสดงการวินิจฉัยของลาดคิน (a) การวินิจฉัยในช่วงแรกที่ปลายลาดคิน (b) การวินิจฉัยในช่วงที่สอง ที่ต่อนกลางของลาดคิน Huang et al,(2009)



รูปที่ 2.7 แสดงช่วงเวลาการวินบัดของลาดดินHuang et al,(2009)

Lee (2011) ได้ศึกษาพฤติกรรมของลาดดินที่ตอบสนองต่อน้ำฝนโดยการจำลองลาดดินแบบ 1 มิติและ 2 มิติ ดังแสดงในรูปที่ 2.8 เพื่อสังเกตการณ์ซึ่งของน้ำฝน แล้ววัดค่าแรงดึง (suction) เปรียบเทียบกัน พบร่วมผลการทดลองทั้ง 2 แบบให้ผลการทดลองที่เหมือนกัน ดังรูปที่ 2.9 และได้ศึกษาผลของช่วงเวลาการรับน้ำฝนต่อค่าแรงดันน้ำในลาดดินที่เวลา 1 ชม. และ 24 ชม. โดยใช้คินที่แตกต่างกันในการทดลอง พบร่วมที่ 1 ชม. มีค่าแรงดันน้ำน้อยกว่าที่ 24 ชม. ดังรูปที่ 2.10 นอกจากนี้ยังสังเกตการซึมของน้ำฝนในลาดดินที่ชั้นดินมีคุณสมบัติแตกต่างกัน พบร่วมเมื่อคินชั้นล่างมีค่าการซึมน้ำน้อยกว่าชั้นบน เมื่อเกิดการซึมถึงช่วงเวลาหนึ่งแล้ว น้ำที่ซึมลงสู่ดินชั้นล่างบางส่วนจะเกิดการไหลไปตามระนาบของรอยระหว่างชั้นดิน

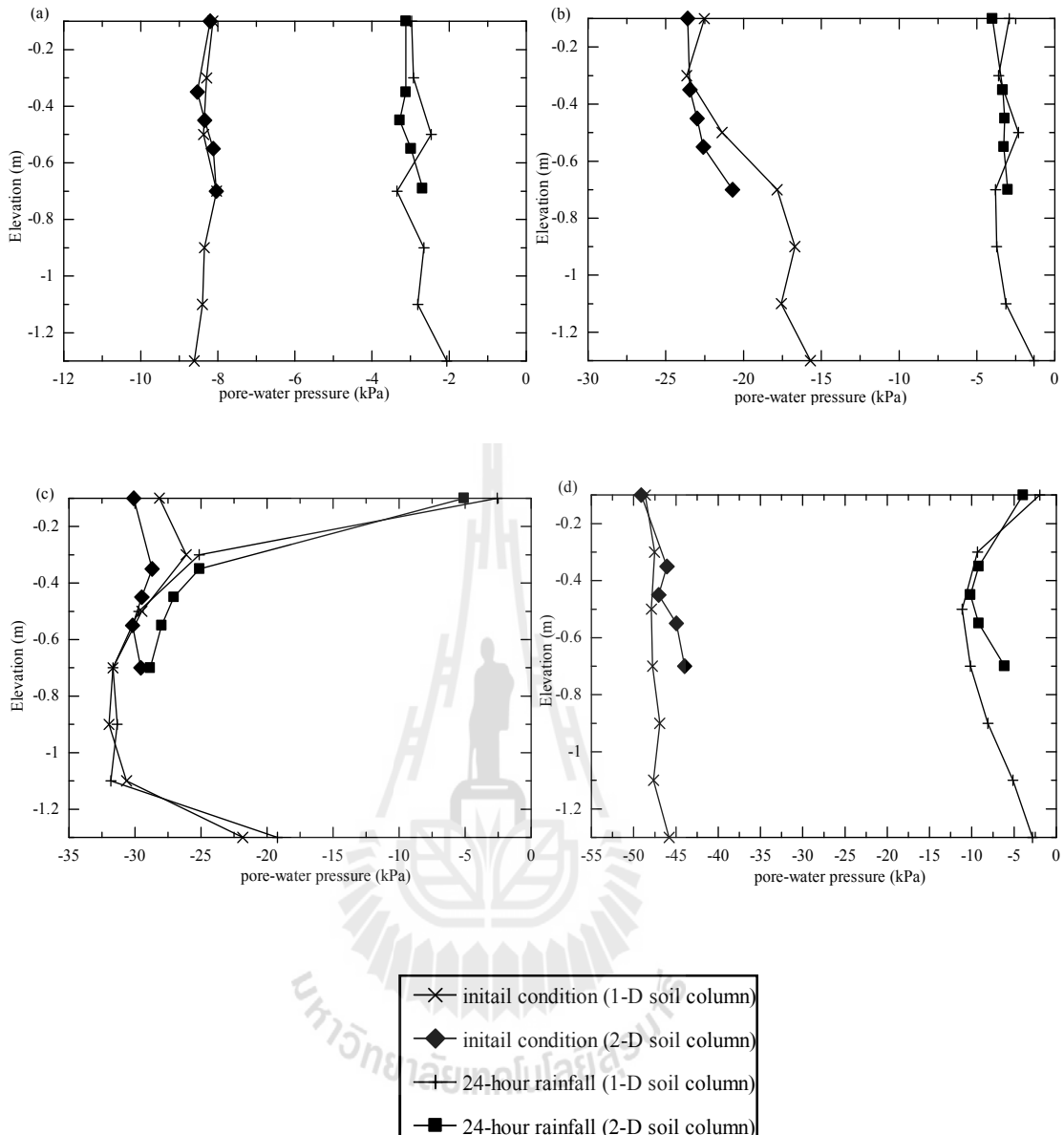


(a)

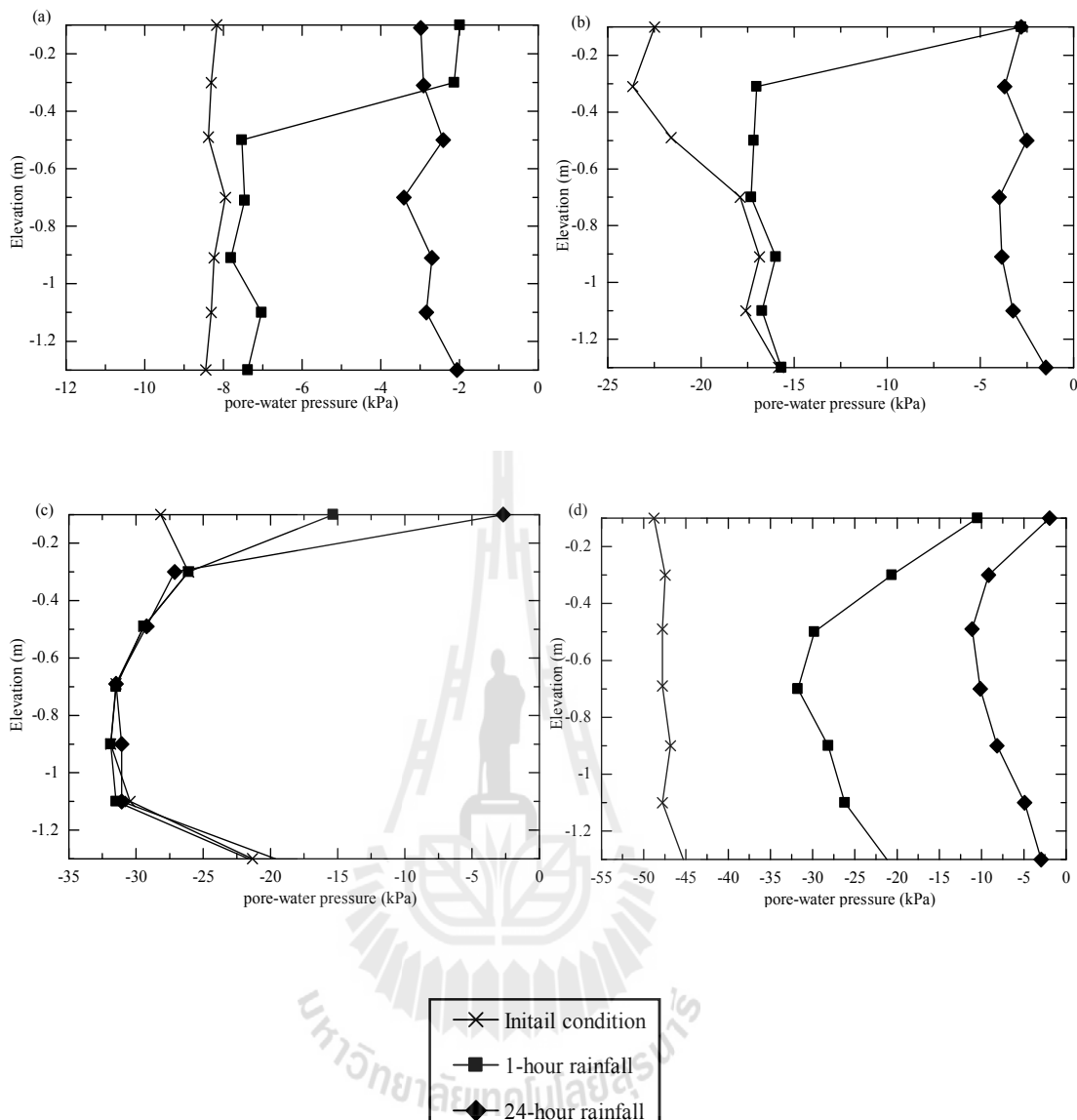


(b)

รูปที่ 2.8แสดงแบบจำลองลากดิน (a) แบบ 1 มิติ (b) แบบ 2 มิติ Lee (2011)



รูปที่ 2.9 กราฟแสดงค่าแรงดันน้ำตามความลึกของศิษ ในแบบ 1 มิติและ 2 มิติ ของ Lee (2011)



รูปที่ 2.10 กราฟแสดงความสัมพันธ์ระหว่างค่า Suction ระยะเวลาของน้ำฝน  
ที่ 1 ชั่วโมงและ 24 ชั่วโมง ของคินแต่ละชนิด Lee (2011)

งานวิจัยของ Huang Ching-Chuan เป็นต้นแบบที่ดีในการศึกษาผลกระทบที่เกิดจากความเข้มฝน แต่จากที่ได้กล่าวมาแล้วว่าการวินบัดส่วนใหญ่เป็นแบบการลื่นไถลลงมาตามระบบการเคลื่อนที่ (Translational Slides) จึงไม่สอดคล้องกับงานวิจัย ดังนั้นจึงใช้การเปลี่ยนแปลงค่าปริมาณความเข้มฝนมาประยุกต์ให้สอดคล้องกับรูปแบบ\data\คินที่มีแนวโน้มจะเกิดกริบบิตแบบการลื่นไถลลงมาตามระบบการเคลื่อนที่ (Translational Slides) และงานวิจัยของ Lee Min Lee ที่พบว่าการซึมในแบบ 1 มิติให้ผลเหมือนกันกับแบบ 2 มิติ อาจเป็นเพราะในแบบ 2 มิติ

ด้านข้างมีความทึบนำจึงทำให้ดูเหมือนมีการซึมในแนวตั้งเพียงทางเดียว และอาจเป็นเพราะมีชัน  
ความชันเพียง 15 องศาจึงทำให้ผลที่ได้ไม่แตกต่างกัน เพราะฉะนั้นจึงควรพิจารณาผลจากความชัน  
ที่แตกต่างกันของแต่ละพื้นที่ร่วมด้วย



## บทที่ 3

### วิธีการดำเนินงานวิจัย

#### 3.1 บทนำ

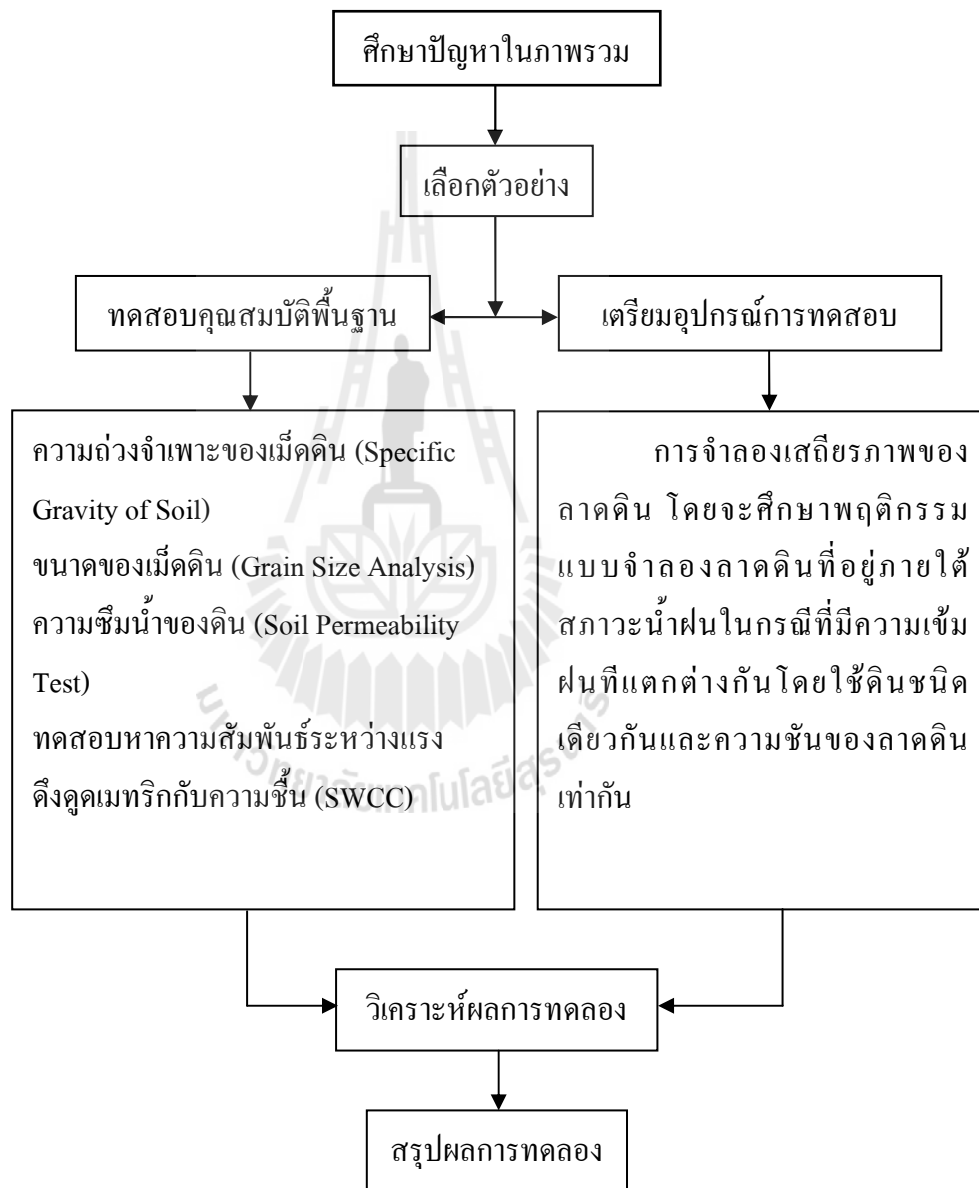
งานวิจัยนี้มีวัตถุประสงค์เพื่อศึกษาอิทธิพลของความชื้นฝนต่อการตอบสนองทางชลศาสตร์และเสถียรภาพของลาดดินตื้นด้วยการทดสอบแบบจำลองทางกายภาพ ในการศึกษานี้ได้สร้างแบบจำลองลาดดิน และสร้างแบบจำลองน้ำฝนในห้องปฏิบัติการ เพื่อคุณติกรรมของลาดดินที่อยู่ในสภาพแวดล้อมจริง โดยได้นำปัจจัยที่เป็นตัวกระตุ้นที่มีผลต่อการเกิดการวินาศัยของลาดดินมาใช้ในการศึกษาพฤติกรรมของลาดดินที่ตอบสนองต่อปัจจัยกระตุ้นดังกล่าววิธีการดำเนินการวิจัยแสดงดังรูปที่ 3.1

#### 3.2 การสร้างแบบจำลองลาดดินและการสร้างแบบจำลองน้ำฝน

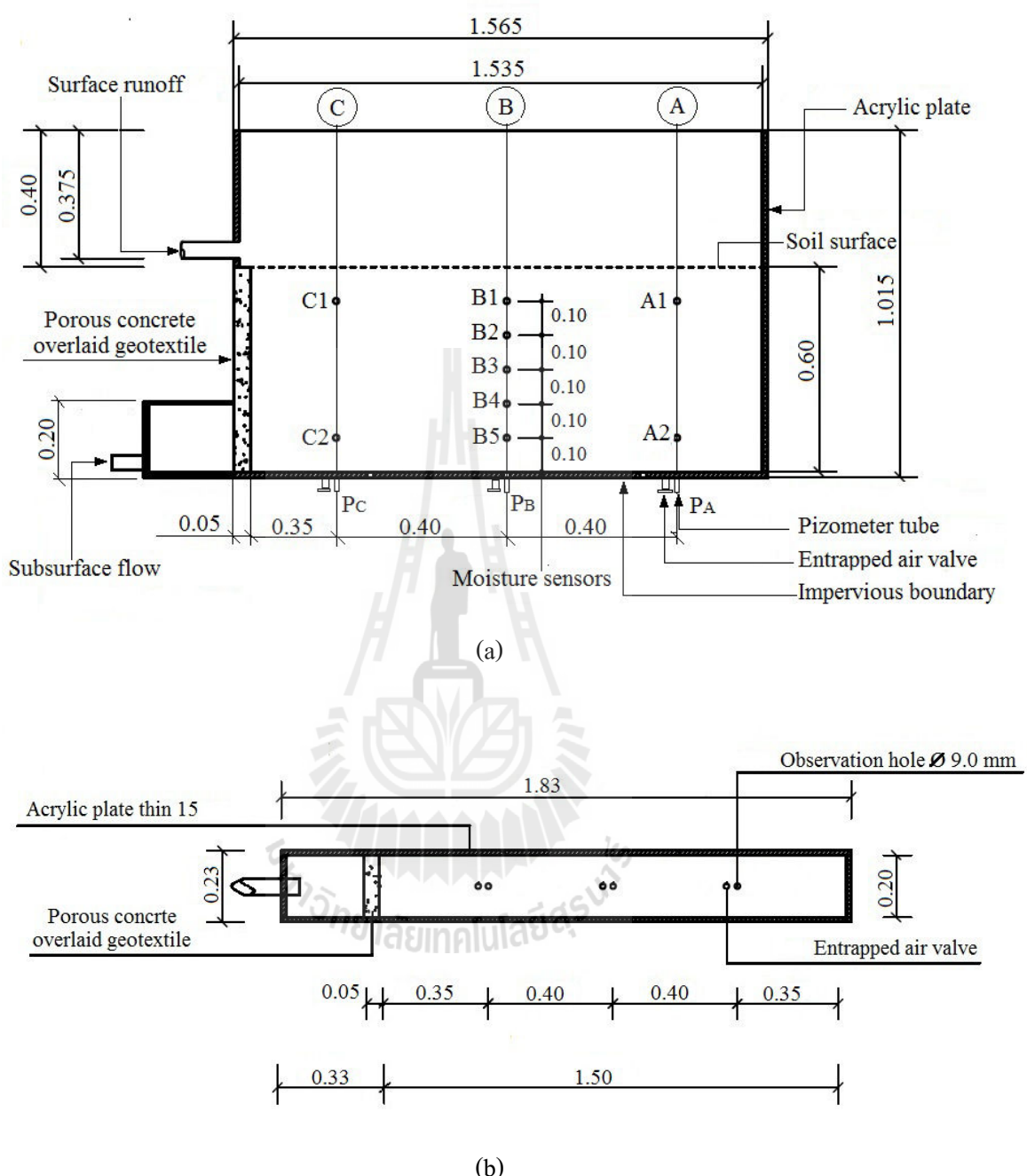
##### 3.2.1 รายละเอียดของแบบจำลองลาดดิน

ประกอบไปด้วยส่วนที่เป็นกล่องทดสอบสี่เหลี่ยมผืนผ้าเพื่อใช้บรรจุดินตัวอย่างที่จะใช้ในการทดสอบ ซึ่งทำด้วยอะคริลิคใส่มีความหนา 15 มิลลิเมตร เพื่อให้ง่ายต่อการมองเห็นและสังเกตพฤติกรรมการซึมของน้ำฝนอย่างชัดเจน มีขนาดกว้าง 200 มิลลิเมตร ยาว 1500 มิลลิเมตร และสูง 1000 มิลลิเมตร ด้านหลังของกล่องทดสอบเจาะรูขนาด 9 มิลลิเมตร 5 รู มีระยะห่างจากกัน 100, 200, 300, 400 และ 500 มิลลิเมตรตามลำดับ เพื่อติดตั้งตัววัดความชื้น (sensor) ส่วนด้านข้างที่ติดป้ายของลาดดินมีแผ่นคอนกรีตพรุน (porous concrete overlaid geotextile) หนา 50 มิลลิเมตร สูง 600 มิลลิเมตรและกว้าง 210 มิลลิเมตรกันไว้เพื่อให้น้ำในลาดดินสามารถไหลซึมออกได้ โดยนำที่ไอลซึมออกมาจะไหลลงสู่กล่องรับน้ำอยู่ต่อนป้ายของลาดดินมีขนาดกว้าง 200 มิลลิเมตร ยาว 300 มิลลิเมตรและสูง 200 มิลลิเมตร เพื่อรักปริมาณฝนที่ซึมลงสู่ลาดดินทุกๆ 5 นาที ด้วยระบบอุ่นตัวขนาด 2000 มิลลิลิตร ตลอดระยะเวลาการทดสอบ โดยมีโครงเหล็กรัดตัวกล่องอะคริลิกเพื่อป้องกันการแอ่นด้วยหรือการเคลื่อนของอะคริลิกเพื่อไม่ให้เกิดการรั่วซึมของน้ำ กล่องทดสอบจะเชื่อมต่อกับฐานด้วยเพลาเพื่อใช้ในการปรับเปลี่ยนองศาความลาดชันของลาดดิน เพื่อที่จะตรวจสอบการเปลี่ยนแปลงของระดับน้ำได้ดี พื้นของกล่องทดสอบเจาะรูขนาด 10 มิลลิเมตร 3 รู มีระยะห่างจากป้ายของลาดดิน 350, 750 และ 1125 มิลลิเมตรตามลำดับ เพื่อติดตั้งตัววัดระดับน้ำได้ดี (Pizometer) ด้วยท่อพลาสติกใสขนาดเส้นผ่าศูนย์กลาง 8 มิลลิเมตร สังเกต

การเปลี่ยนแปลงและบันทึกค่าของระดับน้ำได้ดินทุกๆ 5 นาทีตลอดการทดสอบ นอกจากนี้ยังติดตัวล้ออีก 3 ตัว ที่ด้านล่างของกล่องทดสอบ ใกล้ๆ กับตัววัดระดับน้ำได้ดินสำหรับໄล่อากาศที่อยู่ในภาชนะดินขณะที่นำกำลังซึ่มลงสู่ภาชนะ ที่อาจทำให้เกิดการดักจับของอากาศเป็นสาเหตุให้ค่าความชื้นคลาดเคลื่อนได้ ซึ่งได้แสดงรายละเอียดของกล่องทดสอบอะคริลิกไว้ในรูปที่ 3.2



รูปที่ 3.1 แผนการดำเนินงานวิจัย



รูปที่ 3.2 แสดงรายละเอียดของกล่องทดสอบภาคดิน (a) รายละเอียดกล่องทดสอบจากด้านหน้า  
 (b) รายละเอียดกล่องทดสอบจากด้านบน

### 3.2.2 รายละเอียดของแบบจำลองน้ำฝน

แบบจำลองน้ำฝนถูกติดตั้งไว้เหนือแบบจำลอง\data\clim\ช่องประกอบไปด้วย ถังเก็บน้ำขนาด 2000 ลิตร ปั๊มน้ำแบบความดันคงที่ วาล์วควบคุมการไหลของน้ำ มาตรวัดความดันน้ำ ท่อพลาสติกขนาดเส้นผ่านศูนย์กลาง 40 มิลลิเมตร และหัวสเปรย์ขนาดเล็ก น้ำจะถูกส่งจากถังเก็บน้ำขนาด 2000 ลิตร โดยอาศัยแรงดันจากปั๊มน้ำความดันคงที่ ซึ่งถูกควบคุมปริมาณน้ำเข้าด้วยวาล์ว และมาตรวัดแรงดันดันน้ำ ก่อนส่งผ่านเข้าไปในท่อพลาสติกที่ติดหัวสเปรย์ที่ปล่อยน้ำออกให้คล้ายกับลักษณะการกระจายของน้ำฝนที่ตกลงสู่ภาคดิน โดยท่อพลาสติกที่ปล่อยน้ำฝนแต่ละเส้นนั้นจะมีระยะห่างระหว่างหัวสเปรย์แต่ละตัวเท่ากัน 300, 450, 600 และ 900 มิลลิเมตร ทำให้ได้ค่าปริมาณความเข้มฝนอยู่ในช่วงระหว่าง 30 และ 450 มิลลิเมตรต่อชั่วโมง ใช้ความดันอยู่ในช่วงระหว่าง 10 และ 45 ปอนด์ต่อตารางนิว เมื่อทำการทดสอบจะเลือกจากระยะห่างของหัวสเปรย์ที่สามารถให้ค่าปริมาณความเข้มฝนที่ต้องการได้จากการสอนเทียบความสมำเสมอของความเข้มฝน โดยใช้กระปอง 35 ใบวางไว้ด้านบนของกล่องทดสอบจะที่ปล่อยน้ำฝนเพื่อวัดปริมาณน้ำฝนกับเวลา นำมาสร้างความสัมพันธ์ระหว่างปริมาณความเข้มฝนกับความดันซึ่งได้แสดงไว้ในรูปที่ 3.3 จากผลการสอนเทียบของความสมำเสมอของปริมาณน้ำฝนในช่วงของปริมาณความเข้มฝนทั้งหมด คำนวณหาค่าสัมประสิทธิ์ของความสมำเสมอ ( $C_u$ ) จากสมการที่ 5

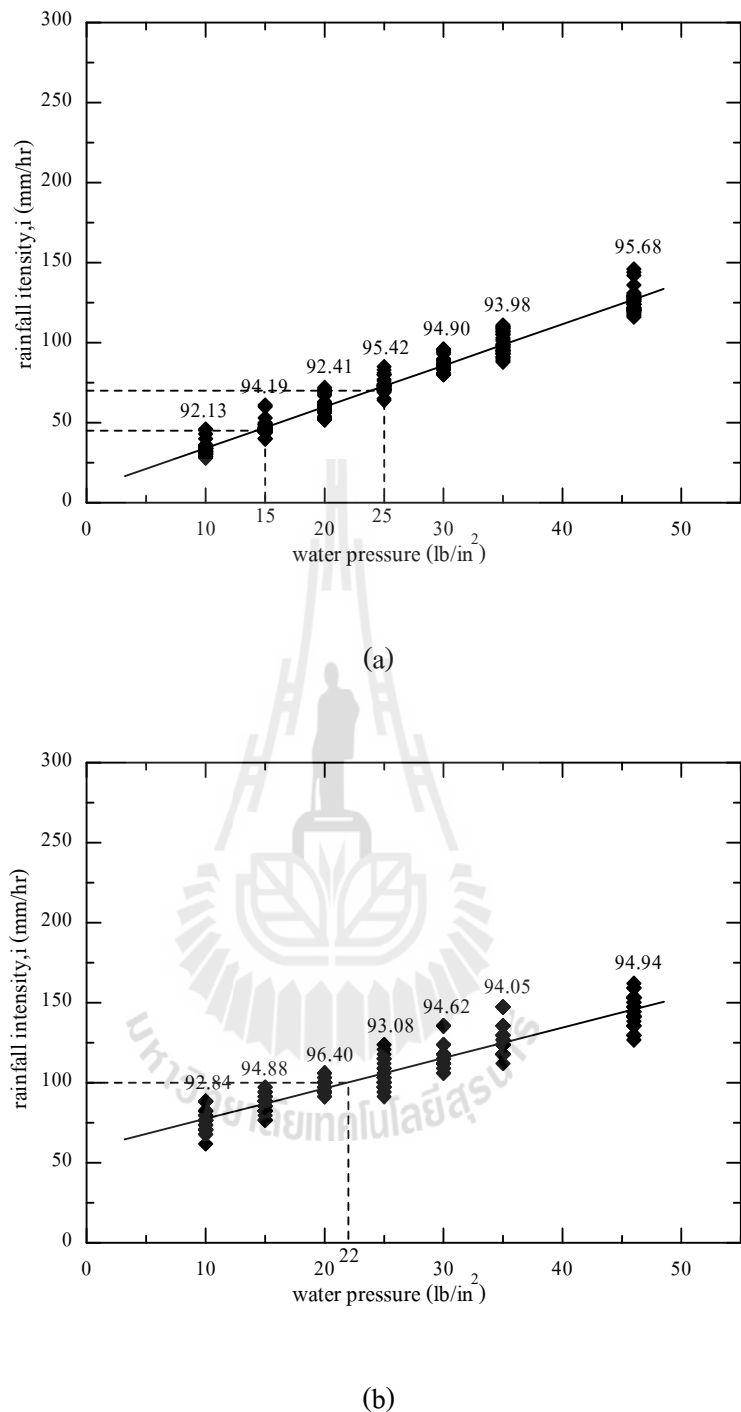
$$C_u = 1 - \frac{\sum_{i=1}^n I_i - I_m}{\sum_{i=1}^n I_i} \quad (3.1)$$

เมื่อ  $I_i$  ปริมาณความเข้มฝนที่วัดได้ของแต่ละกระปอง

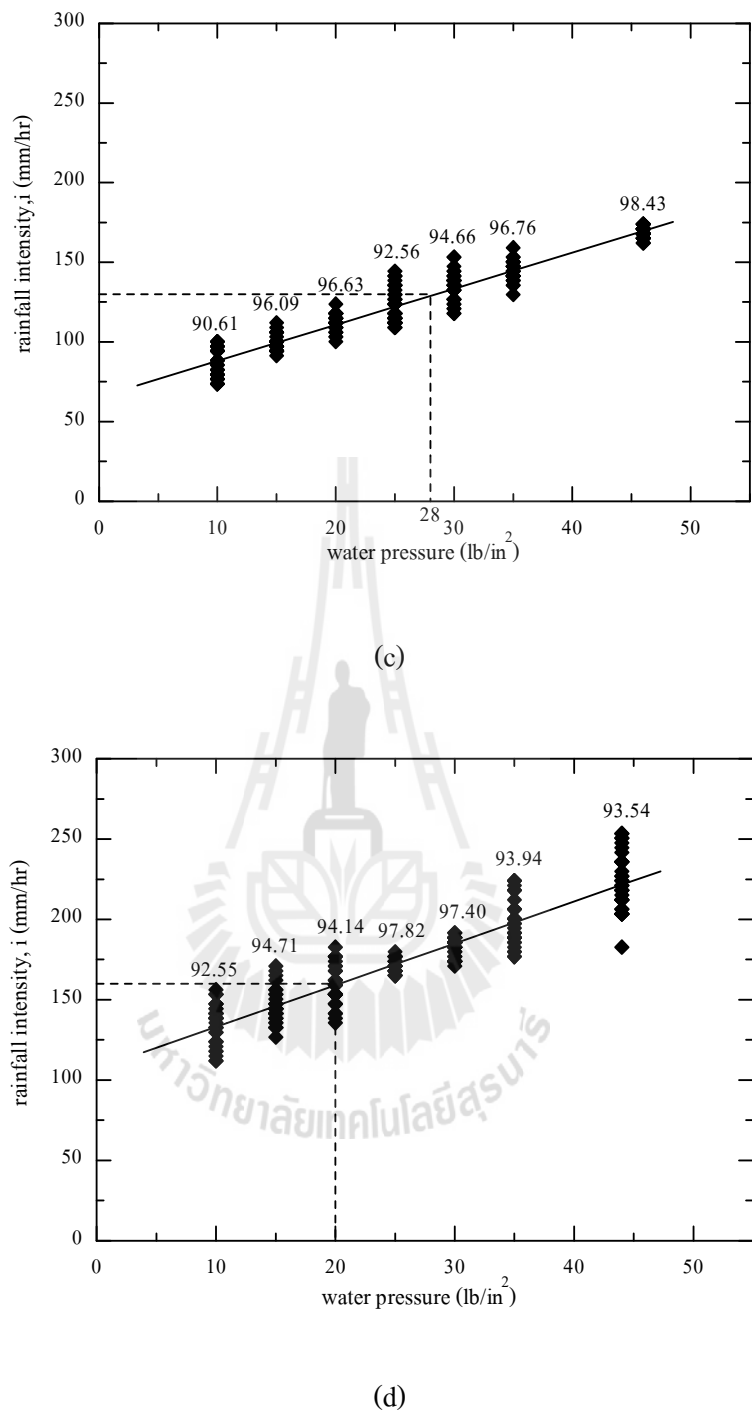
$I_m$  ปริมาณความเข้มฝนเฉลี่ยที่วัดได้ของทุกกระปอง

$n$  จำนวนกระปองทั้งหมด

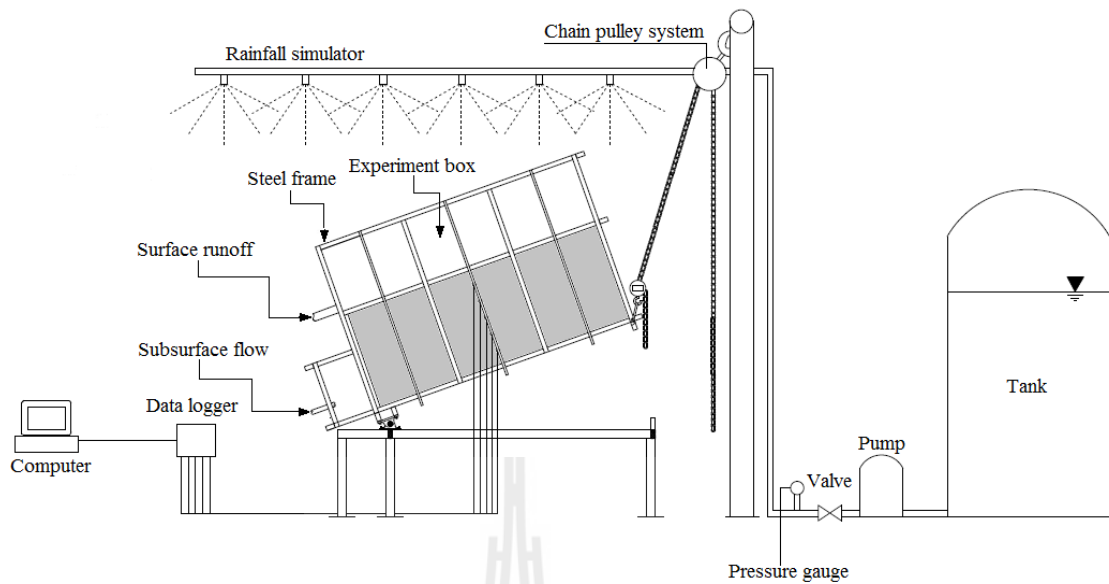
ได้ค่าอยู่ในช่วงระหว่าง 90% และ 99% ซึ่งแสดงให้เห็นว่าแบบจำลองน้ำฝนนี้มีความน่าเชื่อถือที่จะนำมาใช้ในการทดสอบได้ โดยแสดงแผนผังของแบบจำลองการทดสอบทั้งหมดไว้ในรูปที่ 3.4 และแสดงภาพถ่ายของแบบจำลอง\data\clim\ช่องประกอบไว้ในรูปที่ 3.5



รูปที่ 3.3 แสดงความสัมพันธ์ระหว่างปริมาณความเข้มฝนกับความดัน (a) ทดสอบที่ความเข้มฝน 45 และ 70 มิลลิเมตรต่อชั่วโมง (b) ทดสอบที่ความเข้มฝน 100 มิลลิเมตรต่อชั่วโมง (c) ทดสอบที่ความเข้มฝน 130 มิลลิเมตรต่อชั่วโมง และ (d) ทดสอบที่ความเข้มฝน 70 มิลลิเมตรต่อชั่วโมง



รูปที่ 3.3 แสดงความสัมพันธ์ระหว่างปริมาณความเข้มฝนกับความดัน (a) ทดสอบที่ความเข้มฝน 45 และ 70 มิลลิเมตรต่อชั่วโมง (b) ทดสอบที่ความเข้มฝน 100 มิลลิเมตรต่อชั่วโมง (c) ทดสอบที่ความเข้มฝน 130 มิลลิเมตรต่อชั่วโมง และ (d) ทดสอบที่ความเข้มฝน 70 มิลลิเมตรต่อชั่วโมง (ต่อ)



รูปที่ 3.4 แสดงแผนผังของแบบจำลองการทดสอบ



รูปที่ 3.5 แสดงภาพถ่ายของแบบจำลองลากดิน

### 3.3 การติดตั้งอุปกรณ์ตรวจวัดความชื้น (sensor) และการสอบเทียบ

#### 3.3.1 ตัววัดความชื้น (sensor)

หัววัด (sensor) รุ่น EC-5 และหัววัด (sensor) รุ่น 5TE แสดงดังรูปที่ 3.7 เป็นอุปกรณ์ที่สามารถวัดความชื้น ด้วยวิธี Frequency Domain Reflectometry (FDR) ซึ่งอาศัยหลักความต่างสักยีไฟฟ้า

เครื่องบันทึกข้อมูล (data logger) รุ่น EM50 แสดงดังรูปที่ 3.8 มีช่องสำหรับต่อเข้ากับหัววัด 5 ช่อง สามารถกำหนดระยะเวลาในการวัดค่าได้ ตั้งแต่ 1 นาทีต่อครั้ง จนถึง 24 ชั่วโมงต่อครั้ง มีโปรแกรมสำเร็จรูปแบบปฏิบัติการบน Windows ลงบนคอมพิวเตอร์ ข้อมูลที่ได้จากเครื่องบันทึกข้อมูลแสดงค่าความชื้นโดยปริมาตร  $\theta'$  (%)



รูปที่ 3.6 หัววัด (sensor) (a) หัววัด (sensor) รุ่น EC-5 (b) หัววัด (sensor) รุ่น 5ET



รูปที่ 3.7 เครื่องบันทึกข้อมูล (data logger) รุ่น EM50

### 3.3.2 การสอนเทียบตัววัดความชื้น

ค่าปริมาณความชื้นที่ได้จากการตัววัดความชื้นจะต้องได้รับการสอนเทียบกับดินที่ใช้ในการทดสอบก่อน ทำการสอนเทียบด้วยการฝังตัววัดความชื้นลงในแบบทรงกระบอกขนาดเส้นผ่านศูนย์กลาง 150 มิลลิเมตร ที่บดอัดดินไว้ภายใน ซึ่งทราบความหนาแน่นแห้งและปริมาณความชื้นในมวลดิน นำค่าดังกล่าวมาหาค่าความชื้นตามสมการที่ 6

$$\theta_w = w \frac{\gamma_d}{\gamma_w} \quad (3.2)$$

เมื่อ  $w$  ปริมาณความชื้นของน้ำในมวลดิน (%)

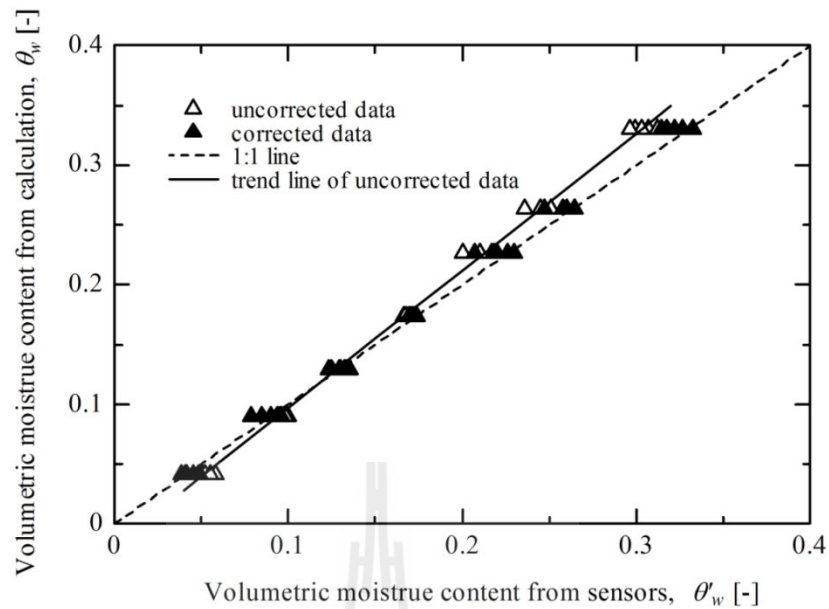
$\gamma_d$  หน่วยน้ำหนักของดินแห้ง (อยู่ในช่วง 1.60 – 1.70 กรัมต่อกรัมเศษติเมตร)

$\gamma_w$  หน่วยน้ำหนักของน้ำ (เท่ากับ 1 กรัมต่อกรัมเศษติเมตร)

รูปที่ 3.8 แสดงความสัมพันธ์ระหว่างค่าความชื้นที่ได้จากการคำนวณกับค่าความชื้นที่อ่านได้จากการตัววัดความชื้น จากการสังเกตจะพบว่าค่าความชื้นที่ได้จากการคำนวณกับค่าที่อ่านได้จากการตัววัดความชื้นมีค่าต่างกัน ดังนั้นจึงต้องปรับแก้ค่าความชื้นที่ได้จากการตัววัดความชื้นเพื่อให้ได้ค่าที่ใกล้เคียงกับค่าที่ได้จากการคำนวณโดยปรับแก้จากการที่ 7

$$\theta_w = 1.116\theta'_w - 0.016 \quad (3.3)$$

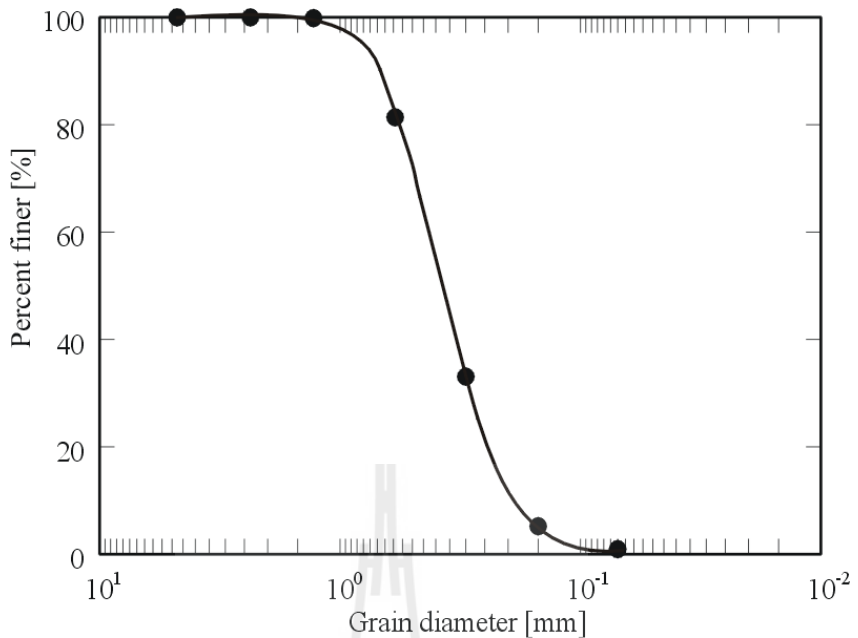
เมื่อ  $\theta'_w$  ค่าความชื้นที่ได้จากการ



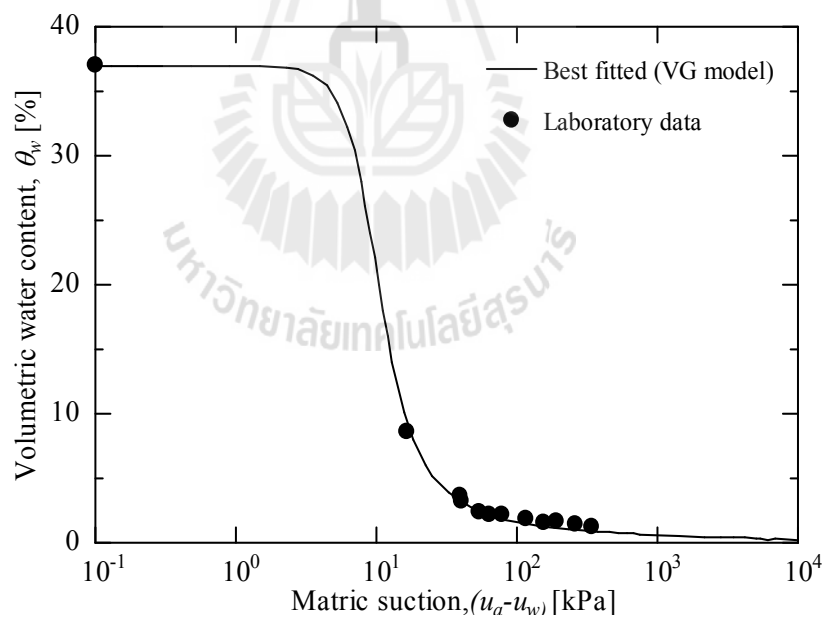
รูปที่ 3.8 ความสัมพันธ์ระหว่างความชื้นที่ได้จากการคำนวณกับความชื้นที่ได้จากตัววัดความชื้น (sensor)

### 3.4 มาตรฐานการทดสอบคุณสมบัติพื้นฐานของดินตัวอย่าง

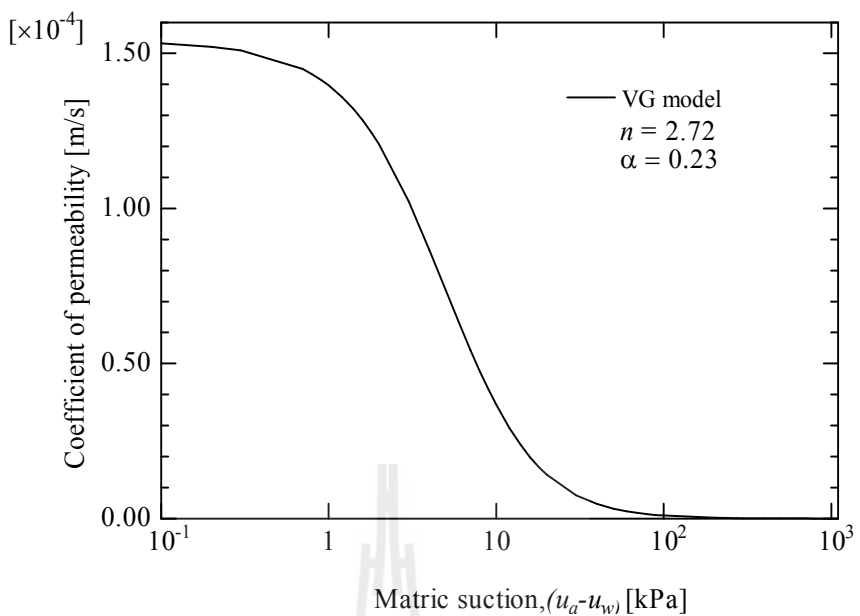
คุณสมบัติพื้นฐานของดินเป็นตัวแปรที่มีความสำคัญอย่างยิ่งต่อการวิเคราะห์ปัญหาทางวิศวกรรม ในการศึกษาวิจัยครั้นนี้ดินตัวอย่างที่นำมาใช้ในการทดสอบ คือ ดินราย ทำการทดสอบหาค่าคุณสมบัติพื้นฐานของดินตามมาตรฐาน ASTM ดังนี้ รูปที่ 3.10 แสดงการจำแนกขนาดคละของดินตัวอย่างการกระจายของเม็ดดินจากการจำแนกตามระบบเอกภพ (USCS) ตามมาตรฐาน ASTM D2487 ดินตัวอย่างที่ทดสอบนี้จัดเป็นดินรายที่มีขนาดคละกันดี (SW) หากความถ่วงจำเพาะของดินตามมาตรฐาน ASTM D854 ค่าสัมประสิทธิ์การซึมผ่านตามมาตรฐาน ASTM D 2434 – 68 และทดสอบหาความสัมพันธ์ระหว่างแรงดึงดูดเมทริกกับความชื้น (SWCC) โดยวิธีหม้อแรงดัน ทดสอบตามมาตรฐาน ASTM D6836 – 02 แสดงความสัมพันธ์ระหว่างแรงดึงดูดเมทริกกับความชื้นดินไว้ในรูปที่ 3.12 และได้คำนวณความสามารถในการซึมผ่านของดินจากสมการของ Van Genuchten (van Genuchten 1980) โดยได้แสดงไว้ในรูปที่ 3.13 และแสดงคุณสมบัติทั้งหมดของดินดังตารางที่ 3.1



รูปที่ 3.9 แสดงการจำแนกขนาดและการกระจายของเม็ดดิน



รูปที่ 3.10 ความสัมพันธ์ระหว่างแรงดึงดูดเมทริกกับความชื้นดิน (SWCC)



รูปที่ 3.11 แสดงความสามารถในการซึมผ่านของดินที่ใช้ในการศึกษา

ตารางที่ 3.1 แสดงการทดสอบคุณสมบัติของดิน

Unified soil classification system	SW
Specific gravity, $G_s$	2.73
Grain size distribution	
$D_{60}$ (mm)	0.4
$D_{30}$ (mm)	0.26
$D_{10}$ (mm)	0.17
Coefficient of uniformity, $C_u$	2.35
Coefficient of curvature, $C_c$	1.00
Dry density, $\rho_d$ ( $Mg/m^3$ )	1.687
Saturated permeability, $k_s$ (m/s)	1.56E-04
Porosity, $\eta$	0.37
Void ratio	0.67

### 3.5 ขั้นตอนการทดสอบ

#### 3.5.1 เตรียมดิน

การเตรียมดินภายในกล่องทดสอบเป็นสิ่งสำคัญมากที่จะทำให้ดินจำนวนมากเป็นเนื้อเดียวกัน การเตรียมดินครั้งแรกทิ้งไว้ท่ออากาศแห้งและพลิกกลับเป็นเวลา 14 วัน จนดินที่ได้รับอย่างสม่ำเสมอความชื้นเป็น 3% ของน้ำหนักดินแห้งซึ่งสอดคล้องกับปริมาณความชื้นที่เหลือของ SWCC ของดิน หลังจากนั้นดินบดอัดอย่างรอบคอบภายในกล่องทดสอบแบ่งออกเป็น 10 ชั้นในแนวนอนซึ่งแต่ละชั้นมีความหนา 60 มิลลิเมตร น้ำหนักของดินที่ถูกควบคุมในแต่ละชั้นซึ่งหน่วยน้ำหนักแห้งเท่ากับ 1.69 กรัมต่อกรัมบาศก์เซนติเมตร และอัตราการซึ่งว่างของ 0.67 ในระหว่างกระบวนการบดบดดินนั้นได้คิดตั้งตัววัดความชื้น (sensor) ที่ผ่านการสอบเทียบแล้วกับรูที่อยู่ด้านหลังกล่องทดสอบด้วย

#### 3.5.2 เงื่อนไขการทดสอบ

แบบจำลองสองมิติได้รับการออกแบบเพื่อที่จะศึกษาผลของปริมาณความเข้มฝน ความเข้มในการตอบสนองต่อความชื้นของลักษณะดินที่มีความสามารถในการซึมผ่านสูง ซึ่งมีทั้งหมด 5 ทดสอบ แต่ละการทดสอบใช้ค่าปริมาณความเข้มฝนที่แตกต่างกัน ในการทดสอบแต่ละครั้งถูกกำหนดปริมาณความเข้มฝนในช่วงที่ต่ำกว่าการซึมผ่านอิ่มด้วยของดินคือ 45, 70, 100, 130, 160 มิลลิเมตรต่อชั่วโมง การทดลองทั้งหมดใช้รูปแบบการซึมผ่านอิ่มด้วยของดินที่ 20 องศา ปริมาตรความชื้นเริ่มต้นของดินอยู่ระหว่าง 0.40 ถึง 0.50 โดยใช้ระยะเวลาในการทดสอบ 9 ชั่วโมงสำหรับการทดสอบที่ 1 และ 8 ชั่วโมงในการทดสอบที่ 2, 3, 4 และ 5 โดยเงื่อนไขการทดสอบได้แสดงไว้ในตารางการทดสอบที่ 3.2 แสดงคุณสมบัติของแต่ละการทดลอง

ตารางที่ 3.2 แสดงคุณสมบัติของแต่ละการทดลอง

Experiment No.	Rainfall, $i$ (mm/hr)	Rainfall duration, $t$ (hr)	Slope angle, $\alpha$ (degrees)	$\rho$ ( $\text{g/cm}^3$ )
1	45	9		
2	70	8		
3	100	8	20	1.687
4	130	8		
5	160	8		

## บทที่ 4

### การทดสอบและวิเคราะห์ผล

#### 4.1 บทนำ

ผลการทดสอบ และวิเคราะห์อิทธิพลของความเข้มฝน และกลไกการเพิ่มขึ้นของความชื้นในภาคคืนที่ตรวจวัดได้จากการทดสอบด้วยแบบจำลองทางกายภาพขนาดใหญ่ ภายใต้เงื่อนไขของความเข้มฝนที่แตกต่างกัน ได้ถูกนำเสนอแยกตามหัวข้อดังนี้

#### 4.2 การตอบสนองของความชื้นในดิน

ผลการตอบสนองของปริมาตรความชื้นในดินระหว่างการทดสอบ ได้แสดงไว้ในรูปที่ 4.1 ค่าความชื้นจากการทดสอบทั้งหมด ได้จากการทดสอบด้วยแบบจำลองทางกายภาพขนาดใหญ่ ภายใต้เงื่อนไขของความชื้นที่ถูกติดตั้งไว้ที่ตำแหน่งกึ่งกลางของแบบจำลองภาคคืน ซึ่งอยู่ในระดับความลึกที่แตกต่างกันจากผิวพื้น B1, B2, B3, B4 และ B5 อยู่ห่างจากผิวดิน 100, 200, 300, 400 และ 500 มิลลิเมตร ตามลำดับ

รูปที่ 4.1 (a) แสดงให้เห็นถึงการเปลี่ยนแปลงปริมาตรความชื้นต่อเวลา สำหรับปริมาณความเข้มฝน 45 มิลลิเมตรต่อชั่วโมง ( $i = 45 \text{ mm/hr}$ ) ปริมาตรความชื้นเริ่มต้นของดินมีค่าใกล้เคียงกันอยู่ในช่วง 0.041 ถึง 0.045 (ค่าของระดับความอิ่มตัวที่คำนวณได้อยู่ระหว่างร้อยละ 3 ถึง 5 ของค่าความชื้นเริ่มต้น) หลังจากเริ่มปล่อยน้ำฝนตัววัดความชื้นที่ตำแหน่ง B1 (sensor B1) ตอบสนองครั้งแรกเมื่อเวลาผ่านไป 30 นาที จากนั้นฟันที่ตอกลงสู่ภาคคืนทำให้แผ่นความชื้นที่ผิวน้ำดินเคลื่อนตัวลงสู่ภาคคืน การเปลี่ยนแปลงของปริมาตรความชื้นเกิดขึ้นอย่างรวดเร็วจากความชื้นเริ่มต้นและคงที่ที่ 0.225 (ค่าของระดับความอิ่มตัวที่คำนวณได้เท่ากับร้อยละ 55 ของค่าความชื้นเริ่มต้น) ตัววัดความชื้นที่ตำแหน่ง B2 และ B3 เริ่มตอบสนองต่อความชื้นที่เคลื่อนตัวลงมาเมื่อเวลาผ่านไป 60 และ 90 นาทีตามลำดับ โดยค่าปริมาตรความชื้นคงที่ตลอดการทดสอบที่ 0.225 ซึ่งใกล้เคียงกับค่าปริมาตรความชื้นที่ตำแหน่ง B1

การเปลี่ยนแปลงความชื้นที่วัดได้จากการทดสอบด้วยแบบจำลองทางกายภาพขนาดใหญ่ อยู่ห่างจากผิวดิน 400 และ 500 มิลลิเมตร พบร่วงเกิดการเปลี่ยนแปลงของปริมาตรความชื้นเกิดขึ้นสองช่วง คือในช่วงแรกเมื่อเริ่มการทดสอบไป 120 และ 150 นาที สำหรับตัววัดความชื้นที่ตำแหน่ง B4 และ B5 ตามลำดับ ตัววัดความชื้นทั้งสองตัววัดค่าปริมาตรความชื้นได้ใกล้เคียงกันที่ 0.225 จากการเคลื่อน

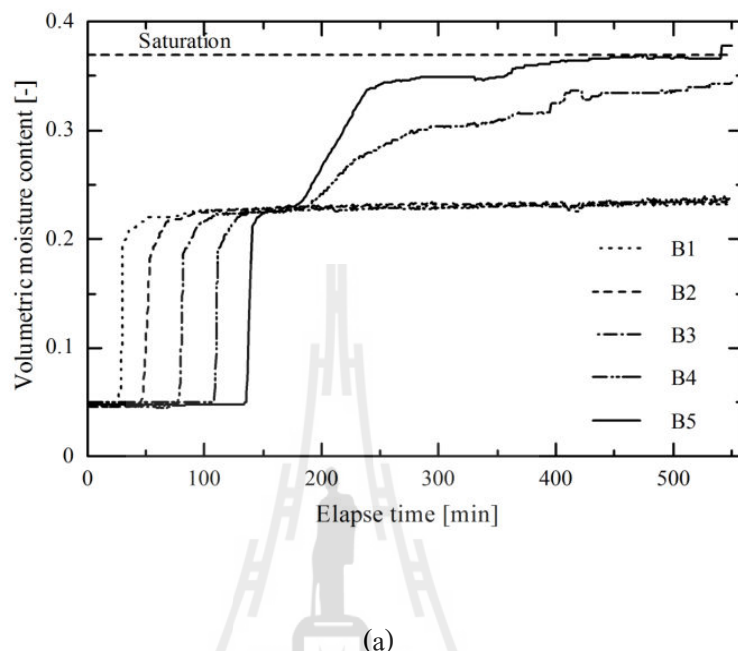
ตัวของแผ่นความชื้นลงสู่ด้านล่างของลาดคิน เนื่องจากพื้นของกล่องทดสอบไม่สามารถระบายน้ำได้ ดังนั้นน้ำที่ซึมลงสู่ด้านล่างของลาดคินเกิดการสะสมและเพิ่มระดับขึ้นอย่างต่อเนื่อง เป็นสาเหตุให้เกิดการตอบสนองของตัววัดความชื้นที่ตำแหน่ง B5 เมื่อเวลาผ่านไป 180 นาที ทำให้ปริมาตรความชื้นเพิ่มขึ้นอย่างต่อเนื่องจาก 0.225 ถึง 0.360 (ร้อยละ 98 ของค่าความอิ่มตัว) ซึ่งใกล้เคียงกับค่าปริมาตรความชื้นที่สภาวะอิ่มตัวของดิน เมื่อระดับน้ำได้ดินเพิ่มขึ้นเกินตัววัดความชื้นที่ตำแหน่ง B5 จากนั้นตัววัดความชื้นที่ตำแหน่ง B4 (sensor B4) ตอบสนองที่เวลาประมาณ 190 นาที มีการเพิ่มขึ้นของปริมาตรความชื้นจาก 0.225 ถึง 0.30 (ร้อยละ 70 ของค่าความอิ่มตัว)

รูปที่ 4.2 (a) แสดงการเปลี่ยนแปลงปริมาตรความชื้นตามความลึกของลาดคิน ในช่วงเวลาที่ปล่อยน้ำฝนสำหรับความเข้มฝนเท่ากับ 45 มิลลิเมตรต่อชั่วโมง แสดงให้เห็นชัดเจนว่าการเปลี่ยนแปลงของปริมาตรความชื้นผ่านบวนการสองขั้นตอน คือ 1) การแทรกซึมของน้ำฝนที่ผิวน้ำของลาดคิน และ 2) การเพิ่มขึ้นของระดับน้ำได้ดิน

โดยจะสามารถสังเกตการเปลี่ยนแปลงช่วงแรกได้จากค่าปริมาตรความชื้นเริ่มต้นที่เพิ่มขึ้นจาก 0.040 ค่าปริมาตรความชื้นที่เกิดหลังจากการเคลื่อนตัวของแผ่นความชื้นจากผิวน้ำดิน ( $\theta_{wb}$ ) ทำให้ปริมาตรความชื้นเพิ่มขึ้นถึง 0.225 ซึ่งแสดงให้เห็นว่าในขั้นตอนนี้ดินยังอยู่ในสถานะที่ไม่อิ่มตัว ในขณะที่ช่วงที่สองเกิดหลังจากการเคลื่อนตัวของแผ่นความชื้นมาถึงพื้นล่างของลาดคินจนเริ่มเกิดการเพิ่มขึ้นของระดับน้ำได้ดินทำให้ปริมาตรความชื้นเพิ่มขึ้นอย่างต่อเนื่องจนถึง 0.36 ( $\theta_w = 0.36$ ) ซึ่งใกล้เคียงกับค่าปริมาตรความชื้นที่สภาวะอิ่มตัว ซึ่งสามารถศึกษาได้จากการวิจัย (Huang et al. 2008; Huang and Yuin 2010; Sharma and Nakagawa 2010; Tohari et al. 2007)

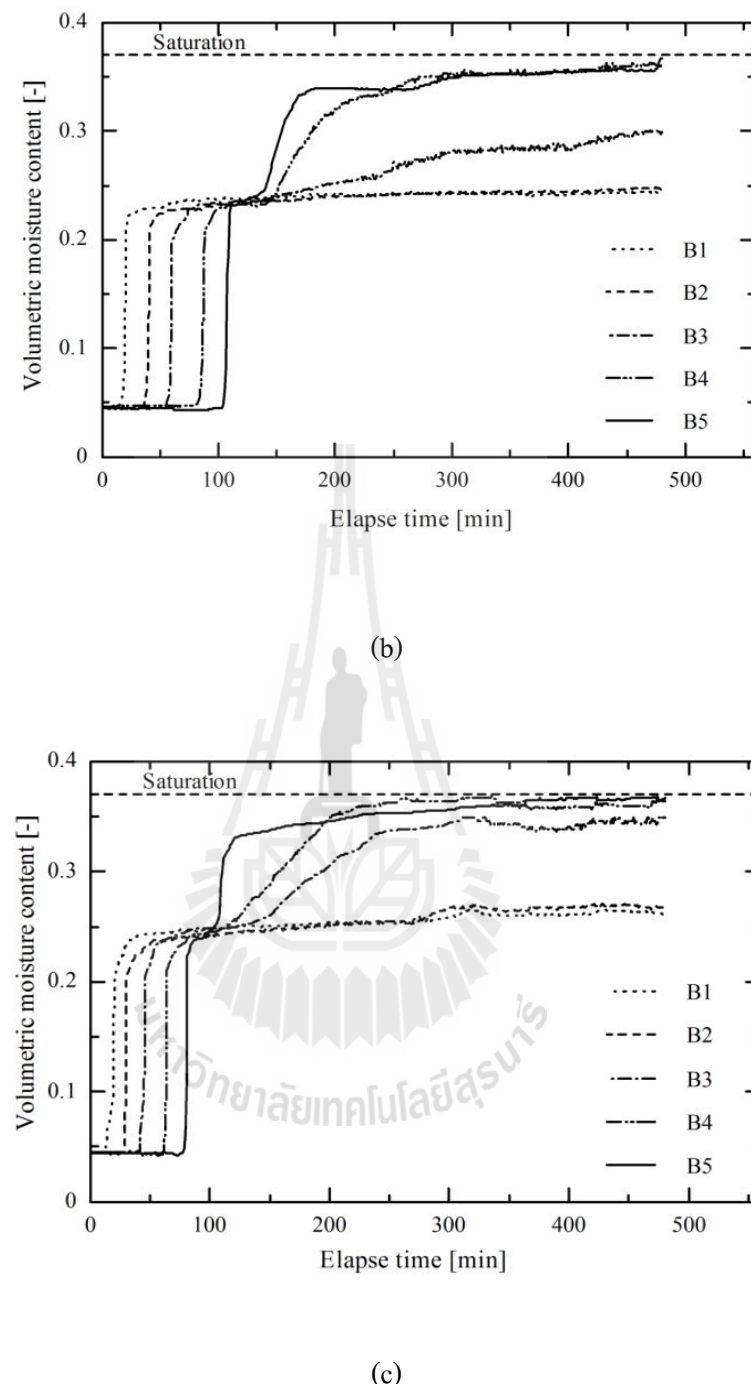
เปรียบเทียบระหว่างการเปลี่ยนแปลงของปริมาตรความชื้นกับเวลาแสดงไว้ใน รูปที่ 4.1 (b) และการเปลี่ยนแปลงปริมาตรความชื้นกับความลึกแสดงไว้ในรูปที่ 4.2 (b) แสดงให้เห็นการเปลี่ยนแปลงในสองขั้นตอน เวลาในการตอบสนองจะเร็วกว่าที่ความเข้มฝนที่ 45 มิลลิเมตรต่อชั่วโมง เช่นเดียวกับปริมาตรความชื้นที่เกิดขึ้นหลังขั้นตอนการเคลื่อนตัวของแผ่นความชื้นที่ผิวน้ำของลาดคิน นอกเหนือจากการเปลี่ยนแปลงในช่วงที่สองของปริมาตรความชื้นจะแสดงที่ระดับความลึกที่มากขึ้นจากพื้นของลาดคิน เนื่องจากการเพิ่มขึ้นของปริมาณความเข้มฝนที่สูงกว่า 45 มิลลิเมตรต่อชั่วโมง ในขณะที่ผลของความเข้มฝนอื่นๆ แสดงการเปรียบเทียบระหว่างการเปลี่ยนแปลงของปริมาตรความชื้นกับเวลาและการเปลี่ยนแปลงปริมาตรความชื้นกับความลึกแสดงไว้ดังนี้ สำหรับความเข้มฝน 100 มิลลิเมตรต่อชั่วโมง รูปที่ 4.1 (c) กับ รูปที่ 4.2 (c), สำหรับความเข้มฝน 130 มิลลิเมตรต่อชั่วโมง รูปที่ 4.1 (c) กับ รูปที่ 4.2 (c) และ สำหรับที่ความเข้มฝน 160 มิลลิเมตรต่อชั่วโมง รูปที่ 4.1 (e) กับ รูปที่ 4.2 (e) การเปลี่ยนแปลงในช่วงแรกแสดงให้เห็นเวลาในการตอบสนองของปริมาตรความชื้นที่เร็วขึ้นตามปริมาณความเข้มฝนที่เพิ่มขึ้น ในขณะที่การ

เปลี่ยนแปลงในช่วงที่สองแสดงให้เห็นการเพิ่มขึ้นของระดับน้ำได้ดีที่สุดที่สูงขึ้นตามปริมาณความชื้นที่เพิ่มมากขึ้นเช่นกัน

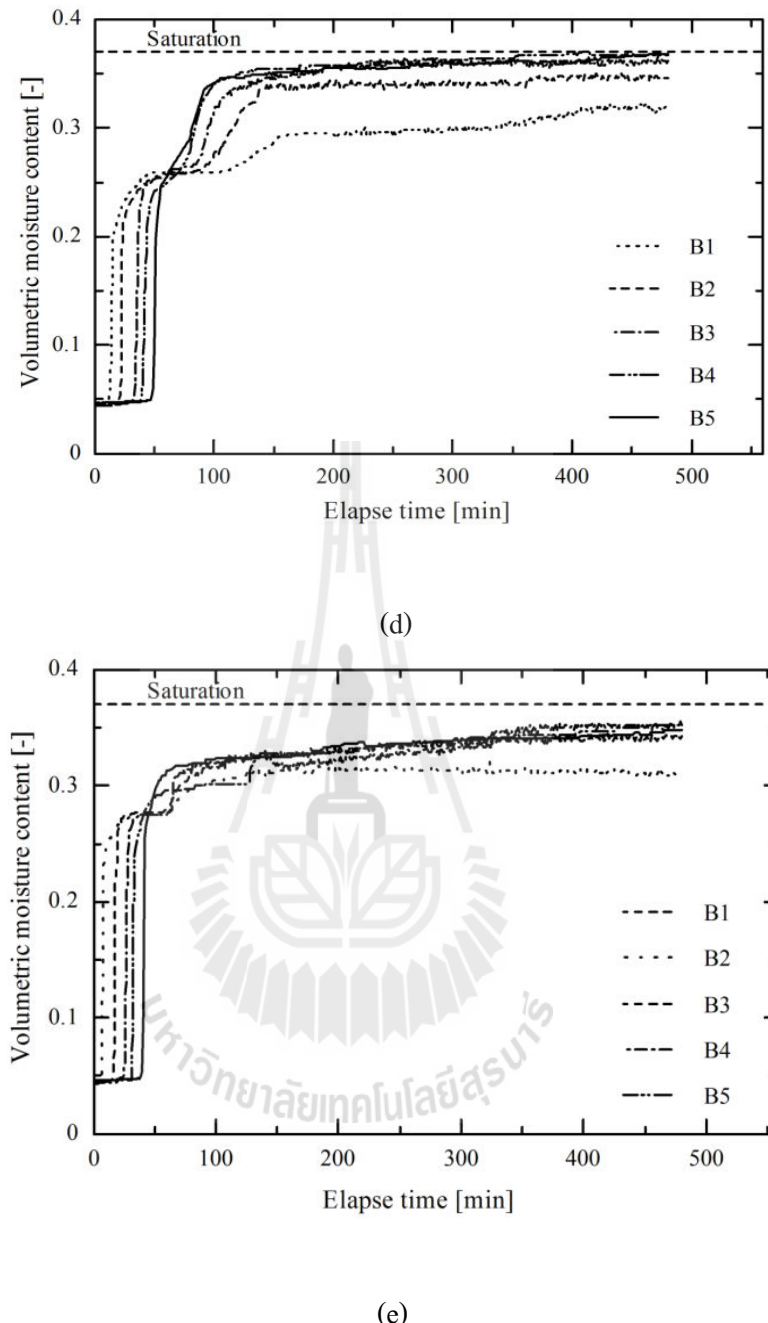


(a)

รูปที่ 4.1 แสดงความสัมพันธ์ระหว่างการเปลี่ยนแปลงปริมาตรความชื้นกับเวลา  
 (a) ปริมาณความชื้นฟ่น 45 มิลลิเมตรต่อชั่วโมง (b) ปริมาณความชื้นฟ่น 70  
 มิลลิเมตรต่อชั่วโมง (c) ปริมาณความชื้นฟ่น 100 มิลลิเมตรต่อชั่วโมง (d)  
 ปริมาณความชื้นฟ่น 130 มิลลิเมตรต่อชั่วโมง (e) ปริมาณความชื้นฟ่น 160  
 มิลลิเมตรต่อชั่วโมง

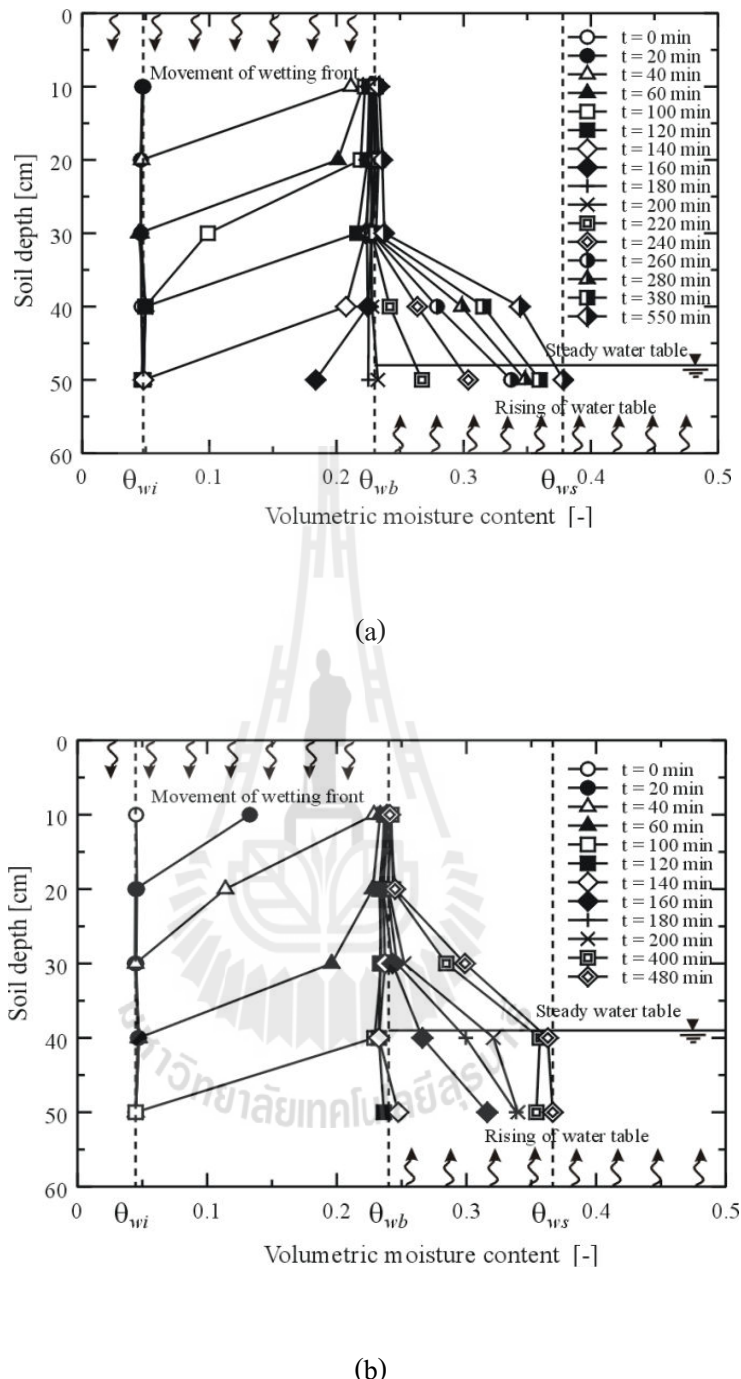


รูปที่ 4.1 แสดงความสัมพันธ์ระหว่างการเปลี่ยนแปลงปริมาตรความชื้นกับเวลา  
 (a) ปริมาณความชื้นฟ่น 45 มิลลิเมตรต่อชั่วโมง (b) ปริมาณความชื้นฟ่น  
 70 มิลลิเมตรต่อชั่วโมง (c) ปริมาณความชื้นฟ่น 100 มิลลิเมตรต่อชั่วโมง (d)  
 ปริมาณความชื้นฟ่น 130 มิลลิเมตรต่อชั่วโมง (e) ปริมาณความชื้นฟ่น 160  
 มิลลิเมตรต่อชั่วโมง (ต่อ)

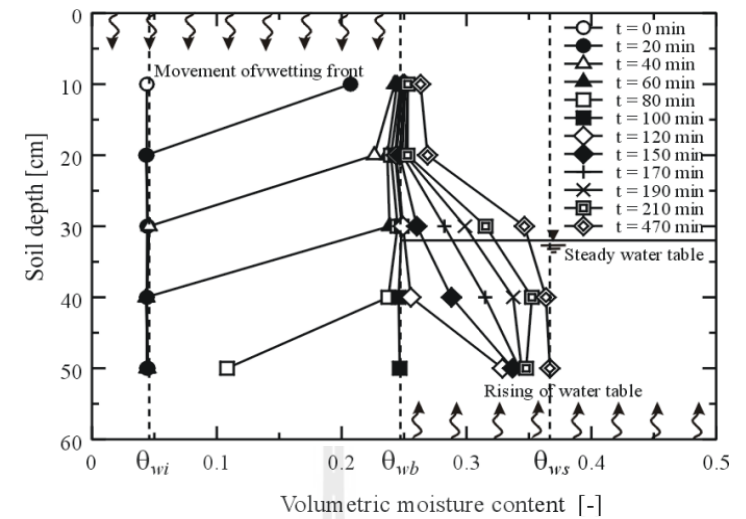


รูปที่ 4.1 แสดงความสัมพันธ์ระหว่างการเปลี่ยนแปลงปริมาตรความชื้นกับเวลา

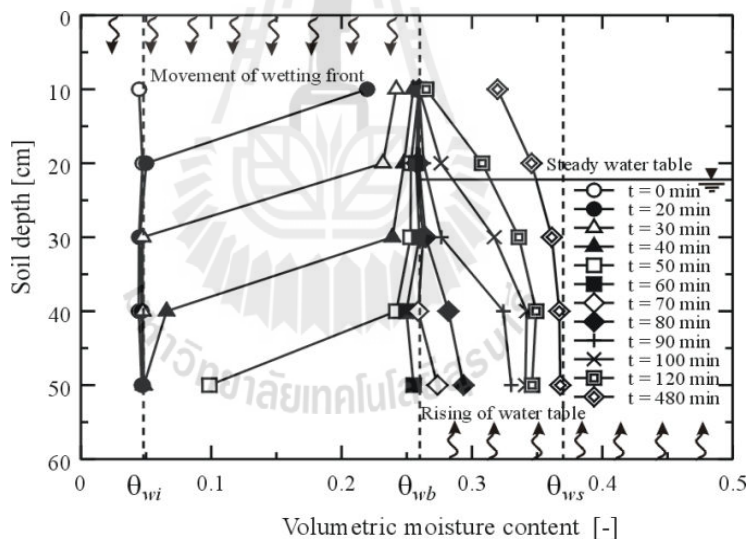
- (a) ปริมาณความชื้น 45 มิลลิเมตรต่อชั่วโมง (b) ปริมาณความชื้น 70 มิลลิเมตรต่อชั่วโมง (c) ปริมาณความชื้น 100 มิลลิเมตรต่อชั่วโมง (d) ปริมาณความชื้น 130 มิลลิเมตรต่อชั่วโมง (e) ปริมาณความชื้น 160 มิลลิเมตรต่อชั่วโมง (ต่อ)



รูปที่ 4.2 แสดงความสัมพันธ์ระหว่างความลึกของลักษณะกับปริมาณความชื้น  
 (a) ปริมาณความชื้น 45 มิลลิเมตรต่อชั่วโมง (b) ปริมาณความชื้น 70 มิลลิเมตรต่อชั่วโมง (c) ปริมาณความชื้น 100 มิลลิเมตรต่อชั่วโมง  
 (d) ปริมาณความชื้น 130 มิลลิเมตรต่อชั่วโมง (e) ปริมาณความชื้น 160 มิลลิเมตรต่อชั่วโมง



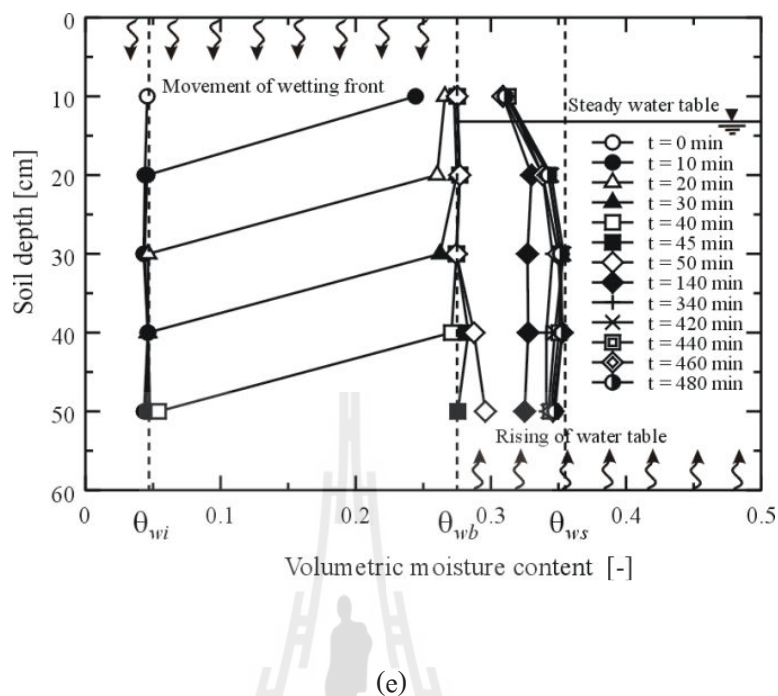
(c)



(d)

รูปที่ 4.2 แสดงความสัมพันธ์ระหว่างความลึกของลาดคินกับปริมาณความชื้น

- (a) ปริมาณความชื้น 45 มิลลิเมตรต่อชั่วโมง (b) ปริมาณความชื้น 70 มิลลิเมตรต่อชั่วโมง (c) ปริมาณความชื้น 100 มิลลิเมตรต่อชั่วโมง
- (d) ปริมาณความชื้น 130 มิลลิเมตรต่อชั่วโมง (e) ปริมาณความชื้น 160 มิลลิเมตรต่อชั่วโมง (ต่อ)



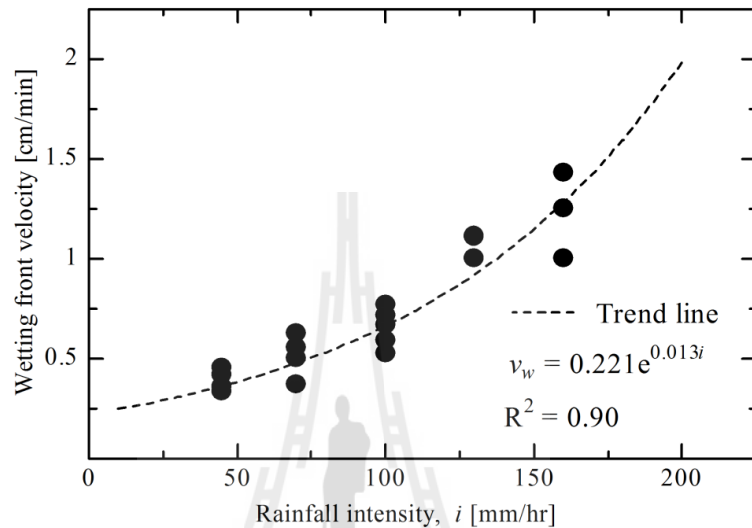
รูปที่ 4.2 แสดงความสัมพันธ์ระหว่างความลึกของ\data{กับ}ปริมาณความชื้น

- (a) ปริมาณความชื้น 45 มิลลิเมตรต่อชั่วโมง (b) ปริมาณความชื้น 70 มิลลิเมตรต่อชั่วโมง (c) ปริมาณความชื้น 100 มิลลิเมตรต่อชั่วโมง
- (d) ปริมาณความชื้น 130 มิลลิเมตรต่อชั่วโมง (e) ปริมาณความชื้น 160 มิลลิเมตรต่อชั่วโมง (ต่อ)

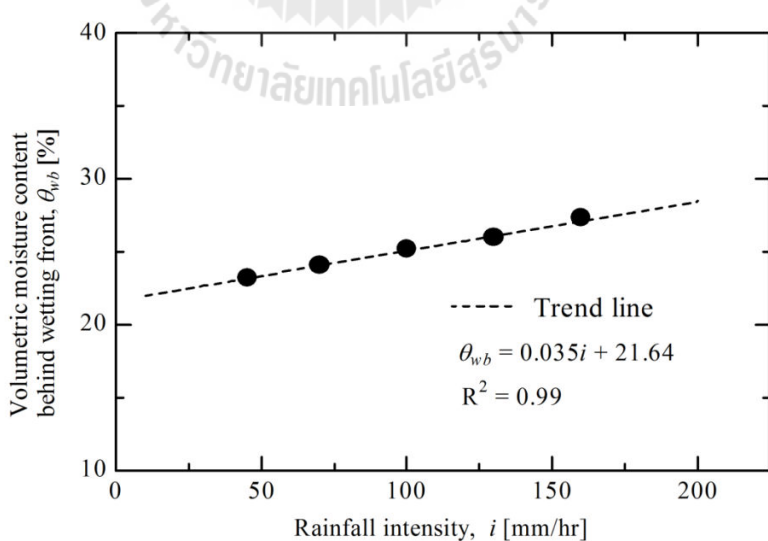
จากที่กล่าวมาข้างต้นสรุปได้ว่าเวลาในการเปลี่ยนแปลงความชื้นและการเพิ่มขึ้นของระดับน้ำใต้ดินได้รับอิทธิพลอย่างมากจากปริมาณความชื้นฝน ซึ่งมีความเร็วในการเคลื่อนตัวของแผ่นความชื้นจากผิวน้ำตามการเพิ่มขึ้นของปริมาณความชื้นฝน รูปที่ 4.3 แสดงให้เห็นถึงความสัมพันธ์ระหว่างความเร็วในการซึมของการเคลื่อนตัวของแผ่นความชื้นที่ผิวน้ำของ\data{กับ}ปริมาณความชื้น ความเร็วในการการเคลื่อนตัวของแผ่นความชื้นภายใน\data{กับ}ปริมาณความชื้นภายในแต่ละการทดสอบ โดยคำนวณจากอัตราส่วนระหว่างความลึกของตำแหน่งตัววัดความชื้นกับเวลาที่ตัววัดความชื้นที่ติดบนสนอง ( $\frac{\Delta h}{\Delta t}$ )

รูปที่ 4.4 แสดงความสัมพันธ์ระหว่างปริมาณความชื้นที่เพิ่มขึ้นจากการซึมจากผิวน้ำของ\data{กับ}ปริมาณความชื้นฝน เนื่องจากความเร็วของการซึมนี้มีความสัมพันธ์กับปริมาณความชื้นฝนที่เพิ่มขึ้น ด้วยเหตุนี้才 สามารถแทรกซึมลงสู่\data{กับ}ปริมาณความชื้นที่สูงขึ้นตามความ

เข้มฝนที่สูงขึ้น แต่คืนไนแต่ละการทดสอบมีคุณสมบัติในการซึมผ่านเท่ากัน จึงทำให้เกิดการสะสมของน้ำฝนที่ซึมลงมาอย่างรวดเร็วในแนวคิ่งสู่พื้นด่างของลาดคินส่งผลให้ความชื้นด้านล่างของลาดคินเพิ่มสูงขึ้น



รูปที่ 4.3 แสดงความสัมพันธ์ระหว่างความเร็วในการเคลื่อนตัวของแผ่นความชื้นที่ผิวน้ำของลาดคินกับปริมาณความเข้มของน้ำฝน



รูปที่ 4.4 แสดงความสัมพันธ์ระหว่างปริมาตรความชื้นภายในหลังจากการเคลื่อนตัวของแผ่นความชื้นที่ผิวน้ำของลาดคินกับปริมาณความเข้มฝน

### 4.3 การเพิ่มขึ้นของระดับน้ำให้ดิน

ระดับน้ำให้ดินเพิ่มระดับขึ้นเมื่อการการเคลื่อนตัวของแผ่นความชื้นจากผิวน้ำของลากดิน มาถึงพื้นล่างของลากดินซึ่งเปรียบเสมือนชั้นทึบนำ การเพิ่มขึ้นของระดับน้ำให้ดินนี้ทำให้เห็นการพัฒนาของพื้นที่ที่เข้าสู่สภาพวอ่อมตัว โดยการทดสอบมีการตรวจระดับน้ำที่ตำแหน่งต่างๆ ตลอดความยาวของลากดิน โดยตำแหน่งที่วัดค่าระดับน้ำให้ดินที่  $P_C$ ,  $P_B$  และ  $P_A$  มีระยะห่างจากปลายของลากดิน 375, 750 และ 1125 มิลลิเมตร ตามลำดับ รูปที่ 4.5 แสดงให้เห็นการเพิ่มขึ้นของระดับน้ำให้ดินที่บันทึกไว้ทุกๆ 5 นาทีตลอดการทดสอบ

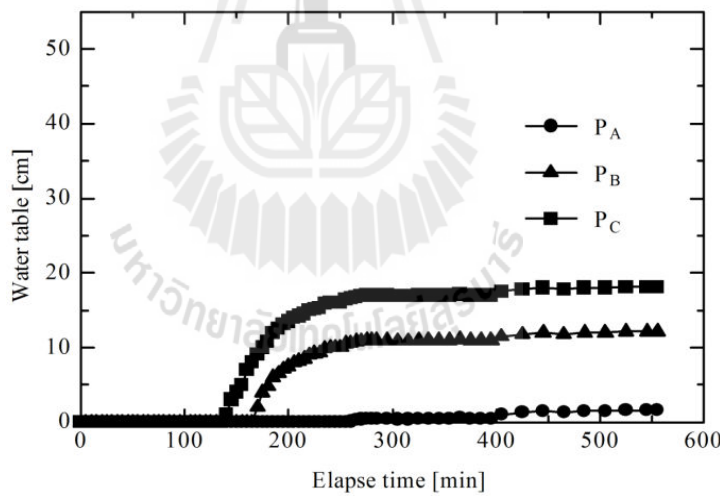
บันทึกค่าการเพิ่มขึ้นของระดับน้ำให้ดินสำหรับความเข้มฝนที่ 45 มิลลิเมตรต่อชั่วโมง โดยแสดงไว้ในรูปที่ 4.5 (a) พบว่าระดับน้ำเพิ่มขึ้นครั้งแรกที่ตำแหน่ง  $P_C$  (ใกล้กับตอนปลายของความลากชั้นของลากดิน) ระดับน้ำให้ดินมีค่าจาก 0 (ก่อนการการเคลื่อนตัวของแผ่นความชื้นที่ผิวน้ำของลากดินจะมาถึงพื้นล่างของลากดิน) เมื่อการทดสอบผ่านไป 100 นาที การซึมจากผิวน้ำดินมาถึงพื้นล่างของลากดินที่เวลา 220 นาที ระดับน้ำให้ดินเพิ่มสูงขึ้น 20 เซนติเมตร และคงที่จนสิ้นสุดการทดสอบ ที่ตำแหน่ง  $P_B$  พบว่าระดับน้ำเริ่มเพิ่มขึ้นที่เวลา 170 นาที เป็นที่สังเกตว่าการเพิ่มขึ้นของระดับน้ำให้ดินมีแนวโน้มที่คล้ายกับที่ตำแหน่ง  $P_C$  แต่แตกต่างตรงที่มีความล่าช้ากว่า (ประมาณ 170 นาที) และระดับน้ำเพิ่มขึ้นที่จุด  $P_A$  (ใกล้กับตอนบนของความลากชั้นของลากดิน) เมื่อเวลาผ่านไป 250 นาที แต่การเพิ่มขึ้นของระดับให้ดินมีเพียงเล็กน้อยเท่านั้นจนกระทั่งสิ้นสุดการทดสอบ

การเพิ่มขึ้นของระดับน้ำให้ดินที่ความเข้มน้ำฝน 70 มิลลิเมตรต่อชั่วโมง แสดงดังรูป 4.5 (b) พบว่าเวลาที่เริ่มมีการเพิ่มขึ้นของระดับน้ำให้ดินระหว่างตำแหน่ง  $P_B$  และ  $P_C$  ต่างกันประมาณ 100 นาที ซึ่งจะสั้นกว่าที่ปริมาณความเข้มฝน 45 มิลลิเมตรต่อชั่วโมง เช่นเดียวกับความแตกต่างของเวลาเริ่มเกิดการเพิ่มขึ้นของระดับน้ำให้ดินระหว่างที่ตำแหน่ง  $P_A$  และ  $P_B$  (110 นาที) ส่วนที่ปริมาณความเข้มฝน 100, 130 และ 160 มิลลิเมตรต่อชั่วโมง ดูได้จากรูปที่ 4.5 (c) ถึงรูปที่ 4.5 (e) นั่นคือความแตกต่างของเวลาในการเริ่มเพิ่มขึ้นของระดับน้ำให้ดินระหว่างตำแหน่งต่างๆ ตามความยาวของลากดิน คือจะใช้เวลาอีกในการเริ่มเพิ่มระดับของน้ำให้ดินตามปริมาณความเข้มฝนที่สูงขึ้น

นอกจากการปริมาณความเข้มฝนแล้ว ปัจจัยที่มีอิทธิพลต่อการเพิ่มขึ้นของระดับน้ำให้ดินยังได้รับผลกระทบจากการไอลตามแนวรอยต่อระหว่างชั้นทึบนำที่มีบทบาทสำคัญในการพัฒนาไปสู่สภาพวอ่อมตัวด้วยน้ำของบริเวณรอยต่อนั้น จะเห็นได้จากปริมาณความเข้มฝนต่ำสุดในรูปที่ 4.5 (a) บริเวณที่เข้าสู่สภาพวอ่อมตัวเริ่มจากทางตอนปลายความลากชั้นของลากดิน น้ำฝนที่ไอลตามรอยต่อระหว่างชั้นดินกับชั้นทึบนำที่เป็นพื้นของกล่องทดสอบลงไปทางตอนปลายของลากดินแล้ว

ค่าอยาสสะสมกลับขึ้นไปที่ตอนบนของลาดดินทำให้บริเวณนั้นอยู่ในสภาพวะอิ่มตัวด้วยน้ำ (Ching-Chuan et al. 2009; Take et al. 2004)

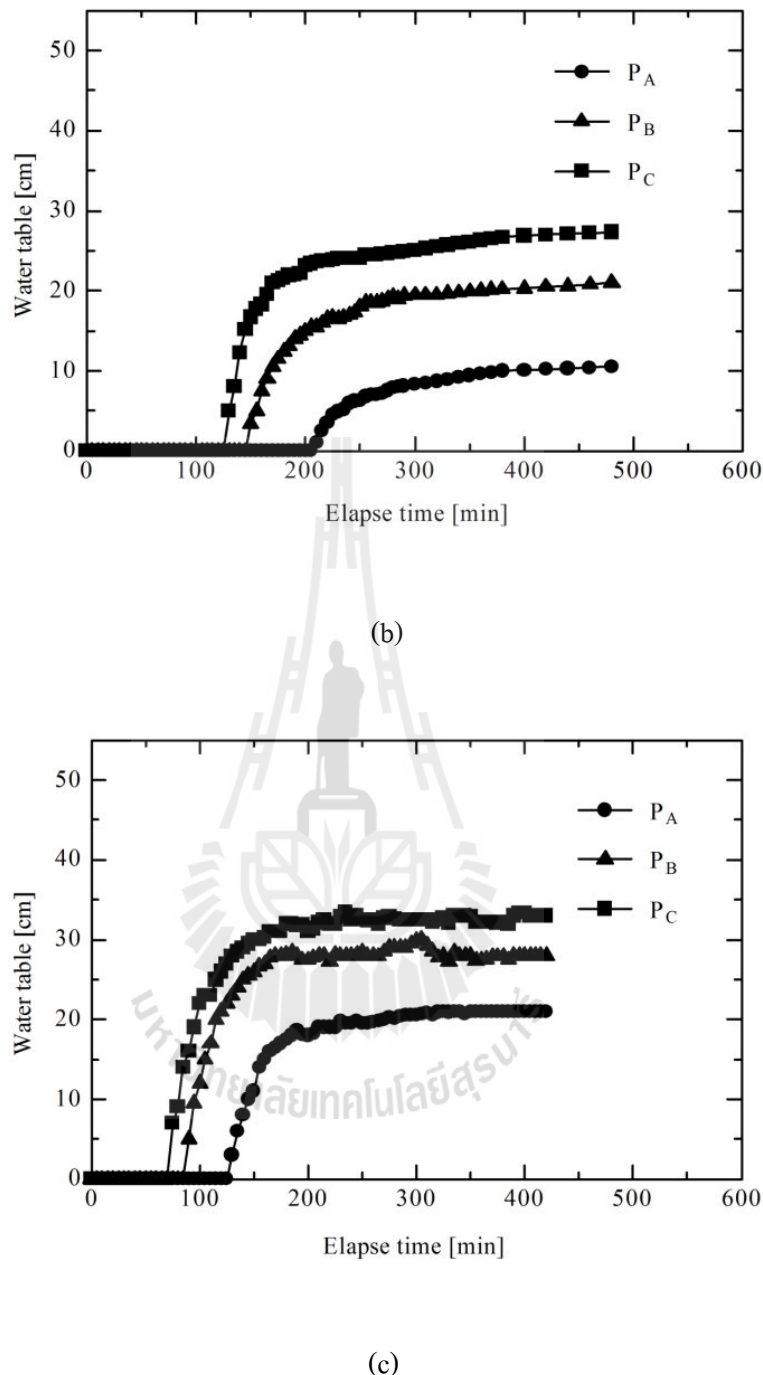
อย่างไรก็ตามการไหลดของน้ำในดินมีบทบาทลดลงเมื่อปริมาณความเข้มฝนสูงขึ้น สามารถเห็นได้อย่างชัดเจนจากการทดสอบที่ปริมาณความเข้มฝนสูงสุดในรูปที่ 4.5 (e) ช่วงระยะเวลาเริ่มต้นของการเพิ่มระดับของน้ำให้ดินเกิดขึ้นในเวลาที่ใกล้เคียงกันในทุกๆ ตำแหน่ง แสดงให้เห็นว่าเมื่อความเข้มฝนสูงขึ้น ความเร็วในการซึมสูงขึ้นทำให้น้ำเคลื่อนที่ในแนวตั้งจากผิวน้ำของลาดดินลงสู่ชั้นล่างของลาดดินได้ในเวลาใกล้เคียงกัน และยังมีบางส่วนไหลดในแนวระนาบตามรอยต่อระหว่างลาดดินกับชั้นที่มน้ำ โดยน้ำส่วนใหญ่ถูกสะสมอย่างกะทันหันในแนวตั้งทำให้บริเวณลาดดินส่วนล่างมีค่าปริมาตรความชื้นอยู่ในสภาพวงคงที่ ด้วยเหตุนี้สามารถอธิบายได้ว่าการไหลดในดินตามแนวรอยต่อระหว่างชั้นดินกับชั้นที่มน้ำมีบทบาทที่โดดเด่นในการนำไปสู่สภาพวะอิ่มตัวของลาดดินสำหรับปริมาณความเข้มฝนต่ำๆ แต่บนบทานี้จะลดลงเมื่อเพิ่มปริมาณความเข้มฝนขึ้น เนื่องจากจะถูกแทนที่ด้วยการสะสมของน้ำที่ซึมลงมาในแนวตั้งเมื่อปริมาณความเข้มฝนสูงขึ้น



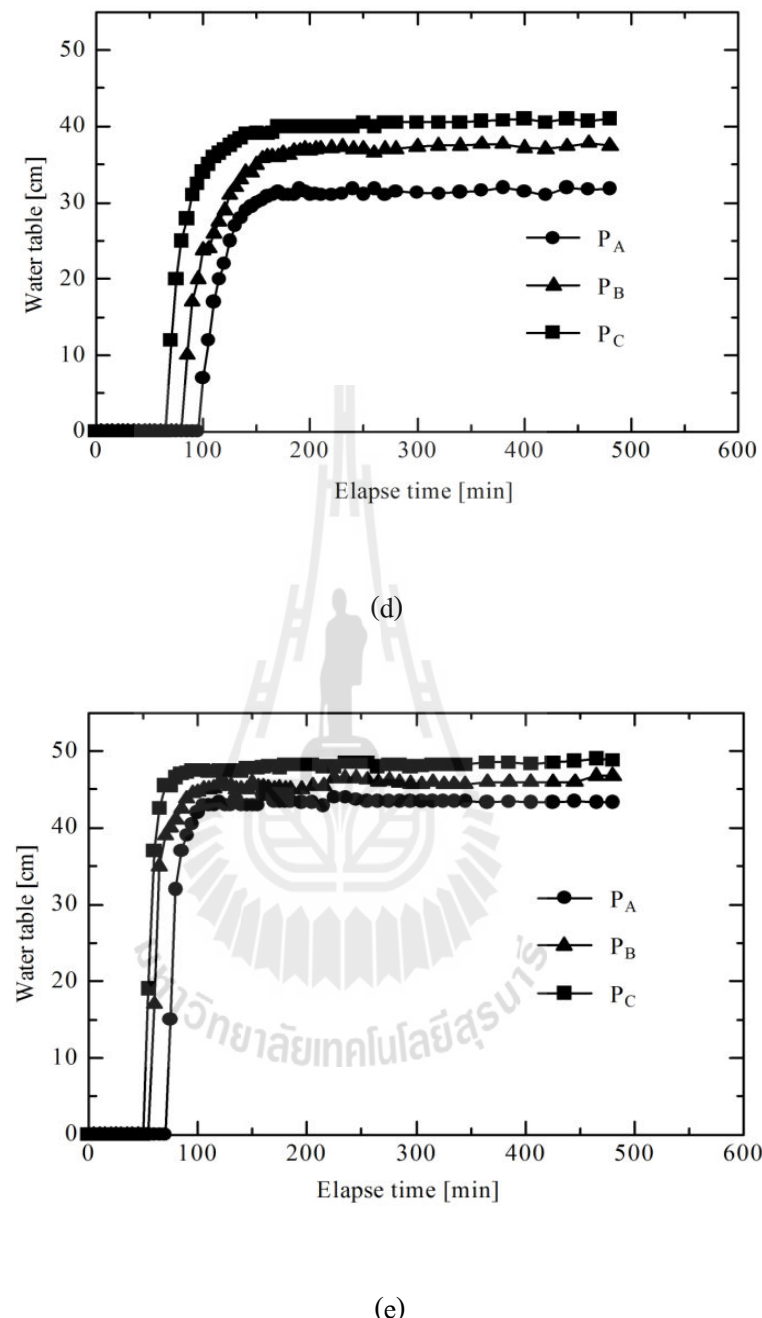
(a)

รูปที่ 4.5 แสดงความสัมพันธ์ระหว่างระดับน้ำให้ดินและเวลาที่ดำเนินการตรวจวัด

- (a) ปริมาณความเข้มฝน 45 มิลลิเมตรต่อชั่วโมง
- (b) ปริมาณความเข้มฝน 70 มิลลิเมตรต่อชั่วโมง
- (c) ปริมาณความเข้มฝน 100 มิลลิเมตรต่อชั่วโมง
- (d) ปริมาณความเข้มฝน 130 มิลลิเมตรต่อชั่วโมง
- (e) ปริมาณความเข้มฝน 160 มิลลิเมตรต่อชั่วโมง



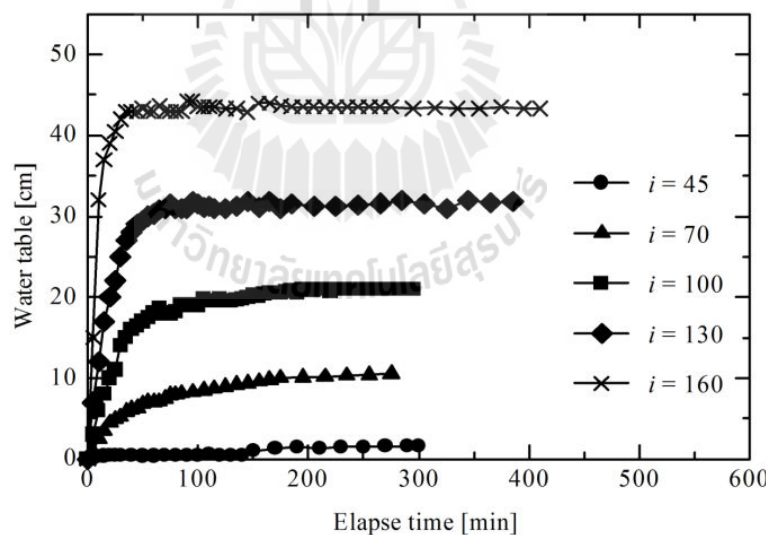
รูปที่ 4.5 แสดงความสัมพันธ์ระหว่างระดับน้ำใต้ดินและเวลาที่ดำเนินการทุกวัด  
 (a) ปริมาณความเข้มฝน 45 มิลลิเมตรต่อชั่วโมง (b) ปริมาณความเข้มฝน 70 มิลลิเมตรต่อชั่วโมง (c) ปริมาณความเข้มฝน 100 มิลลิเมตรต่อชั่วโมง  
 (d) ปริมาณความเข้มฝน 130 มิลลิเมตรต่อชั่วโมง (e) ปริมาณความเข้มฝน 160 มิลลิเมตรต่อชั่วโมง (ต่อ)



รูปที่ 4.5 แสดงความสัมพันธ์ระหว่างระดับน้ำใต้ดินและเวลาที่ดำเนินการตรวจวัด

- (a) ปริมาณความเข้มฝน 45 มิลลิเมตรต่อชั่วโมง (b) ปริมาณความเข้มฝน 70 มิลลิเมตรต่อชั่วโมง (c) ปริมาณความเข้มฝน 100 มิลลิเมตรต่อชั่วโมง
- (d) ปริมาณความเข้มฝน 130 มิลลิเมตรต่อชั่วโมง (e) ปริมาณความเข้มฝน 160 มิลลิเมตรต่อชั่วโมง (ต่อ)

จากการสังเกตการณ์เพิ่มขึ้นของระดับน้ำใต้ดิน แสดงให้เห็นความแตกต่างของช่วงเวลาในการเริ่มเพิ่มขึ้นของระดับน้ำใต้ดินจากตำแหน่งต่างๆ ที่ตรวจวัดระดับน้ำใต้ดิน ที่มีความสัมพันธ์ต่อการพัฒนาของลักษณะในภูมิภาคต่างๆ ดังเช่นในรูปที่ 4.6 สังเกตว่าการเพิ่มขึ้นของระดับน้ำใต้ดินในทุกตำแหน่งมีแนวโน้มเป็นเส้นโค้งในลักษณะที่คล้ายคลึงกัน โดยเพิ่มจากศูนย์จนถึงค่าคงที่ของทุกค่าความเข้มฝน ระดับน้ำใต้ดินสูงสุดที่วัดได้อยู่ที่ตำแหน่ง  $P_C$  ซึ่งอยู่ใกล้กับตอนปลายของลักษณะและระดับน้ำใต้ดินลดลงตามลำดับต่อมาเมื่อมีระยะเวลาห่างจากตอนปลายของลักษณะ เมื่อเปรียบเทียบผลต่างของระดับน้ำใต้ดินที่ความเข้มฝนสูงสุดของทั้งสามตำแหน่งที่ตรวจวัดกับผลต่างของระดับน้ำใต้ดินที่ความเข้มฝนต่ำสุด พบว่าที่ผลต่างของระดับน้ำใต้ดินที่ความเข้มฝนสูงสุดมีค่าน้อยกว่าผลต่างของระดับน้ำใต้ดินที่ความเข้มฝนต่ำสุด ซึ่งสอดคล้องกับลักษณะการซึมของน้ำภายในลักษณะ ว่าที่ความเข้มฝนต่ำการไหลตามแนวรอยต่อจะมีบทบาทมากจึงทำให้ที่ตำแหน่ง  $P_C$  มีระดับน้ำสูงกว่าตำแหน่ง  $P_B$  และ  $P_A$  ตัววนในปริมาณความเข้มสูงสุดการเพิ่มขึ้นของระดับน้ำจากตำแหน่งตรวจวัดมีค่าใกล้เคียง เกิดจากความเร็วที่ใกล้เคียงกันของการซึมของน้ำในแนวดิ่ง

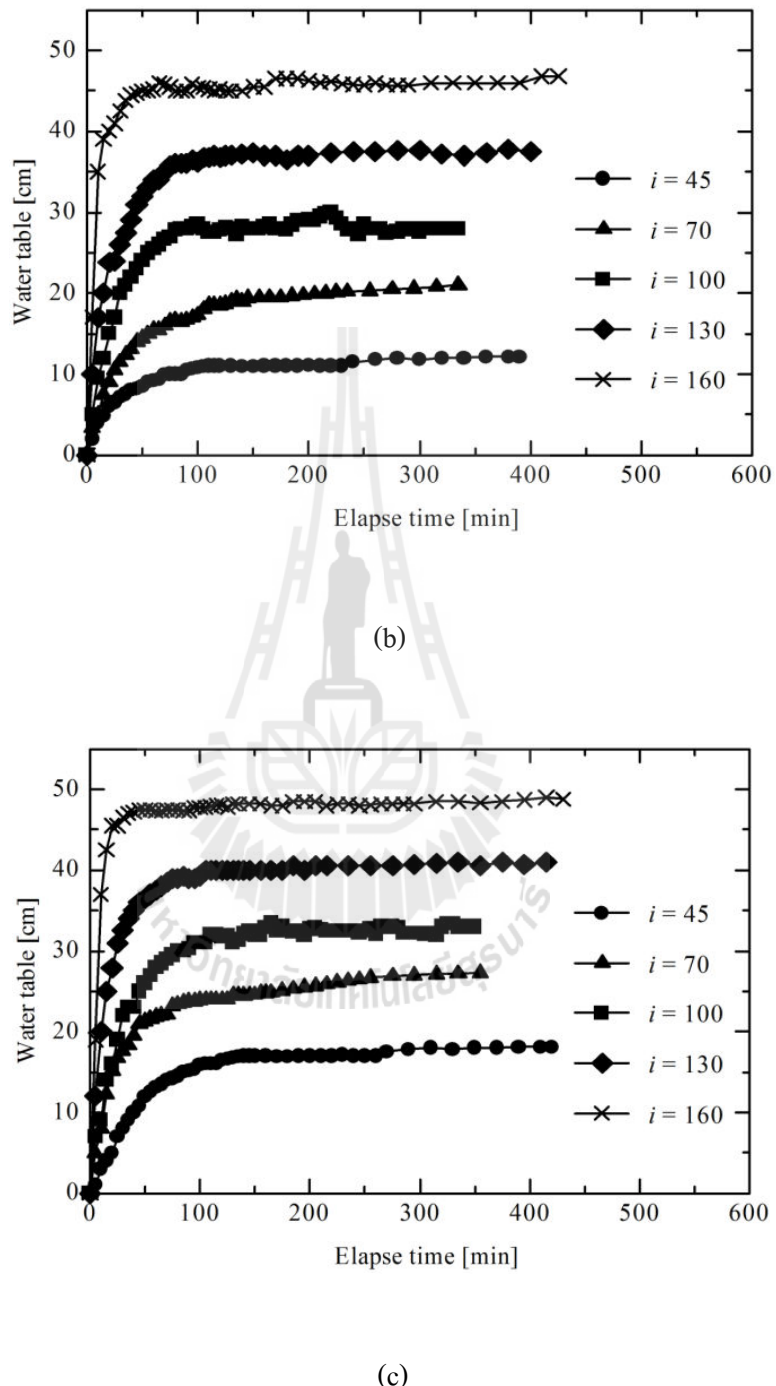


(a)

รูปที่ 4.6 แสดงความสัมพันธ์ระหว่างระดับน้ำใต้ดินที่ปริมาณความเข้มฝนต่างๆ และเวลา

(a) จุดวัดระดับน้ำใต้ดินที่ตำแหน่ง  $P_A$  (b) จุดวัดระดับน้ำใต้ดินที่ตำแหน่ง  $P_B$  (c)

จุดวัดระดับน้ำใต้ดินที่ตำแหน่ง  $P_C$



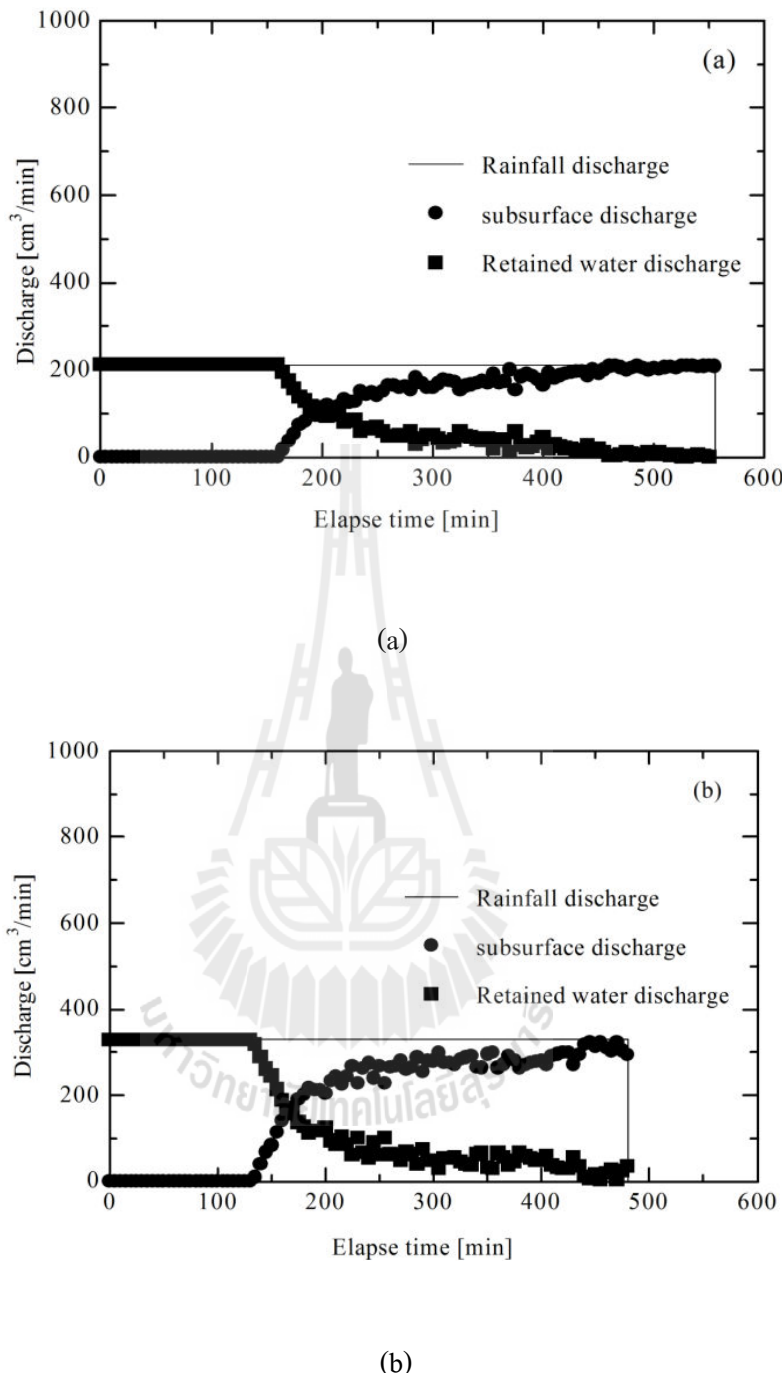
รูปที่ 4.6 แสดงความสัมพันธ์ระหว่างระดับน้ำใต้ดินที่ปริมาณความชื้นฟุ่นต่างๆ และเวลา  
 (a) จุดวัดระดับน้ำใต้ดินที่ตำแหน่ง PA (b) จุดวัดระดับน้ำใต้ดินที่ตำแหน่ง PB (c)  
 จุดวัดระดับน้ำใต้ดินที่ตำแหน่ง PC (ต่อ)

#### 4.4 การระบายน้ำภายในลากดิน

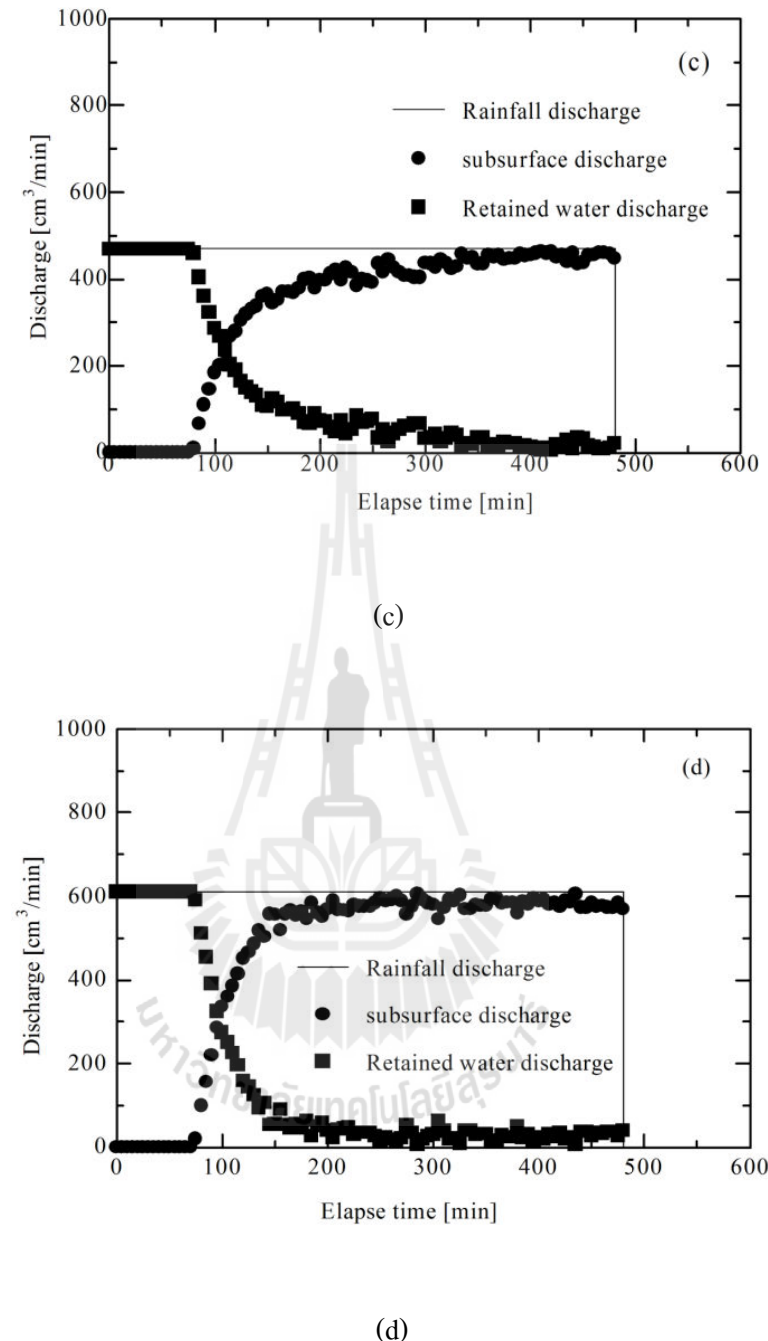
การระบายน้ำของน้ำที่ผิวดินและใต้ผิวดินจะถูกบันทึกทุก 5 นาที ตลอดการทดสอบโดยที่ผิวดินจะมีระบายน้ำออกที่ระดับผิวดินที่อยู่ตอนปลายของผิวดินปล่อยให้น้ำไหลออกและน้ำใต้ผิวดินที่ระบายน้ำออกจะไหลออกไปที่ก่อร่องรับน้ำที่ตอนปลายของลากดิน ซึ่งการไหลที่ผิวดินอาจเกิดขึ้นได้ทั้งจากน้ำส่วนเกินที่เกิดจากการซึมและส่วนเกินที่เกิดจากการสภาวะอื้มในลากดิน แต่สำหรับการทดลองนี้ไม่สามารถเกิดขึ้นได้ทั้งสองกรณีเนื่องจากน้ำฝนสามารถซึมลงสู่ลากดินได้ทุกการทดสอบ เมื่อเวลาผ่านไปในการทดสอบจะไม่สามารถตรวจสอบการไหลที่ผิวดินได้ แต่การไหลในลากดินในระดับดินที่เป็นกระบวนการที่สำคัญเช่นกัน เพราะทำให้เกิดการวิบัติของลากดินในระดับดิน

สามารถเห็นการเปลี่ยนแปลงตามเวลาของน้ำที่ระบายน้ำออกมาประกอบไปด้วยปริมาณน้ำฝน น้ำที่ไหลภายในลากดิน และน้ำที่สะสม โดยการเปลี่ยนแปลงความเข้มฝนจากแบบจำลองความเข้มฝน ในรูปที่ 4.7 น้ำที่สะสมได้จากการคำนวณ โดยค่าความแตกต่างระหว่างปริมาณน้ำฝน และน้ำที่ระบายน้ำออกจากลากดิน (สมการสมดุลของน้ำ) ซึ่งแสดงให้เห็นน้ำฝนที่สะสมในลากดินโดยทั้งกระบวนการซึมและการเพิ่มน้ำของน้ำใต้ดิน จากรูปที่ 4.7 (a) สำหรับปริมาณความเข้มฝนที่ 45 มิลลิเมตรต่อชั่วโมง น้ำฝนที่ปล่อยออกจากการแบบจำลองน้ำฝนคำนวณเป็นปริมาณน้ำฝนที่ตกลงสู่พื้นที่แบบจำลองลากดินมีคงที่ 200 ลูกบาศก์เซนติเมตรต่อนาที ตลอดเวลาในช่วงที่ปล่อยปริมาณน้ำฝน ในขณะที่ทำการทดสอบน้ำฝนระบายน้ำออกจากลากดินริ้งแรก สามารถวัดค่าได้หลังจากเริ่มต้นการทดสอบผ่านไป 200 นาที น้ำภายในลากดินถูกระบายออกอย่างต่อเนื่องจากศูนย์จนถึงค่าสูงสุดและเริ่มคงที่ประมาณ 200 ลูกบาศก์เซนติเมตรต่อนาที ที่เวลา 300 นาที และคงที่ไปตลอดการทดสอบ จะเห็นว่าค่าปริมาณน้ำที่ไหลออกสูงสุดที่สามารถวัดได้มีค่าใกล้เคียงกับปริมาณน้ำที่ปล่อยลงสู่ลากดินเมื่อปริมาตรความชื้นในลากดินอยู่ในสภาวะคงที่ แสดงให้เห็นว่าระบบได้เข้าสู่สภาวะการไหลแบบคงที่(Steady state) (200 ลูกบาศก์เซนติเมตรต่อนาที)

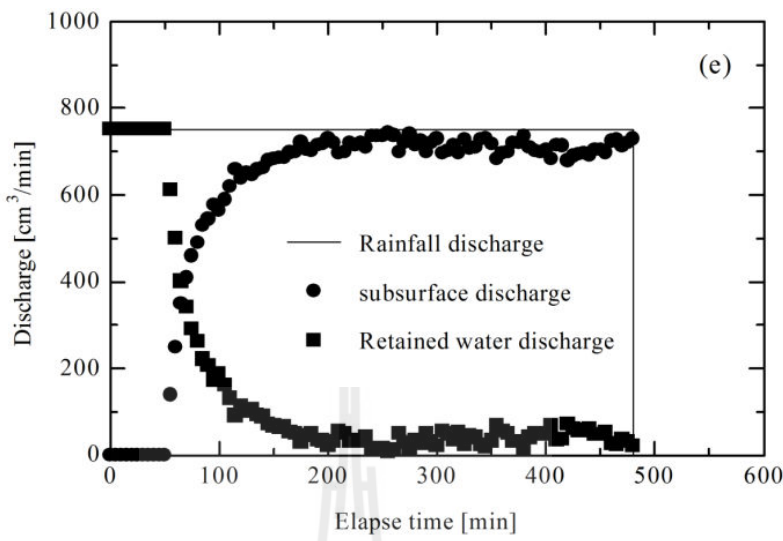
ลักษณะการระบายน้ำที่ได้จากการวัด แสดงให้เห็นแนวโน้มที่คล้ายกันเมื่อเปรียบเทียบกับปริมาณความเข้มฝนที่สูงขึ้น จากรูปที่ 4.7 (b) ถึงรูปที่ 4.7 (e) การระบายน้ำของน้ำจากลากดินเพิ่มน้ำจากค่าเริ่มต้นจนถึงค่าคงที่ โดยผลการทดสอบทั้งหมดพบว่า น้ำฝนที่ระบายน้ำออกในช่วงที่มีค่าคงที่ ใกล้เคียงกับปริมาณน้ำฝนที่ปล่อยลงสู่ลากดินของการทดสอบเหล่านั้นอย่างไรก็ตามผลการทดสอบยังชี้ให้เห็นว่าระยะเวลาในช่วงเริ่มต้นและระยะเวลาที่เข้าสู่ช่วงสภาวะคงที่ ใช้เวลาที่สั้นลงตามการเปลี่ยนแปลงความเข้มฝนที่สูงขึ้น



รูปที่ 4.7 แสดงการเปรียบเทียบระหว่างปริมาณน้ำฝนที่ปล่อยลงสู่ภาคดินและปริมาณน้ำสะสมที่ถูกระบายนอกจากภาคดินที่เปลี่ยนแปลงตามเวลา (a) ปริมาณความเข้มฝน 45 มิลลิเมตรต่อชั่วโมง (b) ปริมาณความเข้มฝน 70 มิลลิเมตรต่อชั่วโมง (c) ปริมาณความเข้มฝน 100 มิลลิเมตรต่อชั่วโมง (d) ปริมาณความเข้มฝน 130 มิลลิเมตรต่อชั่วโมง (e) ปริมาณความเข้มฝน 160 มิลลิเมตรต่อชั่วโมง



รูปที่ 4.7 แสดงการเปรียบเทียบระหว่างปริมาณน้ำฝนที่ปล่อยลงสู่ภาคดินและปริมาณน้ำสะสมที่ถูกระบายนอกจากภาคดินที่เปลี่ยนแปลงตามเวลา (a) ปริมาณความเข้มฝน 45 มิลลิเมตรต่อชั่วโมง (b) ปริมาณความเข้มฝน 70 มิลลิเมตรต่อชั่วโมง (c) ปริมาณความเข้มฝน 100 มิลลิเมตรต่อชั่วโมง (d) ปริมาณความเข้มฝน 130 มิลลิเมตรต่อชั่วโมง (e) ปริมาณความเข้มฝน 160 มิลลิเมตรต่อชั่วโมง (ต่อ)



(e)

รูปที่ 4.7 แสดงการเปรียบเทียบระหว่างปริมาณน้ำฝนที่ปล่อยลงสู่ภาคดินและปริมาณน้ำสะสมที่ถูกระบายนอกจากภาคดินที่เปลี่ยนแปลงตามเวลา (a) ปริมาณความเข้มฝน 45 มิลลิเมตรต่อชั่วโมง (b) ปริมาณความเข้มฝน 70 มิลลิเมตรต่อชั่วโมง (c) ปริมาณความเข้มฝน 100 มิลลิเมตรต่อชั่วโมง (d) ปริมาณความเข้มฝน 130 มิลลิเมตรต่อชั่วโมง (e) ปริมาณความเข้มฝน 160 มิลลิเมตรต่อชั่วโมง (ต่อ)

## บทที่ 5

### สรุปผลการวิจัย

แบบจำลอง 2 มิติ ที่สร้างขึ้นในห้องปฏิบัติการเพื่อศึกษาอิทธิพลของความเข้มฝนต่อการตอบสนองเชิงชลศาสตร์ ประกอบด้วย การเปลี่ยนแปลงปริมาตรความชื้นในดิน การเพิ่มขึ้นของระดับน้ำใต้ดินและกลไกการไหลออกของน้ำจากภาคดินในภาคดินตื้น รวมทั้งการวิเคราะห์เพื่อให้เห็นถึงอิทธิพลของต่อการเปลี่ยนแปลงเสถียรภาพของภาคดินตื้น โดยทำการศึกษากับดินเม็ดหยาบที่มีความสามารถในการซึมน้ำสูงและเป็นดินเนื้อดีกว่ากัน ผลการทดสอบสามารถสรุปได้ดังนี้

1. การตอบสนองความชื้นภายในภาคดินต่อฝน จะแสดงให้เห็นการตอบสนองที่แบ่งเป็นสองช่วงคือ ช่วงแรกจะเกิดจากการเคลื่อนตัวของผ่านความชื้นจากการซึมน้ำของฝน ในขณะที่ ช่วงที่สองจะเกิดจากการเพิ่มขึ้นของระดับน้ำใต้ดิน
2. ในการตอบสนองความชื้นในช่วงแรก พบว่า ความเร็วในการเคลื่อนตัวของผ่านความชื้นจะขึ้นอยู่กับความเข้มฝน โดยจะเคลื่อนตัวเร็วขึ้นตามความเข้มฝนที่เพิ่มขึ้น นอกจากนี้ยังพบว่า ความชื้นหลังผ่านความชื้นจะมีค่าสูงขึ้นตามการเพิ่มขึ้นของความเข้มฝน
3. การเพิ่มขึ้นของระดับน้ำใต้ดินในช่วงที่ส่งผลให้ความชื้นเข้าใกล้สภาวะอิ่มตัวของภาคดิน จากการศึกษาระดับน้ำใต้ดิน พบว่า ระดับน้ำใต้ดินทุกตำแหน่งที่ทำการตรวจจะเพิ่มขึ้นตามการเพิ่มขึ้นของความเข้มฝน อย่างไรก็ตาม การเพิ่มขึ้นของระดับน้ำใต้ดินจะไม่เป็นการเพิ่มที่ขนาดขั้นทึบน้ำเนื่องจากมีอิทธิพลการไหลในแนวอนบริเวณรอยต่อระหว่างชั้นดินกับชั้นทึบน้ำเข้ามาร่วมด้วย
4. กลไกการไหลออกของภาคดินที่ศึกษาจะเป็นการไหลตามแนวรอยต่อชั้นดินกับชั้นทึบน้ำ อัตราการไหลออกสูงสุดในทุกการทดสอบ พบว่าจะมีค่าใกล้กับอัตราการไหลเข้าเนื่องจากฝน ซึ่งแสดงให้เห็นว่า ระบบได้เข้าสู่สภาวะการไหลแบบคงที่(Steady state) และเวลาที่ทำให้เกิดการไหลแบบคงที่จะมีความเร็วขึ้นตามการเพิ่มขึ้นของความเข้มฝน

5 จากการนำผลการตอบสนองเชิงชลศาสตร์ไปวิเคราะห์เสถียรภาพโดยวิธีคาดคะนองนั้นต์ พบว่า อิทธิพลของความเข้มฝนในช่วงของการเกลื่อนตัวของแผ่นความชื้น จะส่งผลทำให้เสถียรภาพของดินลดตามเวลาของฝนที่เพิ่มขึ้น และอัตราการลดลงของเสถียรภาพของดินจะเพิ่มขึ้นตามการเพิ่มของความเข้มฝน

การศึกษาครั้งนี้แสดงให้เห็นว่าการตอบสนองเชิงชลศาสตร์และเสถียรภาพของดินดินตื้น จะได้รับอิทธิพลจากการเปลี่ยนแปลงความเข้มฝน อย่างไรก็ตาม การศึกษานี้ยังไม่สามารถอธิบายการเสถียรภาพของดินดินตื้นที่สอดคล้องกับการเพิ่มของระดับน้ำได้ดี เนื่องจาก การเพิ่มขึ้นของระดับน้ำเป็นกลไกที่ซับซ้อนและข้อจำกัดทางด้านสมมุติฐานของวิธีวิเคราะห์แบบคาดคะนองนั้น จึงต้องอาศัยเครื่องมือที่สามารถวิเคราะห์เสถียรภาพที่สอดคล้องกับกลไกของการเพิ่มระดับน้ำในดินตื้นได้ นอกจากนี้งานวิจัยนี้ยังเป็นการศึกษาปัจจัยระดับดินตื้น ร่วมถึงชั้นของดิน อาจจะส่งผลต่อเสถียรภาพของดินดินตื้นได้เช่นเดียวกัน จากข้อจำกัดเหล่านี้จึงเป็นแนวทางสำหรับการศึกษาปัญหาการวิบัติของดินดินตื้นในอนาคตเพื่อให้ได้องค์ความรู้ที่ครบถ้วนสำหรับการพัฒนาระบบการเตือนภัยเบื้องต้น

## รายการอ้างอิง

- Bishop, A.W., 1955. **The use of slip circle in the stability analysis of slopes.** Geotechnique 5 (1), 7–17.
- Bishop, A.W., 1959. **The principle of effective stress.** Teknisk Ukeblad 106(39), 859-863.
- Corps of Engineers, 1982. **Slope stability manual EM-1110-2-1902,** Washington, DC:Department of the Army, Office of the Chief of Engineers.
- Cascini, L., Cuomo, S., Sorbino, G., 2005. **Flow-like mass movements in pyroclastic soils: Remarks on the modelling of triggering mechanisms.** Italian Geotechnical Journal 4,11–31.
- Cascini, L., Cuomo, S., Guida, D., 2008. **Typical source areas of May 1998flow-like mass movements in the Campania region, Southern Italy.** Engineering Geology 96, 107–125.
- Cascini, L., Cuomo, S., Pastor, M., Sorbino, G., 2010. **Modeling of rainfall-induced shallow landslides of theflow-type.** Journal of Geotechnical and Geoenvironmental Engineering 136 (1), 85–98
- Cruden, D.M., Varnes, D.J., 1996. **Landslide types and processes.** In: Turner, A.K., Schuster, R.L. (Eds.), **Transportation Research Board Special Rep. No. 247. Land-slides Investigation and Mitigation,** National Research Council, National Academy Press, Washington D.C., pp. 36–75.
- Ducan, J.M., Buchignani, A.L., Marius, D.W., 1987. **An engineering manual for slope stability studies.** Virginia : Department of Civil Engineering, Virginia Polytechnic Institute and State University, March.
- Dai, F., Lee, C.F., Wang, S., Feng, Y., 1999. **Stress-strain behaviour of a loosely compacted volcanic-derived soil and its significance to rainfall-induced fill slope failures.** Engineering Geology 53, 359–370.
- Eichenberger, J., Ferrari, A., Laloui, L., 2013. **Early warning thresholds for partially saturated slopes in volcanics ash.** Computer and Geotechnics (Article in press)

- Fredlund, D.G., 2000. **The emergence of unsaturated soil mechanic.** The Fourth Spencer J. Buchanan lecturer, College Station, Texas, A&M University Press, p.39.
- Gabet, E.J., Mudd, S.M., 2006. **The mobilization of debrisflows from shallow landslides.** *Geomorphology* 74, 207–218.
- Green, W.H., Ampt, G.A., 1911. **Studies on soil physics, part I, the flow of air and water through soils.** *J. Agric. Sci.*, vol. 4, no. 1, pp. 1-24.
- Huang, C.-C., Lo, C.-L., Jang, J.-S., Hwu, L.K., 2008. **Internal soil moisture response to rainfall-induced slope failures and debris discharge.** *Engineering Geology* 101, 134–145.
- Huang, C.-C., Ju, Y.J., Lee, J.L., Hwu, L.K., 2009. **Internal soil moisture and piezometric responses to rainfall-induced shallow slope failures.** *Journal of Hydrology* 370, 39–51.
- Huang, C.-C., Yuin, S.C., 2010. **Experimental investigation of rainfall criteria for shallow slope failures.** *Geomorphology* 120, 326–338.
- Hutchinson, J.N., 1988. **Morphological and geotechnical parameters of landslides in relation to geology and hydrogeology.** State of the art report. Proc., V Int. Symp. on Landslides, vol. 1, pp. 3–35 (Lausanne, Switzerland).
- Horton, R.E., 1933. **The role of infiltration in the hydrological cycle.** *Transactions of the American Geophysical Union* 14, 446–460.
- Janbu, N. 1968. **Slope stability computations.** *Soil Mechanics and Foundation Engineering Report*, The Technical University of Norway, Trondheim, Norway.
- Kim, J., Jeong, S., Park, S., Sharma, J., 2004. **Influence of rainfall-induced wetting on the stability of slopes in weathered soils.** *Engineering Geology* 75, 251–262.
- Kim, J., Jeong, S., Regueiro, R.A., 2012. **Instability of partially saturated soil slopes due to alteration of rainfall pattern.** *Engineering Geology* 147-148, 28–36.
- Kassim, A., Gofar, N., Lee, L.M., Rahardjo, H., 2012. **Modeling of suction distributions in an unsaturated heterogeneous residual soil slope.** *Engineering Geology* 131-132, 70–82.

- Lowe, J., Karafiath, L., 1955. **Stability of earth dams upon drawdown.** Proceedings of the 1st Pan American Conference on Soil Mechanics and Foundation Engineering, Mexico City, 537-552.
- Lu, N., Godt, J., 2008. **Infinite slope stability under steady unsaturated seepage conditions.** Water Resources Research 44, W11404.
- Lee, L.M., Gofar, N., Rahardjo, H., 2009. **A simple model for preliminary evaluation of rainfall-induced slope instability.** Engineering Geology 108, 272–285.
- Morgenstern, N.R., Price, V.E., 1965. **The analysis of the stability of general slip surfaces.** Geotechnique 15 (1), 79–93.
- Ng, C.W.W., Shi, Q., 1998b. **A numerical investigation of the stability of unsaturated soil slopes subjected to transient seepage.** Computer and Geotechnics 22 (1), 1–28.
- Ng, C.W.W., Wang, B., Tung Y.K., 2001. **Three-dimensional numerical investigation of groundwater responses in an unsaturated slope subjected to various rainfall patterns.** Canadian Geotechnical Journal 38, 1049–1062.
- Philip, J.R., 1957. **The theory of infiltration: 1. The infiltration equation and its solution,** Soil Sci., vol. 83, no. 5, pp. 345–357.
- Rahardjo, H., Li, X.W., Toll, D.G., Leong, E.C., 2001. **The effect of antecedent rainfall on slope stability.** Journal of Geotechnical and Geological Engineering. Special Issue on “Unsaturated and Collapsible Soils” 19, 371–399 (3–4 Sep.).
- Rahardjo, H., Satyanaga, A., Leong, E.C., Ng, Y.S., 2010. **Effects of groundwater table position and soil properties on stability of slope during rainfall.** ASCE Journal of Geotechnical and Geoenvironmental Engineering 136 (11), 1555–1564.
- Sorbino, G., Nicotera, M.V., 2012. **Unsaturated soil mechanics in rainfall-induced flow landslides.** Engineering Geology (Article in press)
- Skempton, A.W., DeLory, F.A., 1957. **Stability of natural slopes in London clay.** In: Proceedings of the international conference on soil mechanics and foundation engineering, vol. 4. London II; p. 378–81
- Santoso, A.M., Phoon, K.K., Quek, S.T., 2011. **Effect of soil spatial variability on rainfall-induced landslides.** Computers and Structures 89, 893–900.

- Shama, R.H., Nakaraki, H., 2010. Numerical model and flume experiments of single- and two-layered hillslope flow related to slope failure 7, 425-432.
- Ma, K.C., Tan, Y.C., Chen, C.H., 2011. The influence of water retention curve hysteresis on the stability of unsaturated soil slopes. Hydrological Processes 25, 3563-3574.
- Xie, M., Esaki, T., Cai, M., 2004. A time-space based approach for mapping rainfall-induced shallow landslide hazard. Environmental Geology 46, 840-850.
- Zhan, T.L.T., Ng, C.W.W., 2004. Analytical analysis of rainfall infiltration mechanism in saturated soils, Int. J. Geomech., 4(1), 273–284 .



ภาคผนวก ก

บทความที่ได้รับการตีพิมพ์เผยแพร่

นหภทฯ

## บทความที่ได้รับการตีพิมพ์เผยแพร่ในระหว่างศึกษา

C. Jeebtaku, A. Chinkulkijmiwat, P. Yubonchit, (2014). Effect of Rainfall Intensity on

Moisture Content in Shallow Slope with High Permeable Soil. International Congress  
on Environmental Geotechnics (7ICEG2014), หน้า 741-749





## Effect of Rainfall Intensity on Internal Moisture Content in Shallow Slope with High Permeable Soil

C. Jeptaku, A. Chinkulkijniwat & S. Yubonchit  
*Suranaree University of Technology, Nakhon Ratchasima, Thailand*

**ABSTRACT:** In tropical regions, shallow landslides triggered by rainfall are commonly occurrence which causes damages in human lives and their properties nearby hazardous areas. Generally, a key process that controls the complicated failure mechanisms is the infiltration of rain water into the soil slope. Therefore, Laboratory models were carefully conducted to study effect of rainfall intensity hided in ratio between rainfall intensity to saturated permeability of soil. The findings from laboratory models were used to prove the understanding of the changes in internal volumetric moisture content in shallow slope with high permeable homogenous soil. The results showed that the responses of internal volumetric moisture content to rainfall for high permeable soil can be divided into two stages. The first stage involves the movement downward of the wetting front. In this stage, the soil remains unsaturated condition. The second stage, the volumetric moisture content closes to saturated condition due to a rise of water table, when the wetting front arrive simulated bed rock. The effect of rainfall intensity can be found by comparing experiment results. The responses time to volumetric moisture content is significantly varied with the ratio between rainfall intensity to saturated permeability of soil. The high ratio between rainfall intensity to saturated permeability of soil can cause the response time of volumetric moisture content faster than the low ratio between rainfall intensity to saturated permeability of soil. Moreover, the change in second stage of the volumetric moisture content is shown in high depth due to the rise of water table is higher than the low ratio between rainfall intensity to saturated permeability of soil.

### 1 INTRODUCTION

In tropical regions, shallow landslides triggered by rainfall are commonly occurrence which causes damages in human lives and their properties nearby hazardous areas such as the landslide event at Uttaradit Province, Thailand in 2006 which caused 75 fatalities and destroyed more than 445 households. Typically, the shallow landslides in Thailand are mostly occurred by rain storm and the time of events are during rainfall period. These indicate that the infiltration of rainfall into soil slope is rapidly responded due to the soils in tropical forest in Thailand are coarse texture with high permeable.

In general, the rainfall-induced landslides are widely known that relate to two hydraulic responses: i) the propagation of wetting front due to infiltration of rainfall causes an increase in water content and a reduction in negative pore-water pressure (matric suction). As a result, the effective stress and stability of soil slope behind wetting front are successively decreased during infiltration (Fredlund and Rahardjo 1993). As previous research works also suggested that landslides can be triggered by a propagation of

wetting front including (Collins and Znidarcic, 2004; Kim, Jeong, Park, and Sharma, 2004; Ng, Wang, and Tung, 2001; H. Rahardjo, Rezaur, and Leong, 2007); ii) the infiltration of rainfall causes an increase of ground water table and a rise of positive pore water pressure. The increase of ground water table exerts seepage force and adds weight to the slope, and eventually triggers the slope failure (Cho and Lee, 2002; Crosta and Frattini, 2003; Harianto Rahardjo, Nio, Leong, and Song, 2010; Soddu, Delitala, Sciaibica, and Barrocu, 2003). These responses show the important role to trigger landslides which associate with the infiltration of rainfall into soil mass. In the first response, slope failures can be triggered when the metric suction behind the wetting front reduces to minimum value which occurs in condition as the rainfall intensity not less than the infiltration capacity of soil. When the wetting front moves to sufficient critical depth, slope failure will be occurred normally in the soils of low infiltration capacity. While the second response, slope failure normally in the soils of high infiltration capacity will be occurred due to the accumulation of

rainfall and subsurface flow along impermeable layers (i.e., initial water table and bed rock).

According to the infiltration capacity of soil, the Hortonian mechanism (Horton, 1933) is commonly used to describe runoff generation process in the control volume near-surface soil called infiltration excess. The mechanism explained that when rainfall intensity higher than the potential infiltration capacity, the surface runoff was generated by the excess rainfall, the actual infiltration capacity of soil exponentially decreased with time of rainfall period until the steady final infiltration capacity of soil. While rainfall intensity lowers than steady final infiltration capacity, the actual infiltration capacity equaled the rainfall intensity, and the surface runoff wasn't generated in this condition. In group of the physically-based model, the steady final infiltration capacity was suggested that approached the saturated permeability of soil (Green and Ampt, 1911). In other words, the saturated permeability of soil can be used as a parameter that governs the characteristics of infiltration of rainfall into soil mass. The effect of saturated permeability of soil on hydraulic responses and instability of slope under rainfall conditions was shown by previous research works including (Cuomo and Della Sala, 2013; Pradel and Raad, 1993; Harianto Rahardjo et al., 2010; H. Rahardjo et al., 2007; Rahimi, Rahardjo, and Leong, 2010; Zhan and Ng, 2004)

Referring to shallow soil slope with high permeable, although the rainfall intensity normally not exceeds saturated permeability of soil, but landslides still pose significant threats to populations and structures due to their high velocities, long travel distance. Furthermore, the different mechanisms of mass movement will be occurred which depend on drainage conditions along impermeable layer(Cascini, Cuomo, Pastor, and Sorbino, 2010; Sorbino and Nicotera, 2013).These are similarly supported by several evidences from laboratory and full-scale tests including (Acharya, Cochrane, Davies, and Bowman, 2009; Ching-Chuan, Yih-Jang, Lih-Kang, and Jin-Long, 2009; Huang, Lo, Jang, and Hwu, 2008; Huang and Yuin, 2010; Lourenço, Sassa, and Fukuoka, 2006; Moriwaki et al., 2004; Okura, Kitahara, Ochiai, Sammori, and Kawanami, 2002; Sharma and Nakagawa, 2010; Take, Bolton, Wong, and Yeung, 2004; Wang and Sassa, 2003).One predominant factor that may govern hydraulic responses, and subsequently failure mechanisms is couple between rainfall intensity and saturated permeability of soil. (Lee, Gofar, and Rahardjo, 2009)developed a simple model based on infinite slope to investigate the hydraulic responses of four typical soils under

extreme rainfall conditions. They concluded that the ratio of rainfall intensity to saturated permeability plays an important role in determining the critical rainfall pattern for a soil slope. As (Li et al., 2013) performed infinite slope analysis to investigate the combined effect of the rainfall characteristics and saturated permeability. They concluded that the hydraulic responses to rainfall for homogenous infinite slope underlain by an impervious layer can be divided into two stages: 1) the propagation of wetting front, and 2) the rise of water table. Both the rainfall characteristics and saturated permeability were found to be predominant in controlling the hydraulic responses of soil, and hence the occurrence time, depth of failure plane, and type of surficial failures. However, the hydraulic responses in shallow slope especially for high saturated permeability soil are still more complicate and unclear. Due to the high permeable and boundary conditions, the couple between rainfall intensity and saturated permeability of soil not only effects during infiltration process but may also effects on variation of water table. Because of actual shallow soil slopes are normally finite slopes, the subsurface flow along impermeable layers could be dominant factor (Huang and Yuin, 2010; Li et al., 2013; Take et al., 2004).This is some limitation of analytical and numerical method especially for infinite slope and one dimensional slope analysis. Besides, previous laboratory and full-scale tests that mostly focused on failure mechanisms were still insufficient to understanding the governing hydraulic responses.

Therefore, the aims of this research are to study the couple effect between rainfall intensity and saturated permeability which focus on shallow slope with high permeable soil. The two-dimensional finite slope model is carefully performed in laboratory in order to improve the understanding of governing hydraulic responses. The results consists internal soil moisture response, water table generation, and subsurface flow that may cause of the different failure mechanisms.

## 2 DETAILS OF LABORATORY MODEL

Figure1 shows the overview of experiment flume that mainly consists in four components. The first part is steel flumes for rainfall simulator, embraced experiment box, supported experiment box, and supported chain pulley system. The experiment box embraced by steel frame and supported experiment box was joined by pinned support in order to enable expedient prescription of slope angle raised by chain pulley.

## 2.1 Experiment box

The detail of experiment box was shown in Figure 2. The two-dimensional model in this investigation was designed by 1550 mm in length, 1000 mm in high and 200 mm in width. It was carefully designed in order to water leakages between the acrylic plates. The sides and base of the box were used 15 mm thick impervious acrylic plates in order to enable visual observation of the advancement of wetting front during rainfall infiltration process. One side of the box was drilled at distance from the slope toe of 750 mm which drilled of 5 mm in diameter in order to install soil moisture sensors every 100 mm form soil surface. At bottom of the box, an acrylic plate was drilled in order to install piezometers. The holes were drilled of 9 mm in diameter at distances from the slope toe of 375 mm, 750 mm, and 1125 mm, respectively. In order to reduce entrapped air affecting to measured volumetric water content (Tohari, Nishigaki, and Komatsu, 2007), during infiltration until the wetting front touched the base of the box, the holes were drilled nearly piezometer holes to install 3 opening valves. Additionally, the down slope side was placed by 50 mm highly permeable porous stone overlaid geotextile in order to let freely water outflow when soil approached saturation, and prevent the clogged soil in porous stone.

## 2.2 Rainfall simulator

A rainfall simulator was installed on the top of the box (Figure 1). The rainfall simulator system consisted of a 2000L water tank, a constant pressure pump, a pressure gauge, plastic pipes, small opening nozzles, and valves. The nozzles placed in plastic pipe with spacing of 600 mm and 900 mm which produced a variety of rainfall intensities in the range between 30 and 450 mm/hr. In each spaced of nozzles, the intensity of rainfall was linearly varied with a variety of outlet pressure pipe in range between 10 and 45 lb/in<sup>2</sup> controlled by an outlet valve. The uniformity and rainfall intensities were carefully calibrated by using 35 containers placed in a regular pattern on top of the box. The calibrated results show that the coefficients of uniformity (*CU*) in the range of all rainfall intensity ranged between 90% and 99% which indicating that appropriate uniformity was achieved in the tests. *CU* was explained by Hall, Johnston, and Wheather, 1989 as:

$$CU = 1 - \frac{\sum_{i=1}^n I_i - I_m}{\sum_{i=1}^n I_i} \quad (1)$$

$I_i$  measured rainfall intensity for cup No. *i*  
 $I_m$  average rainfall intensity for all cups  
 $n$  total number of cups

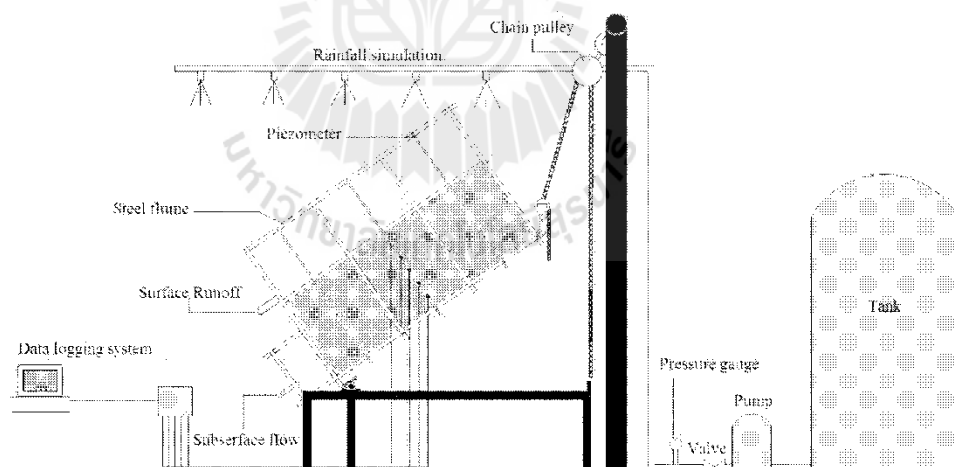


Figure 1. General schematic diagram of the physical slope model.

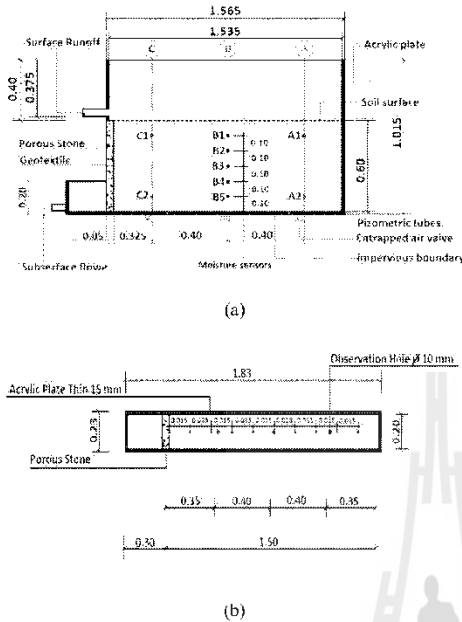


Figure 2. Details of experiment box. (a) the detail of acrylic box for side view, (b) the detail of acrylic box for top view.

### 2.3 Measurement devices

To observe the changes of volumetric water content ( $\theta_w'$ ) throughout experiment, five soil moisture sensors(Decagon, 5TE) were installed in one side of the box at the middle profile of slope in each 100 mm of soil depth. These moisture sensors measured  $\theta_w'$  of the soil garnered in data logger (EM50) by detecting the soil dielectric constant based on the change of the voltages as detected by the sensor.

Prior to the test, the output of  $\theta_w'$  from sensors were calibrated against calculated soil moisture changes using a 150 mm in diameter plastic tube by impaling the moisture sensors in the tube filled with compacted soil used in this study which known dry density of soil( $\gamma_d$ ) and gravimetric water content( $w$ ) while calculation of  $\theta_w$  expressed by:

$$\theta_w = w \frac{\gamma_d}{\gamma_w} \quad (2)$$

$w$	gravimetric water content (%)
$\gamma_d$	dry unit weight of soil(varying between 16and 17kN/m <sup>3</sup> )
$\gamma_w$	unit weight of water(=9.8 kN/m <sup>3</sup> )

The results show the relationship between  $\theta_w$  and  $w$  of soil sample from sensors and calculated value respectively which show that the relationship of the output from sensors not equal to calculated  $\theta_w$ . Therefore, the output of  $\theta_w$  from sensors must be adjusted to obtain the correct values.

$$\theta_w = 1.116\theta_w' - 0.010 \quad (3)$$

In order to investigate of the water table during an experiment, the open piezometers of 8 mm in diameter were installed in the box and transferred from central of bottom width to side of steel frame in order to an enable visual observation and measurement the changes of water table recorded every 5 min after water table generation. Before impaled piezometers, the small geotextile sheets were attached at top of the holes in order to prevent flow of soil mass. In addition, the subsurface flow and surface runoff were measured by using 2000ml standard cylinders every 5 min after water run out generation.

### 3 SOIL PROPERTIES

Laboratory model slopes were constructed by using a locally available soil classified as poorly-graded sand (SP) based on the Unified Soil Classification System (ASTM D2487). The grain size distribution curve as shown in Figure3 and the specific gravity of the soil were determined following the procedure in ASTM D 422-63(ASTM 1997a) and ASTM D 854-02(ASTM 1997b), respectively. Besides, the saturated permeability of the soil was determined by constant head laboratory test following in ASTM D2434 while soil-water characteristic (SWCC) of the soil as shown in Figure4 was determined by the pressure plate method following in ASTM D 6836-02(ASTM 2008). Finally, the physical and hydraulic properties are summarized in table 1.

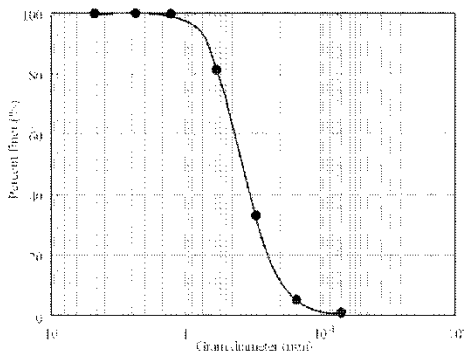


Figure 3. Grain size distribution of soil used in this study.

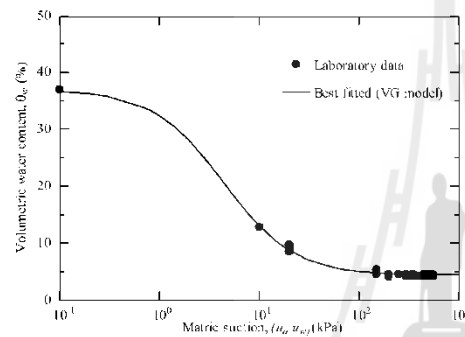


Figure 4. Soil-water characteristic (SWCC) of soil used in this study.

Table 1. Physical and hydraulic properties of soil used in this study.

Unified soil classification system	SP
Specific gravity, $G_s$	2.63
Grain size distribution	
$D_{60}$ (mm)	0.40
$D_{30}$ (mm)	0.26
$D_{10}$ (mm)	0.17
Coefficient of uniformity, $C_u$	2.35
Coefficient of curvature, $C_c$	1.00
Dry density, $\rho_d$ ( $\text{kN/m}^3$ )	16.87
Coefficient of permeability at saturation, $k_s$ ( $\text{m/s}$ )	1.56E-04

#### 4 EXPERIMENTAL PROCEDURE

##### 4.1 Placement of the soil inside the experiment box

The placement of the soil inside the box is very important in order to achieve homogenous soil slopes. The large amount of the soil were firstly prepared by air-drying and flipping at 14 days until the soil was uniformly obtained water content as 3 % gravimetric which corresponded to residual water

content of SWCC of the soil as shown in Figure 4. After wards, the soil is carefully compacted inside the box divided into 10 horizontal layers which each layer had a thickness of 60 mm. The weight of each layer was controlled in order to obtain a dry unit weight of  $16.87 \text{ kN/m}^3$  and void ratio of 0.67. During this process, the soil moisture sensors were carefully installed in the holes.

##### 4.2 Experimental programs

The two dimensional model was designed in order to investigate the effect of rainfall intensity on hydraulic responses in shallow slope with highly permeable soil that included internal soil moisture, water table, subsurface flow and water storage capacity. The experimental program was closely shown in table 2 that comprised three experiments with varying in rainfall intensities. The rainfall intensity in each experiment was judiciously prescribed in the range lower than saturated permeability of the soil including 40, 80, 120 mm/hr, respectively. As a result, the ratio of rainfall intensity and saturated permeability in each experiment were ranged less than 1.00. All of experiments, the slope angle was permanently set as  $20^\circ$ , and the average initial volumetric water content ( $\bar{\theta}_{w0}$ ) narrowly varied in the range of 0.40 to 0.50, while the duration of rainfall was prescribed at 8 hours shown in table 2

Table 2. Experimental programs designed in this study.

Experiment No.	Soil used	$\alpha$ (degrees)	$\rho$ ( $\text{kN/m}^3$ )	$i/k_{sat}$
1	Fine sand	20	16.87	0.0722
2	Fine sand	20	16.87	0.144
3	Fine sand	20	16.87	0.216

#### 5 RESULTS AND DISCUSSIONS

The responses of volumetric moisture contents measured during experiments are shown in Figure 5. All of experiments were only recorded at the middle profile of slope according to the reason by (Lee et al., 2011). The moisture sensors were located at different depth from soil surface. The sensors B1, B2, B3, B4 and B5 represent the volumetric moisture contents at 100 mm, 200 mm, 300 mm, 400 mm, and 500 mm from soil surface, respectively.

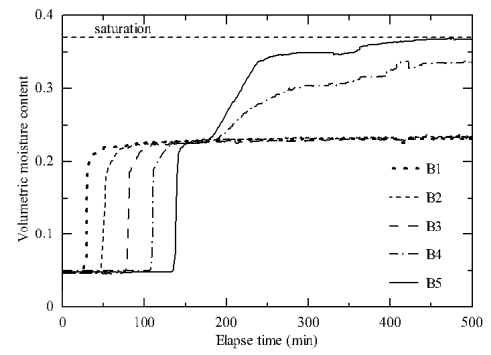
Figure 5(a) shows the changes in volumetric moisture content with time for ratio between rainfall intensity to saturated permeability of soil equal to

0.072 ( $i/k_{sat} = 0.072$ ). The initial volumetric moisture contents of soil are well distributed between 0.041 to 0.045 or 0.3% to 1.5% calculated degree of saturation. After rainfall start, a sensor B1 located at 100 mm near-soil surface is first responded by propagation of wetting front. The wetting front moves downward through a sensor during rainfall at the beginning time of about 30 min. The changes in volumetric moisture content are rapidly increased during few minutes from initial moisture content to steady volumetric moisture content of about 0.225 or 56% calculated degree of saturation of the soil. When wetting front moves downward at 200 mm and 300 mm of soil surface, moisture sensors B2 and B3 are responded at beginning time of about 60 and 90 min, respectively. While volumetric moisture content is constantly throughout the experiment in value of about 0.225 which close to volumetric moisture content of B1.

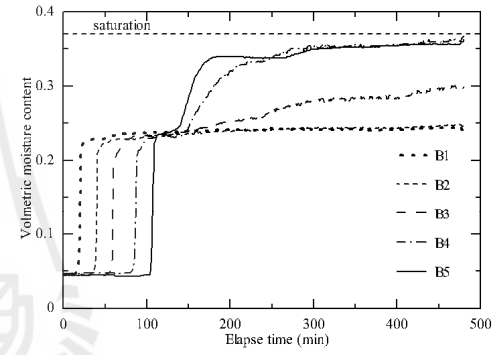
The different responses of volumetric water content are shown by moisture sensors B4 and B5 located at 400 mm and 500 mm from soil surface, respectively. The changes in volumetric moisture content are interestingly shown in two stages. For moisture sensors B4 and B5, the volumetric moisture content is increased at beginning time of about 120 and 150 min, respectively which close to steady volumetric moisture content of about 0.225 in the first stage. After the wetting front moves though moisture sensor B5 located nearly simulated bed rock, the water table is successively generated when the wetting front arrive bed rock, and hence the response of moisture sensor B5 in second stage is first responded at beginning time of about 180 min, the volumetric moisture content is successively increased from 0.225 to 0.360 or 97% calculated degree of saturation which close to the volumetric moisture content at saturated conditions of soil. After that, the moisture sensor B4 is responded at beginning time of about 190 min when the water table is rising beyond a moisture sensor B5. The volumetric moisture content is increased from 0.225 to 0.33 or 88% degree of saturation of soil.

To show clearly in two stages of volumetric moisture content, Figure 6(a) plots the changes in volumetric moisture content with soil depth at given time of rainfall for ratio between rainfall intensity to saturated permeability of soil equal to 0.072. The result shows that the changes in volumetric moisture content directly relate with hydraulic responses to soil slope: 1) the downward movement of the wetting front, and 2) the rise of water table. For the first stage, the volumetric moisture content increases from initial moisture content of 0.040

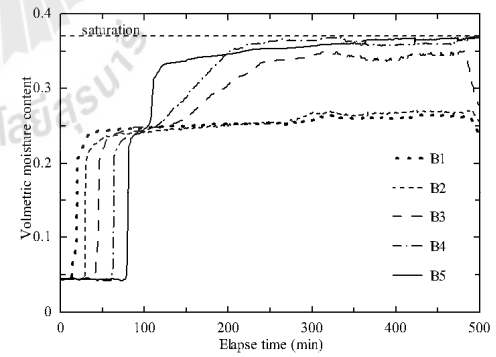
( $\bar{\theta}_{wt}=0.040$ ) to volumetric moisture content behind the wetting front of 0.225( $\theta_{wb}=0.225$ )



(a)



(b)



(c)

Figure 5. The changes in measured volumetric moisture content with time of rainfall (a)  $i/k_{sat} = 0.072$ , (b)  $i/k_{sat} = 0.144$ , (c)  $i/k_{sat} = 0.216$ .

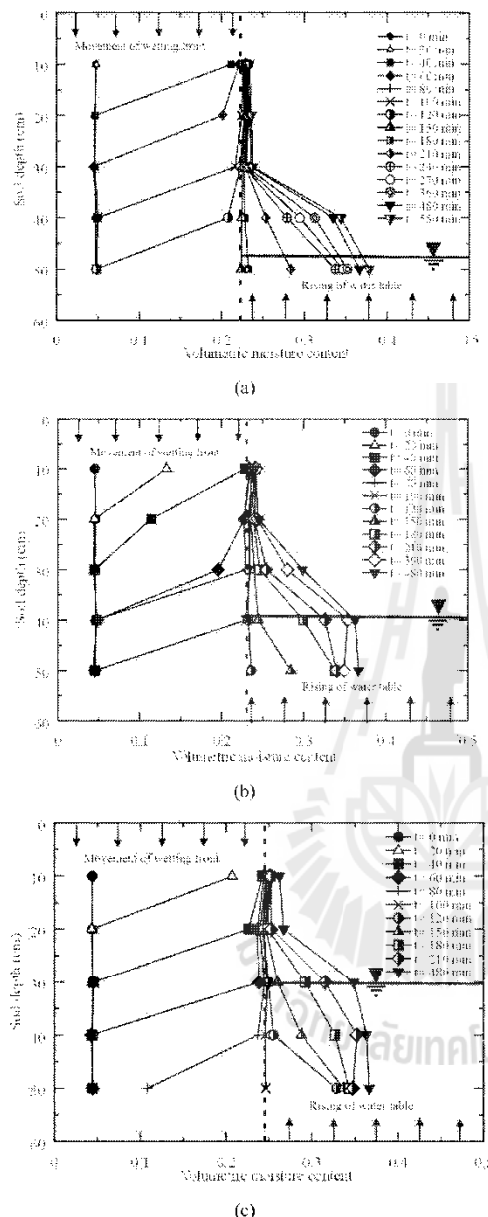


Figure 6. The changes in measured volumetric moisture content with soil depth as given time of rainfall (a)  $i/k_{sat}=0.0722$ , (b)  $i/k_{sat}=0.144$ , (c)  $i/k_{sat}=0.216$ .

which remains unsaturated condition. For the second stage, the volumetric moisture content increases from volumetric moisture content behind the wetting front to volumetric moisture content of  $0.35(\theta_w - 0.35)$  which close to saturated condition.

Comparing with ratio between rainfall intensity to saturated permeability of soil equal to  $0.144(i/k_{sat} = 0.144)$ , Figure 5(b) and Figure 6(b) show the changes in volumetric moisture content with time and soil depth, respectively. The results show the change in two stages of the volumetric moisture content. However, the response time to moisture sensors is faster than the results for ratio between rainfall intensity to saturated permeability of soil equal to 0.072. Moreover, the change in second stage of the volumetric moisture content is shown high depth due to the rise of water table is higher than ratio between rainfall intensity to saturated permeability of soil equal to 0.072. As the results for ratio between rainfall intensity to saturated permeability of soil equal to 0.216(Figure 5(c) and Figure 6(c)), the response time to moisture sensors is fastest responded, while the change in second stage of the volumetric moisture content is also shown highest depth.

## 6 CONCLUSIONS

Laboratory models were carefully conducted to study effect of rainfall intensity hided in ratio between rainfall intensity to saturated permeability of soil. The findings from laboratory models were used to prove the understanding of the changes in internal volumetric moisture content in shallow slope with high permeable homogenous soil. The results from this research can be concluded that:

- 1) The responses of internal volumetric moisture content to rainfall for high permeable soil can be divided into two stages. The first stage involves the movement downward of the wetting front. In this stage, the soil remains unsaturated condition. The second stage, the volumetric moisture content closes to saturated condition due to a rise of water table, when the wetting front arrive simulated bed rock.
- 2) The effect of rainfall intensity hided in ratio between rainfall intensity to saturated permeability of soil can be found by comparing experiment results. The responses time to volumetric moisture content is significantly varied with the ratio between rainfall intensity to saturated permeability of soil. The higher ratio between rainfall intensity to saturated permeability of soil can cause the response time of volumetric moisture content faster

than the lower ratio between rainfall intensity to saturated permeability of soil. Moreover, the change in second stage of the volumetric moisture content is shown high depth due to the rise of water table is higher than the lower ratio between rainfall intensity to saturated permeability of soil.

#### ACKNOWLEDGEMENTS

Authors are grateful to the Suranaree University of Technology. The authors would like to acknowledge the financial support from the Thailand Research Fund (TRF) under the TRF Senior Scholar Program Grant No. RTA 5680002.

#### REFERENCES

- Acharya, G., Cochrane, T. A., Davies, T., and Bowman, E. 2009. The influence of shallow landslides on sediment supply: A flume-based investigation using sandy soil. *Engineering Geology*, 109(3-4): 161-169. doi: 10.1016/j.enggeo.2009.06.008
- Cascini, L., Cuomo, S., Pastor, M., and Sorbino, G. 2010. Modeling of rainfall-induced shallow landslides of the flow-type. *Journal of Geotechnical and Geoenvironmental Engineering*, 136(1): 85-98.
- Ching-Chuan, H., Yih-Jang, J., Lih-Kang, H., and Jin-Long, L. 2009. Internal soil moisture and piezometric responses to rainfall-induced shallow slope failures. *Journal of Hydrology*, 370(1-4): 39-51. doi: 10.1016/j.jhydrol.2009.02.051
- Cho, S. E., and Lee, S. R. 2002. Evaluation of surficial stability for homogenous slopes considering rainfall characteristics. *Journal of Agricultural Research*, 128: 756-763.
- Collins, B. D., and Znidarcic, D. 2004. Stability analyses of rainfall induced landslides. *Journal of Geotechnical and Geoenvironmental Engineering*, 130(4): 362-372.
- Crosta, G. B., and Frattini, P. 2003. Distributed modeling of shallow landslides triggered by intense rainfall. *Natural Hazards and Earth System Sciences*, 3:81-93.
- Cuomo, S., and Della Sala, M. 2013. Rainfall-induced infiltration, runoff and failure in steep unsaturated shallow soil deposits. *Engineering Geology*, 162: 118-127. doi: 10.1016/j.enggeo.2013.05.010
- Green, W. H., and Ampt, G. A. 1911. Studies on soil physics 1. The flow of air and water through soils. *Journal of Agricultural Research*, 4:1-24.
- Hall, M. J., Johnston, P. M., and Wheather, H. S. 1989. Evaluation of overland flow models using laboratory catchment data. I. An apparatus for laboratory catchment studies. *Hydrological Science Journal*, 34: 277-288.
- Horton, R. E. 1933. The role of infiltration in the hydrological cycle. *Transactions of American Geophysical Union*, 14(446-460): 446.
- Huang, C.-C., Lo, C.-L., Jang, J.-S., and Hwu, L.-K. 2008. Internal soil moisture response to rainfall-induced slope failures and debris discharge. *Engineering Geology*, 101(3-4): 134-145. doi: 10.1016/j.enggeo.2008.04.009
- Huang, C.-C., and Yuin, S.-C. 2010. Experimental investigation of rainfall criteria for shallow slope failures. *Geomorphology*, 120(3-4): 326-338. doi: 10.1016/j.geomorph.2010.04.006
- Kim, J., Jeong, S., Park, S., and Sharma, J. 2004. Influence of rainfall-induced wetting on the stability of slopes in weathered soils. *Engineering Geology*, 75(3-4): 251-262. doi: 10.1016/j.enggeo.2004.06.017
- Lee, L. M., Gofar, N., and Rahardjo, H. 2009. A simple model for preliminary evaluation of rainfall-induced slope instability. *Engineering Geology*, 108(3-4): 272-285. doi: 10.1016/j.enggeo.2009.06.011
- Lee, L. M., Kassim, A., and Gofar, N. 2011. Performances of two instrumented laboratory models for the study of rainfall infiltration into unsaturated soils. *Engineering Geology*, 117(1-2): 78-89. doi: 10.1016/j.enggeo.2010.10.007
- Li, W. C., Lee, L. M., Cai, H., Li, H. J., Dai, F. C., and Wang, M. L. 2013. Combined roles of saturated permeability and rainfall characteristics on surficial failure of homogeneous soil slope. *Engineering Geology*, 153: 105-113. doi: 10.1016/j.enggeo.2012.11.017
- Lourenço, S. D. N., Sassa, K., and Fukuoka, H. 2006. Failure process and hydrologic response of a two layer physical model: Implications for rainfall-induced landslides. *Geomorphology*, 73(1-2): 115-130. doi: 10.1016/j.geomorph.2005.06.004
- Moriwaki, H., Inokuchi, T., Hattanji, T., Sassa, K., Ochiai, H., and Wang, G. 2004. Failure processes in a full-scale landslide experiment using a rainfall simulator. *Landslides*, 1(4): 277-288. doi: 10.1007/s10346-004-0034-0
- Ng, C. W. W., Wang, B., and Tung, Y. K. 2001. Three-dimensional numerical investigations of groundwater responses in an unsaturated slope subjected to various rainfall patterns. *Canadian Geotechnical Journal*, 38, 1049-1062.
- Okura, Y., Kitahara, H., Ochiai, H., Sammori, T., and Kawanami, A. 2002. Landslide fluidization process by flume experiments. *Engineering Geology*, 66: 65-78.
- Pradel, D., and Raad, G. 1993. Effect of permeability on surficial stability of homogeneous slope. *Journal of Geotechnical Engineering*, 119(2): 315-332.
- Rahardjo, H., Nio, A. S., Leong, E. C., and Song, N. Y. 2010. Effects of groundwater table position and soil properties on stability of slope during rainfall. *Journal of Geotechnical and Geoenvironmental Engineering*, 136(11): 1555-1564.
- Rahardjo, H., Rezaur, R. B., and Leong, E. C. 2007. Factors controlling instability of homogeneous soil slopes under rainfall. *Journal of Geotechnical and Geoenvironmental Engineering*, 133(2): 1532.
- Rahimi, A., Rahardjo, H., and Leong, E.-C. 2010. Effect of hydraulic properties of soil on rainfall-induced slope failure. *Engineering Geology*, 114(3-4): 135-143. doi: 10.1016/j.enggeo.2010.04.010
- Sharma, R. H., and Nakagawa, H. 2010. Numerical model and flume experiments of single- and two-layered hillslope flow related to slope failure. *Landslides*, 7(4): 425-432. doi: 10.1007/s10346-010-0205-0
- Soddu, S., Delitala, G., Sciaibica, M., and Barrocu, G. 2003. Modelling groundwater effects on slope stability. *Materials and Geoenvironmental*, 50(1): 349-352.
- Sorbino, G., and Nicotera, M. V. 2013. Unsaturated soil mechanics in rainfall-induced flow landslides. *Engineering Geology*, 165, 105-132. doi: 10.1016/j.enggeo.2012.10.008
- Take, W. A., Bolton, M. D., Wong, P. C. P., and Yeung, F. J. 2004. Evaluation of landslide triggering mechanisms in model fill slopes. *Landslides*, 1(3): 173-184. doi: 10.1007/s10346-004-0025-1

- Tohari, A., Nishigaki, M., and Komatsu, M. 2007. Laboratory rainfall-induced slope failure with moisture content measurement. *Journal of Geotechnical and Geoenvironmental Engineering*, 133(5): 575-587.
- Wang, G., and Sassa, K. 2003. Pore-pressure generation and movement of rainfall-induced landslides: effects of grain size and fine-particle content. *Engineering Geology*, 69(1-2): 109-125. doi: 10.1016/s0013-7952(02)00268-5
- Zhan, T. L. T., and Ng, C. W. W. 2004. Analytical analysis of rainfall infiltration mechanism in unsaturated soils. *International Journal of Geomechanics*, 4(4): 273-284.

## ประวัติผู้เขียน

นางสาวชลธิชา จีบตะคุ เกิดเมื่อวันที่ 9 พฤษภาคม พ.ศ. 2531 เริ่มศึกษาชั้นประถมที่โรงเรียนอนุบาลสนวิทยา ระดับประถมศึกษา 1-6 จังหวัดนราธิวาส และเข้าศึกษาต่อที่โรงเรียนปักธงชัยประชา นิรmit ระดับมัธยมศึกษา 1-6 และสำเร็จการศึกษาระดับปริญญาวิศวกรรมศาสตร์บัณฑิต (วิศวกรรมโยธา) มหาวิทยาลัยเทคโนโลยีสุรนารี จังหวัดนครราชสีมา เมื่อปี พ.ศ.2555 และได้เข้าศึกษาต่อในระดับปริญญาโท สาขาวิชาวิศวกรรมโยธา มหาวิทยาลัยเทคโนโลยีสุรนารี โดยขณะศึกษาได้เป็นผู้ช่วย วิจัย สาขาวิชาวิศวกรรมโยธา วิชาปฏิบัติการปฐพิกลศาสตร์ ซึ่งได้นำความรู้ที่ใช้สอนมาประยุกต์ใช้กับงานวิจัยได้เป็นอย่างดี ระหว่างการศึกษาระดับปริญญาโท มีผลงานวิชาการที่ได้รับการตีพิมพ์เผยแพร่ มีรายละเอียดปรากฏดังภาพนัก ก.